

Que sont les buses en alliage de tungstène

中钨智造科技有限公司

CTIA GROUP LTD

CTIA GROUP LTD

Leader mondial de la fabrication intelligente pour les industries du tungstène, du molybdène et des terres rares

COPYRIGHT AND LEGAL LIABILITY STATEMENT

Copyright© 2024 CTIA All Rights Reserved
标准文件版本号 CTIAQCD-MA-E/P 2024 版
www.ctia.com.cn

电话/TEL: 0086 592 512 9696
CTIAQCD-MA-E/P 2018-2024V
sales@chinatungsten.com

PRÉSENTATION DU GROUPE CTIA

CTIA GROUP LTD, filiale à 100% dotée d'une personnalité juridique indépendante et créée par CHINATUNGSTEN ONLINE, se consacre à la promotion de la conception et de la fabrication intelligentes, intégrées et flexibles de matériaux en tungstène et en molybdène à l'ère de l'Internet industriel. Fondée en 1997 avec www.chinatungsten.com comme point de départ – le premier site web chinois de produits en tungstène de premier plan, CHINATUNGSTEN ONLINE est une entreprise pionnière du e-commerce en Chine, spécialisée dans les industries du tungstène, du molybdène et des terres rares. Fort de près de trois décennies d'expérience approfondie dans les domaines du tungstène et du molybdène, CTIA GROUP hérite des capacités exceptionnelles de conception et de fabrication de sa société mère, de ses services de qualité supérieure et de sa réputation commerciale mondiale, devenant ainsi un fournisseur de solutions d'application complètes dans les domaines des produits chimiques à base de tungstène, des métaux tungstène, des carbures cémentés, des alliages haute densité, du molybdène et de ses alliages.

Au cours des 30 dernières années, CHINATUNGSTEN ONLINE a créé plus de 200 sites web professionnels multilingues sur le tungstène et le molybdène, couvrant plus de 20 langues, avec plus d'un million de pages d'actualités, de prix et d'analyses de marché liées au tungstène, au molybdène et aux terres rares. Depuis 2013, son compte officiel WeChat « CHINATUNGSTEN ONLINE » a publié plus de 40 000 informations, alimentant près de 100 000 abonnés et fournissant quotidiennement des informations gratuites à des centaines de milliers de professionnels du secteur dans le monde entier. Avec des milliards de visites cumulées sur son site web et son compte officiel, CHINATUNGSTEN ONLINE est devenu une plateforme d'information mondiale reconnue et faisant autorité pour les industries du tungstène, du molybdène et des terres rares, fournissant 24 h/24 et 7 j/7 des informations multilingues, des informations sur les performances des produits, les prix et les tendances du marché.

S'appuyant sur la technologie et l'expérience de CHINATUNGSTEN ONLINE, CTIA GROUP s'attache à répondre aux besoins personnalisés de ses clients. Grâce à l'IA, CTIA GROUP conçoit et fabrique en collaboration avec ses clients des produits en tungstène et en molybdène présentant des compositions chimiques et des propriétés physiques spécifiques (telles que la granulométrie, la densité, la dureté, la résistance, les dimensions et les tolérances). L'entreprise propose des services intégrés complets, allant de l'ouverture du moule à la production d'essai, en passant par la finition, l'emballage et la logistique. Au cours des 30 dernières années, CHINATUNGSTEN ONLINE a fourni des services de R&D, de conception et de production pour plus de 500 000 types de produits en tungstène et en molybdène à plus de 130 000 clients dans le monde, posant ainsi les bases d'une fabrication personnalisée, flexible et intelligente. Fort de ce socle, CTIA GROUP approfondit la fabrication intelligente et l'innovation intégrée des matériaux en tungstène et en molybdène à l'ère de l'Internet industriel.

Forts de plus de 30 ans d'expérience dans le secteur, le Dr Hanns et son équipe du CTIA GROUP ont également rédigé et publié des analyses de connaissances, de technologies, de prix et de tendances du marché du tungstène, du molybdène et des terres rares, qu'ils partagent librement avec l'industrie du tungstène. Fort de plus de 30 ans d'expérience depuis les années 1990 dans le commerce électronique et le commerce international de produits en tungstène et en molybdène, ainsi que dans la conception et la fabrication de carbures cémentés et d'alliages haute densité, le Dr Han est un expert reconnu des produits en tungstène et en molybdène, tant au niveau national qu'international. Fidèle à sa volonté de fournir des informations professionnelles et de qualité à l'industrie, l'équipe du CTIA GROUP rédige régulièrement des articles de recherche technique, des articles et des rapports sectoriels basés sur les pratiques de production et les besoins des clients, ce qui lui vaut une large reconnaissance au sein du secteur. Ces réalisations apportent un soutien solide à l'innovation technologique, à la promotion des produits et aux échanges industriels du CTIA GROUP, le propulsant pour devenir un leader mondial dans la fabrication de produits en tungstène et en molybdène et dans les services d'information.



COPYRIGHT AND LEGAL LIABILITY STATEMENT

Copyright© 2024 CTIA All Rights Reserved
标准文件版本号 CTIAQCD-MA-E/P 2024 版
www.ctia.com.cn

电话/TEL: 0086 592 512 9696
CTIAQCD-MA-E/P 2018-2024V
sales@chinatungsten.com

Table des matières

Chapitre 1 Comprendre les buses en alliage de tungstène

- 1.1 Qu'est-ce qu'une buse en alliage de tungstène ?
- 1.1.1 Définition et composants de base des buses en alliage de tungstène
- 1.1.2 Classification des buses en alliage de tungstène
- 1.2 La valeur des buses en alliage de tungstène : pourquoi choisir l'alliage de tungstène ?
- 1.2.1 Gain de performance des buses en alliage de tungstène par rapport aux buses traditionnelles
- 1.2.2 Valeur des buses en alliage de tungstène dans des scénarios typiques
- 1.3 Caractéristiques de base des buses en alliage de tungstène
- 1.4 Positionnement industriel et scénarios d'application des buses en alliage de tungstène
 - 1.4.1 Le rôle des buses en alliage de tungstène dans la chaîne de production de l'industrie manufacturière de pointe
 - 1.4.2 Scénarios d'application typiques des buses en alliage de tungstène

Chapitre 2 Structure des buses en alliage de tungstène

- 2.1 Éléments structurels clés des buses en alliage de tungstène
 - 2.1.1 Structure de base d'une buse en alliage de tungstène : entrée, canal d'écoulement et sortie
 - 2.1.2 Paramètres structurels des buses en alliage de tungstène
 - 2.1.2.1 Paramètres d'orifice des buses en alliage de tungstène
 - 2.1.2.2 Paramètres d'angle de cône des buses en alliage de tungstène
 - 2.1.2.3 Paramètres de longueur des buses en alliage de tungstène
 - 2.1.2.4 Conception collaborative multiparamètre des buses en alliage de tungstène
 - 2.1.3 Types structurels de buses en alliage de tungstène
 - 2.1.3.1 Buse en alliage de tungstène à orifice droit
 - 2.1.3.2 Buse conique en alliage de tungstène
 - 2.1.3.3 Buse en alliage de tungstène en forme d'éventail
 - 2.1.3.4 Autres buses en alliage de tungstène à structure spéciale
 - 2.1.4 Caractéristiques dérivées structurelles des buses en alliage de tungstène
 - 2.1.4.1 Stabilité de l'écoulement induite par la structure du canal d'écoulement
 - 2.1.4.2 Influence de la précision structurale sur l'effet d'atomisation
- 2.2 Spécifications des matériaux de l'alliage de tungstène pour buses
 - 2.2.1 Rapports de composition courants et applications des alliages de tungstène pour buses
 - 2.2.1.1 Formule de base à haute teneur en tungstène (teneur en tungstène $\geq 90\%$)
 - 2.2.1.2 Proportions de l'alliage tungstène-nickel-fer
 - 2.2.1.3 Rapport d'alliage tungstène-nickel-cuivre
 - 2.2.1.4 Formulation spéciale : adaptée aux conditions de travail extrêmes telles que les hautes températures et les hautes pressions
 - 2.2.2 Spécifications et exigences de contrôle des alliages de tungstène utilisés dans les buses
 - 2.2.2.1 Spécifications de composition chimique des buses en alliage de tungstène
 - 2.2.2.2 Spécifications des propriétés physiques des buses en alliage de tungstène
 - 2.2.2.3 Spécifications des propriétés mécaniques des buses en alliage de tungstène
 - 2.2.2.4 Spécifications de précision d'usinage pour les buses en alliage de tungstène

COPYRIGHT AND LEGAL LIABILITY STATEMENT

Chapitre 3 Caractéristiques des buses en alliage de tungstène

- 3.1 Caractéristiques du point de fusion des buses en alliage de tungstène
 - 3.1.1 Plage numérique et normes de détermination des points de fusion élevés
 - 3.1.2 L'importance d'un point de fusion élevé pour l'adaptabilité aux conditions de fonctionnement à haute température
- 3.2 Caractéristiques de densité des buses en alliage de tungstène
 - 3.2.1 Plage de densité typique et facteurs d'influence
 - 3.2.2 Mécanisme de corrélation entre la haute densité, la résistance à l'usure et la stabilité
- 3.3 Caractéristiques de dureté des buses en alliage de tungstène
 - 3.3.1 Méthodes d'essai couramment utilisées pour l'indice de dureté
 - 3.3.2 Analyse de corrélation entre la dureté et la durée de vie
- 3.4 Caractéristiques de résistance des buses en alliage de tungstène
 - 3.4.1 Indicateurs clés de la résistance à la traction et de la résistance à la compression
 - 3.4.2 Caractéristiques de résistance sous haute pression
- 3.5 Stabilité chimique des buses en alliage de tungstène
 - 3.5.1 Performance en matière de résistance à la corrosion acide et alcaline
 - 3.5.2 Capacité antioxydante en milieu à haute température
- 3.6 Conductivité thermique des buses en alliage de tungstène
 - 3.6.1 Paramètre clé : Plage de conductivité thermique
 - 3.6.2 Influence de la conductivité thermique sur la distribution de température et la déformation thermique
- 3.7 Conductivité électrique des buses en alliage de tungstène
 - 3.7.1 Caractéristiques numériques de la conductivité électrique
 - 3.7.2 Adaptabilité de la conductivité à des scénarios d'application spécifiques
- 3.8 Résistance à l'usure des buses en alliage de tungstène
 - 3.8.1 Mécanisme d'usure et critères d'évaluation de la résistance à l'usure
 - 3.8.2 Méthodes d'optimisation des matériaux et des structures pour améliorer la résistance à l'usure
- 3.9 Résistance aux chocs des buses en alliage de tungstène
 - 3.9.1 Méthodes d'essai et indicateurs de résistance aux chocs
 - 3.9.2 Importance de la résistance aux chocs pour l'adaptabilité aux conditions de travail complexes
- Stabilité dimensionnelle des buses en alliage de tungstène
 - 3.10.1 Lois de déformation dimensionnelle sous l'effet des variations de température
 - 3.10.2 Influence de la stabilité dimensionnelle sur la précision d'injection
- 3.11 Résistance aux radiations des buses en alliage de tungstène
 - 3.11.1 Indicateurs d'évaluation principaux de la performance en matière de résistance aux radiations
 - 3.11.2 Adaptabilité de l'application dans les environnements radiatifs tels que l'industrie nucléaire
- 3.12 Caractéristiques de surface des buses en alliage de tungstène
 - 3.12.1 Caractéristiques de la rugosité de surface et du coefficient de frottement
 - 3.12.2 Le rôle du traitement de surface dans l'amélioration des propriétés
- 3.13 Résistance à la fatigue des buses en alliage de tungstène
 - 3.13.1 Méthodes d'essai et facteurs influençant la durée de vie en fatigue
 - 3.13.2 Performances de résistance à la fatigue sous conditions de charge alternées
- 3.14 Fiche de données de sécurité des buses en alliage de tungstène de CTIA GROUP LTD

COPYRIGHT AND LEGAL LIABILITY STATEMENT

Chapitre 4 Fabrication des buses en alliage de tungstène

- 4.1 Procédé de préparation des matières premières pour les buses en alliage de tungstène : du minerai de tungstène à la poudre d'alliage
 - 4.1.1 Prétraitement du minerai de tungstène : procédés d'enrichissement et de purification
 - 4.1.2 Préparation de la poudre de tungstène : procédé de réduction et contrôle de la taille des particules
 - 4.1.3 Traitement d'alliage : Points clés des procédés de dopage et de mélange
 - 4.1.4 Contrôle des performances des poudres : optimisation de la fluidité et de la masse volumique apparente
- 4.2 Procédé de formage des buses en alliage de tungstène : technologie et sélection des ébauches
 - 4.2.1 Moulage par compression traditionnel : Processus de compression et contrôle des paramètres
 - 4.2.2 Technologie de formage de précision : avantages du procédé de pressage isostatique
 - 4.2.3 Technologie de fabrication additive : exploration des applications d'impression 3D
 - 4.2.4 Sélection du procédé de moulage : en fonction des spécifications de la buse et des exigences du lot
- 4.3 Procédé de frittage des buses en alliage de tungstène : technologie clé pour la densification
 - 4.3.1 Traitement avant cuisson : Processus de dégraissage et de relaxation des contraintes
 - 4.3.2 Frittage à haute température : paramètres clés pour le contrôle de la température et de l'atmosphère
 - 4.3.3 Mécanisme de densification par frittage : contrôle de la porosité et corrélation avec les performances
 - 4.3.4 Prévention des défauts de frittage : mesures de contrôle de la fissuration et de la déformation
- 4.4 Technologie de post-traitement des buses en alliage de tungstène : amélioration de la précision et des performances
 - 4.4.1 Usinage de précision : Technologie d'usinage des canaux d'écoulement et des faces d'extrémité
 - 4.4.2 Procédés de traitement de surface : technologies de polissage et d'amélioration des revêtements
 - Étalonnage dimensionnel : Processus de mesure et de correction de précision
 - 4.4.4 Nettoyage et séchage du produit fini : Spécifications du procédé d'élimination des impuretés
- 4.5 Contrôle qualité des matières premières pour les buses en alliage de tungstène
 - 4.5.1 Test de pureté de la poudre de tungstène
 - 4.5.2 Procédure d'essai d'uniformité de la composition de la poudre d'alliage
 - 4.5.3 Essais des propriétés physiques des poudres
- 4.6 Contrôle de la qualité des buses en alliage de tungstène pendant les étapes de formage et de frittage
 - 4.6.1 Méthodes d'essai de la densité et de la compacité de la billette
 - 4.6.2 Analyse de la composition et de la microstructure du corps fritté
 - 4.6.3 Spécifications d'échantillonnage et d'essai des propriétés mécaniques des corps frittés
- 4.7 Contrôle qualité des buses en alliage de tungstène au stade du produit fini
 - 4.7.1 Inspection de la précision dimensionnelle
 - 4.7.2 Contrôle de la qualité de surface
 - 4.7.3 Essais de performance en conditions de fonctionnement
- 4.8 Système de contrôle qualité et normes pour les buses en alliage de tungstène
 - 4.8.1 Mise en place d'un système de traçabilité qualité complet pour les buses en alliage de tungstène
 - 4.8.2 Définition des points clés de contrôle qualité
 - 4.8.3 Normes de qualité et exigences de conformité de l'industrie

COPYRIGHT AND LEGAL LIABILITY STATEMENT

Chapitre 5 : Comparaison des buses en alliage de tungstène avec les buses fabriquées à partir d'autres matériaux

- 5.1 Comparaison des buses en alliage de tungstène et des buses en acier inoxydable
 - 5.1.1 Comparaison de la résistance aux hautes températures : plage de tolérance thermique et stabilité
 - 5.1.2 Comparaison de la résistance à l'usure : différences de taux d'usure et de durée de vie
 - 5.1.3 Comparaison des propriétés mécaniques : Analyse de la compatibilité entre résistance et ténacité
 - 5.1.4 Comparaison économique : Évaluation complète des coûts et des coûts de maintenance
- 5.2 Comparaison des buses en alliage de tungstène et des buses en céramique
 - 5.2.1 Comparaison des propriétés mécaniques : différences de résistance aux chocs et de fragilité
 - 5.2.2 Comparaison de la résistance à l'usure : performances en matière d'usure par particules dures et d'usure abrasive
 - 5.2.3 Comparaison des performances de traitement : précision du moulage et adaptabilité aux structures complexes
 - 5.2.4 Comparaison de la fiabilité : analyse de la résistance aux chocs thermiques et de la stabilité d'utilisation
- 5.3 Comparaison des buses en alliage de tungstène et des buses en alliage de cuivre
 - 5.3.1 Comparaison de la résistance à haute température : taux de rétention des propriétés mécaniques dans des environnements à haute température
 - 5.3.2 Comparaison de la durée de vie : Différences dans les profils d'atténuation sous différentes conditions de fonctionnement
 - 5.3.3 Comparaison de la conductivité thermique : caractéristiques de la conduction thermique et de la distribution de température
 - 5.3.4 Comparaison de la résistance à la corrosion : Performances de résistance à la corrosion en milieux acides et alcalins

Chapitre 6 Domaines d'application des buses en alliage de tungstène

- 6.1 Application des buses en alliage de tungstène dans la fabrication industrielle
 - 6.1.1 Soudage et découpe : Buse en alliage de tungstène pour la pulvérisation à haute température
 - 6.1.2 Revêtement de surface : Buse en alliage de tungstène pour moulage par atomisation
 - 6.1.3 Fonderie métallurgique : buses en alliage de tungstène pour coulée à haute température
 - 6.1.4 Nettoyage de précision : Buse en alliage de tungstène pour jet d'eau haute pression
- 6.2 Application des buses en alliage de tungstène dans le secteur de l'énergie et des mines
 - 6.2.1 Forage pétrolier : Buses en alliage de tungstène pour le concassage de roches à haute pression
 - 6.2.2 Gazéification du charbon : Buses en alliage de tungstène pour réaction à haute température
 - 6.2.3 Production d'énergie thermique : Buses en alliage de tungstène pour la désulfuration et la dénitrification
 - 6.2.4 Utilisation de l'énergie nucléaire : buses en alliage de tungstène pour environnements résistants aux radiations
- 6.3 Application des buses en alliage de tungstène dans les équipements haut de gamme
 - 6.3.1 Aérospatiale : Buses en alliage de tungstène pour l'injection de gaz dans les moteurs
 - 6.3.2 Transport ferroviaire : Buses en alliage de tungstène pour le refroidissement du système de freinage
 - 6.3.3 Dispositifs médicaux : Buses en alliage de tungstène pour pulvérisation de précision
 - 6.3.4 Fabrication électronique : buses en alliage de tungstène pour l'encapsulation de puces

COPYRIGHT AND LEGAL LIABILITY STATEMENT

- 6.4 Applications des buses en alliage de tungstène dans les domaines militaires et spéciaux
 - 6.4.1 Équipement militaire : Buses en alliage de tungstène pour systèmes de pulvérisation spéciaux
 - 6.4.2 Lancement spatial : tuyères en alliage de tungstène pour systèmes de propulsion
 - 6.4.3 Intervention d'urgence chimique : Buses en alliage de tungstène pour la manipulation de milieux corrosifs
 - 6.4.4 Exploration en eaux profondes : Buses en alliage de tungstène pour environnements à haute pression
- 6.5 Applications des buses en alliage de tungstène dans les domaines émergents
 - 6.5.1 Impression 3D : Buse en alliage de tungstène pour la projection de poudre métallique
 - 6.5.2 Industrie de l'énergie hydrogène : Buses en alliage de tungstène pour piles à combustible
 - 6.5.3 Capture du carbone : Buse en alliage de tungstène pour l'injection d'absorbant
 - 6.5.4 Technologie laser : buses en alliage de tungstène pour refroidissement auxiliaire

Chapitre 7 : Sélection, installation et maintenance des buses en alliage de tungstène

- 7.1 Sélection scientifique des buses en alliage de tungstène
 - 7.1.1 Adaptation des paramètres de fonctionnement : Adaptation de la buse en alliage de tungstène à la température et à la pression
 - 7.1.2 Compatibilité avec les caractéristiques des fluides : Les buses en alliage de tungstène sont compatibles avec les fluides corrosifs.
 - 7.1.3 Adéquation des exigences de performance : Adaptation de la buse en alliage de tungstène et de l'atomisation du flux
 - 7.1.4 Sélection du type de structure : structure de la buse en alliage de tungstène et adaptation à la scène
 - 7.1.5 Éviter les erreurs de sélection courantes : Analyse des problèmes courants liés au choix des buses en alliage de tungstène
- 7.2 Installation et réglage des buses en alliage de tungstène : points clés pour une garantie de précision
 - 7.2.1 Préparation avant installation : Inspection des buses en alliage de tungstène et compatibilité des accessoires
 - 7.2.2 Spécifications d'installation principales : Technologie de positionnement et d'étanchéité des buses en alliage de tungstène
 - 7.2.3 Contrôle de la précision d'installation : étalonnage de la coaxialité et de la perpendicularité des buses en alliage de tungstène
 - 7.2.4 Processus de débogage principal : étalonnage du débit et de la pression de la buse en alliage de tungstène
 - 7.2.5 Installation, mise en service et réception : normes de vérification des performances des buses en alliage de tungstène
- 7.3 Entretien quotidien des buses en alliage de tungstène
 - 7.3.1 Points clés pour l'inspection régulière : Détection de l'usure et de la corrosion des buses en alliage de tungstène
 - 7.3.2 Normes de nettoyage et d'entretien : Nettoyage des buses en alliage de tungstène obstruées et entretien de surface
 - 7.3.3 Détermination du cycle de maintenance : Plan de maintenance des buses en alliage de tungstène basé sur les conditions de fonctionnement

COPYRIGHT AND LEGAL LIABILITY STATEMENT

7.3.4 Gestion des pièces consommables : stratégie de remplacement et de stockage des pièces de buses en alliage de tungstène

7.4 Dépannage des buses en alliage de tungstène

7.4.1 Diagnostic des pannes courantes : Analyse des causes d'un débit anormal dans les buses en alliage de tungstène

7.4.2 Dépannage : Solution de réparation pour l'usure et les fuites des buses en alliage de tungstène

7.4.3 Gestion des défaillances extrêmes : Mesures de traitement des fissures et des déformations des buses en alliage de tungstène

7.4.4 Système de prévention des défauts : Gestion des risques tout au long du cycle de vie des buses en alliage de tungstène

Chapitre 8 Problèmes courants liés aux buses en alliage de tungstène

8.1 Problèmes courants liés à la fabrication des buses en alliage de tungstène

8.1.1 Problèmes liés à la préparation des matières premières : pureté insuffisante et impuretés excessives dans la poudre de tungstène

8.1.2 Problèmes liés au procédé de moulage : fissuration et densité irrégulière de la billette

8.1.3 Problèmes liés au processus de frittage : déformation et densité insuffisante du corps fritté

8.1.4 Problèmes de post-traitement : Précision insuffisante des canaux d'écoulement et défauts de surface

8.2 Problèmes courants liés à la sélection et à l'adaptation des buses en alliage de tungstène

8.2.1 Problème d'adéquation des conditions de fonctionnement : inadéquation de la température et de la pression avec les performances de la buse

8.2.2 Problème de sélection structurelle : le type de canal d'écoulement ne correspond pas aux exigences d'atomisation

8.2.3 Problèmes de compatibilité des matériaux : Incompatibilité entre la composition de l'alliage et les milieux corrosifs

8.2.4 Problèmes de sélection des spécifications : Inadéquation entre les paramètres du diamètre de l'orifice et les exigences de débit

8.3 Problèmes courants liés à l'installation et à l'utilisation des buses en alliage de tungstène

8.3.1 Problèmes d'installation et de fonctionnement : écart de positionnement et étanchéité insuffisante

8.3.2 Problèmes causés par un débogage incorrect : étalonnage inexact du débit et de la pression

8.3.3 Problème d'adaptation aux conditions de fonctionnement : les performances se dégradent trop rapidement dans des environnements extrêmes

8.3.4 Problèmes liés au fonctionnement collaboratif : compatibilité insuffisante avec les équipements de support

8.4 Problèmes courants liés à la maintenance et au dépannage des buses en alliage de tungstène

8.4.1 Problèmes causés par un entretien inadéquat : nettoyage incomplet et négligences lors des inspections

8.4.2 Problèmes d'usure et de corrosion : Usure anormale et corrosion localisée sévère

8.4.3 Problèmes de diagnostic des pannes : Erreur d'appréciation des causes de débit anormal et de fuite

8.4.4 Problèmes de remplacement et de mise à niveau : Remplacement inopportun de pièces vulnérables et modèles incompatibles

Appendice

COPYRIGHT AND LEGAL LIABILITY STATEMENT

Copyright© 2024 CTIA All Rights Reserved

标准文件版本号 CTIAQCD-MA-E/P 2024 版

www.ctia.com.cn

电话/TEL: 0086 592 512 9696

CTIAQCD-MA-E/P 2018-2024V

sales@chinatungsten.com

Annexe A : Norme chinoise relative aux buses en alliage de tungstène

Annexe B : Normes internationales relatives aux buses en alliage de tungstène

Annexe C : Normes relatives aux buses en alliage de tungstène en Europe, en Amérique, au Japon, en Corée du Sud et dans d'autres pays

Annexe D : Tableau de terminologie pour les buses en alliage de tungstène

Références



Buses en alliage de tungstène CTIA GROUP LTD

[COPYRIGHT AND LEGAL LIABILITY STATEMENT](#)

Copyright© 2024 CTIA All Rights Reserved

标准文件版本号 CTIAQCD-MA-E/P 2024 版

www.ctia.com.cn

电话/TEL: 0086 592 512 9696

CTIAQCD-MA-E/P 2018-2024V

sales@chinatungsten.com

CTIA GROUP LTD

High-Density Tungsten Alloy Customization Service

CTIA GROUP LTD, a customization expert in high-density tungsten alloy design and production with 30 years of experience.

Core advantages: 30 years of experience: deeply familiar with tungsten alloy production, mature technology.

Precision customization: support high density (17-19 g/cm³), special performance, complex structure, super large and very small parts design and production.

Quality cost: optimized design, optimal mold and processing mode, excellent cost performance.

Advanced capabilities: advanced production equipment, RMI, ISO 9001 certification.

100,000+ customers

Widely involved, covering aerospace, military industry, medical equipment, energy industry, sports and entertainment and other fields.

Service commitment

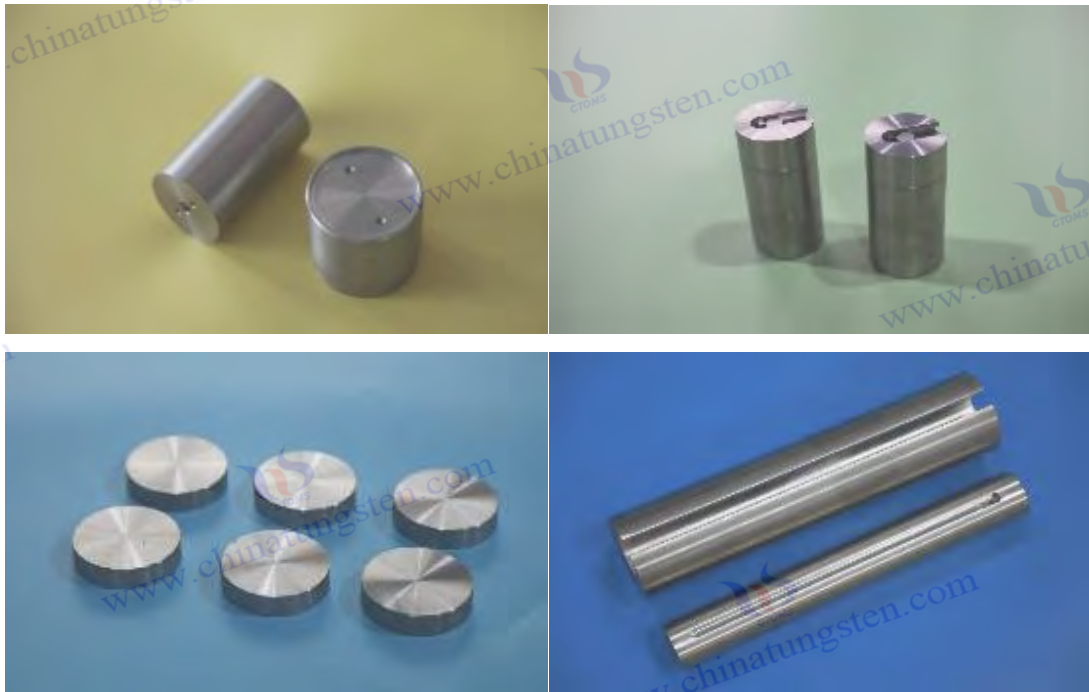
1 billion+ visits to the official website, 1 million+ web pages, 100,000+ customers, 0 complaints in 30 years!

Contact us

Email: sales@chinatungsten.com

Tel: +86 592 5129696

Official website: www.tungsten-alloy.com



COPYRIGHT AND LEGAL LIABILITY STATEMENT

Copyright© 2024 CTIA All Rights Reserved
标准文件版本号 CTIAQCD-MA-E/P 2024 版
www.ctia.com.cn

电话/TEL: 0086 592 512 9696
CTIAQCD-MA-E/P 2018-2024V
sales@chinatungsten.com

Chapitre 1 Comprendre les buses en alliage de tungstène

1.1 Qu'est-ce qu'une buse en alliage de tungstène ?

Les buses en alliage de tungstène sont des composants fonctionnels haute densité, haute résistance et résistants à l'usure, dotés d'une structure de canal d'écoulement spécifique. Elles sont principalement composées de tungstène (généralement à plus de 85 % en masse), auquel s'ajoutent des liants tels que le nickel, le fer, le cuivre, le cobalt ou le molybdène, et sont fabriquées par frittage en phase liquide selon un procédé de métallurgie des poudres. Dans des conditions de fonctionnement extrêmes, elles sont essentielles à la projection directionnelle de gaz, de liquides, de particules fondues ou de plasma à haute pression, à des vitesses extrêmement élevées, avec une précision extrême et des angles de divergence extrêmement faibles. Parallèlement, elles doivent résister à une agression durable due à l'oxydation à haute température, à l'érosion abrasive, à la fatigue par cavitation, à la fissuration par choc thermique et à l'action combinée de milieux hautement corrosifs. Comparées aux buses traditionnelles en carbure cémenté, en céramique de zircone, en acier inoxydable, en alliage de titane, voire en tungstène pur, les buses en alliage de tungstène ont connu un progrès qualitatif considérable en termes de dureté, de ténacité, de densité, de limite de résistance à la température, de durée de vie face à l'érosion et de rentabilité globale. Elles sont devenues les actionneurs de gorge les plus essentiels et les plus exigeants dans des procédés de pointe tels que la projection thermique, la projection HVOF (projection à haute vitesse par combustion), la projection plasma, la projection à froid, la découpe au jet d'eau haute pression, l'alimentation en poudre pour le rechargeement laser, l'injection de carburant à rampe commune diesel, les chambres de combustion des turbines à gaz, le sablage industriel et le décapage de la rouille, l'atomisation de précision et les générateurs de plasma.

L'émergence des buses en alliage de tungstène résulte de l'intégration poussée de la science des matériaux à de multiples disciplines telles que la mécanique des fluides, la thermodynamique et l'ingénierie des surfaces. Elles héritent non seulement du point de fusion extrêmement élevé, de la dureté et de la résistance au ramollissement du tungstène, mais surmontent également la fragilité inhérente au tungstène pur et aux céramiques grâce à l'introduction d'une phase liante ductile, atteignant ainsi une combinaison idéale de dureté et de ténacité. Parallèlement, leur haute densité leur confère une inertie et une capacité thermique considérables, leur permettant de maintenir une stabilité géométrique à l'échelle de la milliseconde, même sous l'effet du recul du jet à grande vitesse et des chocs thermiques à haute température. Un magnétisme contrôlable et une excellente conductivité thermique leur permettent de fonctionner en toute sécurité dans des champs électromagnétiques intenses ou des environnements soumis à des charges thermiques élevées. C'est cet équilibre optimal de propriétés multidimensionnelles qui distingue les buses en alliage de tungstène de nombreux autres matériaux candidats, les rendant indispensables aux procédés industriels actuels les plus exigeants en matière de précision de pulvérisation, de durée de vie et de fiabilité opérationnelle.

D'un point de vue plus global, les buses en alliage de tungstène représentent une extension typique des alliages haute densité en termes de fonctionnalité, de précision et d'applications extrêmes. Elles ne sont plus de simples pièces résistantes à l'usure, mais des composants clés au niveau du système, intégrant la conversion d'énergie, le transfert de masse, la modification de surface et la protection environnementale.

COPYRIGHT AND LEGAL LIABILITY STATEMENT

Une buse, en apparence insignifiante, détermine souvent la stabilité de fonctionnement d'équipements valant des centaines de millions de yuans sur une ligne de production complète, la conformité de la qualité du revêtement aux normes aérospatiales, la précision de la découpe au jet d'eau à l'échelle micrométrique et les émissions ultra-faibles de l'atomisation du carburant. Par conséquent, la compréhension des buses en alliage de tungstène ne doit pas se limiter à la simple notion de « buse fabriquée dans un matériau résistant à l'usure », mais doit être élevée au rang de « maillon le plus vulnérable, mais aussi le plus important, de la chaîne de production moderne de pointe ». Seule une compréhension approfondie du mécanisme de couplage entre les matériaux, la structure, le procédé et l'environnement permettra de maîtriser pleinement leur conception, leur fabrication et leur application.

1.1.1 Définition et composants de base des buses en alliage de tungstène

Une buse en alliage de tungstène peut être définie précisément comme un composant fonctionnel doté d'une géométrie de canal d'écoulement définie, fabriqué en alliage de tungstène haute densité (teneur en tungstène d'au moins 85 %) par pressage isostatique à froid, frittage sous vide ou en phase liquide sous hydrogène, usinage de précision et, éventuellement, traitement de renforcement de surface. Elle est utilisée pour la projection directionnelle supersonique/à grande vitesse de fluides à haute pression ou de faisceaux de particules. Ses composants de base comprennent trois éléments principaux : le système de canal d'écoulement, le système d'interface externe et la couche fonctionnelle de surface.

Le système de canaux d'écoulement est l'élément déterminant des performances d'une buse. Il se compose généralement d'une section d'entrée, d'une section convergente, d'un col (section minimale) et d'une section d'expansion. La configuration typique est une buse de Laval, mais elle peut également être conçue sous forme de tube droit, de tube Venturi ou de structure à plusieurs étages de convergence/expansion, selon les besoins. Le diamètre du col et la rugosité de surface influent directement sur la vitesse du jet, la stabilité de l'écoulement et le rendement énergétique. Le système d'interface externe est conçu en fonction du mode d'installation : raccords filetés, brides, colliers de serrage rapides, pièces brasées intégrées ou conceptions monoblocs garantissent un ajustement précis et une étanchéité parfaite avec le pistolet de pulvérisation, le cylindre d'alimentation ou la chambre de combustion. La couche fonctionnelle de surface est un atout majeur qui distingue les buses modernes en alliage de tungstène des buses traditionnelles. Il peut s'agir de couches durcissantes par boruration, de revêtements PVD TiAlN / CrN / DLC, de couches denses refondues au laser ou de systèmes multicouches composites, utilisés pour améliorer la résistance à l'érosion, à l'oxydation, à l'adhérence et aux chocs thermiques.

À l'échelle microscopique, les buses en alliage de tungstène présentent une structure biphasée : des particules de tungstène dures forment une matrice continue ou quasi continue, tandis qu'une phase liante remplit uniformément les interstices et forme un revêtement réticulaire. Les particules de tungstène confèrent dureté et résistance à l'usure, tandis que la phase liante assure ténacité et résistance aux chocs thermiques. Ensemble, elles garantissent que la buse ne subit ni déformation plastique ni écaillage fragile, même soumise à des dizaines de milliers d'impacts de particules abrasives ou à des chocs thermiques instantanés de plusieurs milliers de degrés. Cette structure confère également à la buse une excellente usinabilité et réparabilité, lui permettant de réaliser des canaux d'écoulement internes complexes et des

COPYRIGHT AND LEGAL LIABILITY STATEMENT

Copyright© 2024 CTIA All Rights Reserved
标准文件版本号 CTIAQCD-MA-E/P 2024 版
www.ctia.com.cn

电话/TEL: 0086 592 512 9696
CTIAQCD-MA-E/P 2018-2024V
sales@chinatungsten.com

tolérances dimensionnelles et de position de l'ordre du micron grâce à un usinage CNC de précision, et d'obtenir plusieurs prolongations de durée de vie par resurfaçage ou refusion après usure localisée.

1.1.2 Classification des buses en alliage de tungstène

Les buses en alliage de tungstène font l'objet d'une classification multidimensionnelle prenant en compte leur composition, la géométrie du canal d'écoulement, le domaine d'application, le fluide de travail, le renforcement de surface et la pression nominale. Chaque dimension correspond à un objectif de performance précis et à un processus de fabrication spécifique.

Selon leur composition, les buses se classent en plusieurs types : tungstène-nickel-fer (haute résistance mécanique et à haute température), tungstène-nickel-cuivre (non magnétique et résistant à la corrosion), tungstène-cuivre (haute conductivité thermique et électrique), tungstène-nickel-molybdène/rhénium (ultra -résistance au fluage à haute température) et buses renforcées aux terres rares ou aux carbures. Selon la géométrie de leur canal d'écoulement, on distingue les buses Laval supersoniques, les buses Venturi, les buses à tube droit, les buses multi-orifices et les buses coaxiales pour l'alimentation en poudre. Enfin, selon leurs applications, on trouve les buses de projection thermique (HVOF, APS, projection à froid), les buses de jet d'eau haute pression, les buses de sablage et de décapage, les buses d'atomisation de carburants/gaz, les buses d'alimentation en poudre pour le recharge laser, les buses d'électrodes pour générateurs de plasma et les buses de nettoyage industriel. Selon leur fluide caloporeur et leur niveau de pression, on distingue les modèles à eau ultra-haute pression, à gaz contenant des poudres à grande vitesse, à plasma haute température et à atomisation basse pression. Selon leur procédé de renforcement de surface, on distingue les modèles à boruration, à revêtement dur PVD, à faible coefficient de frottement DLC, à refusion laser et à composite multicouche fonctionnel.

Les critères de classification ci-dessus peuvent être combinés librement pour constituer une gamme de produits hautement personnalisée. Par exemple, une buse Laval en tungstène-nickel-cuivre utilisée pour le décapage de la rouille des pales d'éoliennes offshore peut présenter simultanément quatre caractéristiques majeures : amagnétisme, résistance à la corrosion par brouillard salin, revêtement DLC et compatibilité avec les milieux aqueux à très haute pression. En revanche, une buse en tungstène-nickel-fer utilisée pour le revêtement HVOF des moteurs d'avion privilégie la résistance à l'oxydation à haute température, le durcissement par boruration et la stabilité en flux d'air supersonique. Cette méthode de classification systématique et combinable répond non seulement aux divers besoins de l'industrie, mais offre également aux ingénieurs matériaux une approche claire de conception et de sélection, garantissant ainsi que chaque buse en alliage de tungstène atteigne des performances optimales et une durée de vie maximale dans des conditions d'utilisation spécifiques.

1.2 La valeur des buses en alliage de tungstène : Pourquoi choisir l'alliage de tungstène ?

Au cours des deux dernières décennies, les buses en alliage de tungstène ont rapidement supplanté les buses en carbure cémenté, en céramique, en acier inoxydable, en alliage de titane, et même en tungstène pur, pour devenir la norme absolue des procédés de jet d'eau haut de gamme. Leur succès s'explique par un équilibre de performances multidimensionnel qu'elles atteignent, même dans les conditions de travail

COPYRIGHT AND LEGAL LIABILITY STATEMENT

Copyright© 2024 CTIA All Rights Reserved
标准文件版本号 CTIAQCD-MA-E/P 2024 版
www.ctia.com.cn

电话/TEL: 0086 592 512 9696
CTIAQCD-MA-E/P 2018-2024V
sales@chinatungsten.com

les plus exigeantes : elles sont suffisamment dures pour résister à l'érosion abrasive et suffisamment robustes pour éviter la rupture fragile ; elles conservent leur forme à des températures instantanées de plusieurs milliers de degrés et restent intactes pendant une longue période sous l'effet combiné des coups de bâlier et de la cavitation à très haute pression ; leur densité élevée leur confère une inertie suffisante pour atténuer les vibrations et une bonne conductivité thermique pour dissiper rapidement les chocs thermiques locaux ; leur inertie chimique leur permet de résister à une forte oxydation et à la corrosion ; enfin, elles peuvent être usinées avec précision et fonctionnalisées en surface pour répondre aux exigences des canaux d'écoulement micrométriques et des interfaces complexes.

1.2.1 Gain de performance des buses en alliage de tungstène par rapport aux buses traditionnelles

Comparées aux matériaux traditionnels, les buses en alliage de tungstène représentent un progrès qualitatif majeur pour la quasi-totalité des indicateurs clés qui déterminent leur durée de vie et la qualité des procédés. Si les buses en carbure cémenté offrent une dureté élevée, leur ténacité insuffisante les rend vulnérables à la propagation de microfissures et à l'écaillage sous l'effet de flux d'air à grande vitesse ou de jets d'eau à ultra-haute pression contenant des particules dures. Grâce à l'introduction d'une phase liante ductile, les buses en alliage de tungstène améliorent considérablement leur ténacité à l'impact tout en conservant une dureté proche de celle du carbure cémenté, ce qui multiplie leur durée de vie par plusieurs, voire par des dizaines, dans les mêmes conditions d'utilisation. Les buses en céramique de zircone, bien que résistantes à la chaleur et chimiquement inertes, sont intrinsèquement fragiles et se brisent sous l'effet de chocs thermiques ou de vibrations mécaniques. À l'inverse, la résistance aux chocs thermiques des buses en alliage de tungstène leur permet de fonctionner pendant de longues périodes sans se fissurer, même dans les environnements extrêmes de la projection plasma et du rechargement laser, caractérisés par d'importantes variations de température .

Les buses en acier inoxydable et en alliage de titane conviennent au nettoyage courant et à la pulvérisation à basse pression, mais elles sont rapidement sujettes à la piqûre, à l'oxydation ou au ramollissement lorsqu'elles sont exposées à des atmosphères oxydantes à haute température ou à des milieux fortement corrosifs. Les buses en alliage de tungstène, notamment celles en tungstène-nickel-cuivre, restent quasiment inertes en milieu acide, alcalin, salin et oxydant à haute température, et leurs surfaces ne présentent pratiquement aucune perte de masse ni variation dimensionnelle après passivation ou revêtement approprié. Bien que les buses en tungstène et en molybdène purs aient des points de fusion extrêmement élevés, elles sont sujettes à la fragilisation par recristallisation et à l'ablation par oxydation à haute température. Grâce à l'utilisation d'un liant qui inhibe la recristallisation et améliore la résistance à l'oxydation, les buses en alliage de tungstène atteignent des limites de résistance à la température et une durée de vie en résistance à l'ablation bien supérieures à celles des métaux purs.

En termes de qualité de jet et de stabilité du procédé, la haute densité et le coefficient de dilatation thermique extrêmement faible des buses en alliage de tungstène minimisent la déformation géométrique lors du recul à grande vitesse et des chocs thermiques. Le diamètre du col et la rugosité de la paroi interne restent inchangés sur une longue période, garantissant une grande constance de la vitesse du jet, de l'angle de divergence et du débit. À l'inverse, les buses en matériaux traditionnels subissent souvent une dégradation rapide de la qualité du jet due à la déformation thermique ou à l'usure, entraînant des arrêts

COPYRIGHT AND LEGAL LIABILITY STATEMENT

fréquents pour leur remplacement. Globalement, les buses en alliage de tungstène corrigent les défauts des buses traditionnelles un à un tout en amplifiant leurs avantages, passant ainsi d'une utilisation « à peine acceptable » à une solution « irremplaçable ». Il en résulte également des améliorations tangibles de la qualité des procédés en aval, telles qu'une meilleure adhérence du revêtement, une largeur de coupe plus étroite, des particules atomisées plus fines et une efficacité de nettoyage accrue.

1.2.2 Valeur des buses en alliage de tungstène dans des scénarios typiques

Dans le cadre de la projection thermique par flamme supersonique (HVOF) pour les revêtements de barrière thermique des moteurs d'avion, les buses doivent résister simultanément à l'abrasion d'un flux d'air à haute vitesse et haute température contenant des particules d'oxyde de zirconium et à de violents chocs thermiques. Les buses en carbure ont généralement une durée de vie de seulement quelques centaines d'heures avant de présenter un fort évasement et une dégradation de la qualité du revêtement. En revanche, les buses en alliage de tungstène, grâce à leur résistance supérieure à l'érosion particulaire et au ramollissement à haute température, peuvent facilement atteindre une durée de vie de plusieurs milliers d'heures. Ceci réduit considérablement le nombre d'arrêts pour remplacement de buses et le taux de retouche du revêtement, diminuant ainsi directement le coût du revêtement par moteur pour les entreprises de maintenance aéronautique de plusieurs dizaines de points de pourcentage, tout en garantissant une adhérence et des performances d'isolation thermique optimales du revêtement de barrière thermique.

Dans le domaine du décapage à haute pression des navires et des éoliennes offshore, les buses traditionnelles en carbure de tungstène développent souvent des piqûres de cavitation et un élargissement du passage en quelques semaines seulement sous l'effet combiné des embruns salés et de la très haute pression. Il en résulte une diminution de l'efficacité du décapage et une augmentation de la consommation d'eau. Les buses en alliage tungstène-nickel-cuivre, associées à des revêtements DLC ou CrN, éliminent non seulement complètement la corrosion et la cavitation, mais prolongent également la durée de vie d'une seule buse à plusieurs milliers d'heures. Le décapage passe ainsi d'un entretien fréquent à une maintenance quasi inexistante, ce qui améliore considérablement l'efficacité et la sécurité des travaux offshore.

Dans les applications de recharge laser de haute précision avec alimentation coaxiale en poudre, l'adhérence, l'usure et le gonflement de la poudre sur la paroi interne de la buse d'alimentation peuvent entraîner la dispersion du faisceau, l'instabilité du bain de fusion et une perte de précision de formage. La paroi interne en alliage de tungstène, d'une qualité miroir, et son coefficient de frottement extrêmement faible garantissent un flux de poudre régulier et sans adhérence. Le diamètre du col reste constant pendant des milliers d'heures, assurant ainsi un contrôle micrométrique des variations d'épaisseur d'une couche de recharge. Ceci offre des garanties de précision et de fiabilité irremplaçables pour les projets de réparation à forte valeur ajoutée, tels que la réparation des canalisations principales des centrales nucléaires et la remise à neuf des soutènements hydrauliques miniers.

Dans le domaine de la pulvérisation médicale et de l'atomisation de précision, les buses non magnétiques en tungstène-nickel-cuivre éliminent totalement l'influence des champs magnétiques sur la trajectoire des

COPYRIGHT AND LEGAL LIABILITY STATEMENT

particules médicamenteuses et l'uniformité de leur dépôt. Elles permettent ainsi d'atteindre une constance sans précédent dans l'épaisseur du revêtement médicamenteux des stents, améliorant directement le taux de réussite clinique des dispositifs implantables et la sécurité des patients. Ce sont précisément ces avantages concrets – durée de vie prolongée, qualité supérieure, coûts réduits et risques moindres dans ces applications typiques – qui constituent l'avantage majeur des buses en alliage de tungstène, les transformant d'une option haut de gamme onéreuse en la solution la plus économique et indispensable sur le long terme.

1.3 Caractéristiques de base des buses en alliage de tungstène

tungstène conservent une précision géométrique, une qualité de jet et une intégrité fonctionnelle optimales, même dans des conditions extrêmes et pendant de longues périodes. Cette performance est fondamentalement due aux multiples propriétés intrinsèques du matériau, qu'elles soient physiques, mécaniques, thermiques, chimiques ou technologiques. Ces propriétés ne sont pas isolées ; au contraire, grâce à l'effet synergique de la structure biphasée issue de la métallurgie des poudres, de l'optimisation de la phase liante et du traitement de surface, elles forment un système performant et hautement intégré, quasiment sans faiblesses apparentes. Ceci permet à l'alliage de tungstène de surpasser significativement les matériaux de buses traditionnels dans la quasi-totalité des indicateurs clés, et de devenir ainsi le matériau de base des procédés de jet d'encre modernes et performants.

Premièrement, ce matériau présente une dureté extrêmement élevée et une excellente résistance à l'usure. Les particules de tungstène sont elles-mêmes extrêmement dures et, lorsqu'elles forment un squelette continu ou semi-continu, la dureté globale de la buse dépasse largement celle des alliages durs ordinaires et de l'acier inoxydable. Soumise à une érosion à grande vitesse par de l'alumine, du carbure de silicium, des billes de verre, du grenat ou même des particules de diamant, la surface ne développe que de très fines rainures plastiques, sans perte de masse notable. Ainsi, le diamètre du col et la régularité de la paroi interne restent pratiquement inchangés pendant des milliers d'heures. Deuxièmement, il présente une grande ténacité et une résistance aux dommages composites face aux chocs thermiques et à la cavitation. La présence de la phase liante ductile modifie complètement la fragilité inhérente du tungstène pur et de la céramique, empêchant la buse de se rompre par fragilisation ou par fatigue lorsqu'elle est soumise à des jets de plasma instantanés à des milliers de degrés, à des impacts de coups de bâton à très haute pression ou à des variations thermiques rapides. Sa durée de vie est ainsi considérablement prolongée, même dans des conditions de contraintes complexes.

La stabilité à haute température est une autre caractéristique essentielle. Les buses en alliage de tungstène présentent des températures de recristallisation élevées, de faibles coefficients de dilatation thermique et une dégradation minimale de leur résistance mécanique à haute température. Même sous des températures soutenues supérieures à 1 000 °C ou des températures instantanées supérieures à 2 000 °C, la géométrie du canal d'écoulement reste stable au micron près, évitant ainsi les problèmes de ramollissement thermique, de déformation thermique et d'oxydation, fréquents avec les matériaux traditionnels. Leur excellente inertie chimique et leur résistance à la corrosion sont également remarquables. En particulier, le système tungstène-nickel-cuivre ne présente pratiquement aucune corrosion visible en présence d'acides, d'alcalis, de brouillard salin, de chaleur humide et de divers

COPYRIGHT AND LEGAL LIABILITY STATEMENT

solvants organiques. Avec une passivation de surface ou des revêtements fonctionnels, il peut fonctionner pendant de longues périodes dans les environnements chimiques et marins les plus agressifs.

La haute densité offre des avantages en termes d'inertie et de capacité thermique, minimisant ainsi les vibrations de la buse et ralentissant la réponse thermique lors du recul du jet à grande vitesse et des chocs thermiques localisés. Ceci garantit la stabilité du jet et la précision du pointage. L'excellente conductivité thermique transfère rapidement la chaleur accumulée au niveau du col vers le système de refroidissement externe, évitant ainsi la dégradation des matériaux due à une surchauffe localisée. Les propriétés magnétiques contrôlables (ajustables de totalement non magnétique à faiblement magnétique) permettent une utilisation en toute sécurité dans des champs magnétiques intenses ou des environnements électromagnétiques précis, sans génération de chaleur par courants de Foucault ni déviation de trajectoire. Le coefficient de dilatation thermique extrêmement faible et l'excellente stabilité dimensionnelle assurent un contact fiable entre la buse et les substrats tels que l'acier, le titane et la céramique sur une large plage de températures, prévenant ainsi tout desserrage ou concentration de contraintes dus à la dilatation et à la contraction thermiques.

Enfin, les buses en alliage de tungstène présentent une excellente usinabilité de précision et de nombreuses possibilités de fonctionnalisation de surface. Grâce au pressage isostatique à froid, au frittage de précision et à l'usinage CNC multiaxes, il est possible d'obtenir des canaux d'écoulement internes complexes, des tolérances dimensionnelles et de position de l'ordre du micron, ainsi que des parois internes à l'aspect miroir. Des méthodes de renforcement de surface telles que la boruration, le PVD, le CVD, le DLC et la refusion laser peuvent être mises en œuvre, améliorant encore la résistance à l'usure, l'antiadhérence et la résistance à l'oxydation. L'ensemble de ces caractéristiques fondamentales définit un matériau « dur mais non cassant, résistant aux hautes températures mais non mou, corrosif mais non corrosif, précis mais réparable ». C'est précisément cet ensemble de propriétés qui distingue les buses en alliage de tungstène de nombreux autres matériaux candidats, et qui en fait l'actionneur central le plus critique, fiable et indispensable dans les procédés actuels de projection thermique, de découpe au jet d'eau, de rechargement laser, d'atomisation de précision, de génération de plasma et de combustion à haute température. Chacune de ces caractéristiques répond directement aux principaux défis rencontrés en milieu industriel. et la combinaison de toutes ces caractéristiques crée une valeur globale irremplaçable.

1.4 Positionnement industriel et scénarios d'application des buses en alliage de tungstène

Les buses en alliage de tungstène, autrefois considérées comme des composants résistants à l'usure de haute qualité, sont devenues des éléments indispensables au bon fonctionnement des procédés et un facteur déterminant des performances maximales dans la chaîne d'approvisionnement de la fabrication de pointe. Elles ne sont plus de simples consommables, mais une condition essentielle à la mise en place, à la stabilité et à l'efficacité optimale de nombreux procédés de dernière génération. Des performances insuffisantes des buses peuvent entraîner une série de conséquences néfastes, telles qu'une diminution de l'adhérence des revêtements, une perte de précision de coupe, une dispersion granulométrique des particules atomisées, une chute brutale de l'efficacité du nettoyage, voire l'arrêt des équipements. C'est pourquoi, dans des secteurs à forte valeur ajoutée comme l'aéronautique, l'énergie, les dispositifs

COPYRIGHT AND LEGAL LIABILITY STATEMENT

médicaux, la fabrication électronique, la construction navale et le génie maritime, l'automobile et la fabrication additive, les buses en alliage de tungstène sont clairement définies comme des consommables critiques et des composants fonctionnels stratégiques. Leur sélection, la stabilité de leur approvisionnement et la rapidité de leur évolution technologique sont directement intégrées aux systèmes de gestion de la chaîne d'approvisionnement des équipementiers et des sous-traitants.

1.4.1 Le rôle des buses en alliage de tungstène dans la chaîne de production de pointe

Dans la chaîne de production de pointe, les buses en alliage de tungstène constituent le maillon critique le plus exigeant et le plus sophistiqué, jouant un rôle primordial dans la conversion d'énergie, le transfert précis de matière et la fabrication de surfaces aux propriétés spécifiques. Elles servent de point de sortie pour les équipements à haute puissance tels que les pompes haute pression, les générateurs plasma, les lasers et les chambres de combustion, et représentent également la première surface de contact où interagissent physico-chimiquement les poudres, les gouttelettes, les jets, les plasmas et les surfaces des pièces. Une simple défaillance d'une seule buse peut rendre inutilisables des équipements en amont d'une valeur de plusieurs centaines de milliers, voire de centaines de millions de yuans, et nécessiter la reprise de nombreuses étapes en aval.

Dans la chaîne de projection thermique et de traitement de surface, les buses en alliage de tungstène déterminent la vitesse de vol des particules, leur historique de température et leur énergie cinétique d'impact, influençant directement la densité du revêtement, la résistance de l'adhérence et le niveau de contraintes résiduelles. Elles constituent un facteur limitant essentiel pour garantir que les revêtements de barrière thermique pour moteurs d'avion, les revêtements anti-usure pour aubes de turbines à gaz et les revêtements anticorrosion pour supports hydrauliques atteignent leur durée de vie prévue. Dans la chaîne de découpe au jet d'eau haute pression et d'usinage ultra-précis, elles sont le seul composant capable de résister à des pressions extrêmement élevées pendant des périodes prolongées tout en maintenant la stabilité géométrique de la gorge, déterminant directement la largeur de la saignée, la rugosité de surface et le taux d'utilisation du matériau. Dans la chaîne de recharge laser et de fabrication additive, la régularité de la paroi interne et la stabilité dimensionnelle de la buse d'alimentation en poudre coaxiale déterminent l'utilisation de la poudre, la stabilité du bain de fusion et la précision de formage en une seule passe. Elles représentent un élément clé pour la mise au rebut des composants lors de la réparation de grandes pièces de centrales nucléaires et de la remise à neuf de pièces aérospatiales difficiles à usiner.

Dans les chaînes d'injection de carburant et d'atomisation de précision, les injecteurs en alliage de tungstène, grâce à leur résistance exceptionnelle à la cavitation et à l'oxydation à haute température, garantissent que l'orifice de l'injecteur du système à rampe commune ne se dilate pas pendant des dizaines de milliers d'heures, assurant ainsi une combustion plus complète et des émissions plus propres. Dans les chaînes de génération de plasma et de revêtement sous vide, ils servent à la fois de conduit pour le confinement de l'arc et l'accélération du plasma, et de support principal pour les matériaux d'électrode, déterminant directement l'uniformité du revêtement et le temps de cycle de production. C'est ce positionnement stratégique, où « une seule modification affecte l'ensemble », qui confère à la recherche, au développement, à la fabrication et à la gestion de la chaîne d'approvisionnement des injecteurs en

COPYRIGHT AND LEGAL LIABILITY STATEMENT

alliage de tungstène une importance équivalente à celle des principaux équipementiers (OEM). Les utilisateurs de premier plan établissent souvent des partenariats stratégiques à long terme, voire des laboratoires communs, avec leurs fournisseurs afin de garantir que les formulations de matériaux, la conception des canaux d'écoulement et l'ingénierie de surface restent à la pointe de l'innovation mondiale.

1.4.2 Scénarios d'application typiques des buses en alliage de tungstène

tungstène ont constitué une catégorie de scénarios bien définie et hautement spécialisée, chaque catégorie correspondant à des conditions de travail spécifiques et à des voies de conception spécialisées.

La projection thermique et le traitement de surface constituent le marché le plus vaste et le plus mature, englobant la projection à haute vitesse avec combustible (HVOF), la projection plasma (APS), la projection à froid et la projection à l'arc à haute vitesse. Les buses utilisent principalement une structure Laval en tungstène-nickel-fer, privilégiant la résistance à l'érosion particulaire à haute température et aux chocs thermiques ; la durée de vie d'une buse détermine l'homogénéité du revêtement au sein d'un même lot. Les applications de découpe au jet d'eau haute pression et d'usinage ultra-précis incluent la découpe à l'eau pure, la découpe au jet d'eau abrasif, le décapage de la rouille des navires et la décontamination des installations nucléaires. Les buses sont principalement de type Venturi en tungstène-nickel-cuivre, associées à des couches de DLC ou de boruration pour une double protection contre la cavitation et la corrosion sous ultra-haute pression.

les buses à axe latéral . Ces procédés exigent des parois internes extrêmement lisses, une poudre antiadhésive et une résistance à la réflexion laser. Les buses en tungstène-nickel-cuivre ou en tungstène-cuivre sont les matériaux les plus utilisés et constituent des consommables essentiels pour la réparation de pièces de grande valeur dans les secteurs du nucléaire, de l'aérospatiale et des mines. Les applications d'atomisation et de combustion des carburants et des gaz comprennent les buses d'injection à rampe commune diesel, les buses d'injection de kérósène pour l'aviation et les buses d'atomisation pour chaudières industrielles. Ces applications privilégient la résistance à l'oxydation à haute température, à l'accumulation de carbone et une qualité d'atomisation élevée. Les buses renforcées en tungstène-nickel-fer ou dopées aux terres rares sont couramment utilisées.

Les applications de nettoyage industriel et de prétraitement de surface comprennent le décapage de la rouille, de la peinture et des dépôts d'oxyde à l'eau haute pression, principalement à l'aide de buses Laval ou en éventail en tungstène-nickel-cuivre à système de changement rapide, visant une efficacité opérationnelle et une fréquence de maintenance extrêmement faibles. Les applications de génération de plasma et de revêtement sous vide incluent les buses d'électrodes pour pistolets de projection plasma, les buses de nettoyage plasma sous vide et les buses de source d'arc PVD, exigeant une conductivité thermique élevée, une résistance à l'érosion par arc et des propriétés amagnétiques, souvent réalisées en tungstène-cuivre ou en tungstène-nickel-cuivre.

Les applications de précision en matière d'atomisation et de préparation de poudres, telles que le séchage par pulvérisation de médicaments, l'atomisation de poudres métalliques et l'atomisation de parfums, exigent des particules d'une finesse extrême et une distribution granulométrique très étroite. Ceci requiert

COPYRIGHT AND LEGAL LIABILITY STATEMENT

un contrôle des gouttelettes à l'échelle submicronique, obtenu grâce à des buses en alliage de tungstène ultra-précises dotées de gorges de précision. Bien que leurs conditions de fonctionnement varient considérablement, ces applications partagent un principe commun : plus le procédé est avancé, plus les exigences de performance sont élevées et plus la tolérance à la stabilité est faible, plus le taux de pénétration et le caractère irremplaçable des buses en alliage de tungstène sont importants. Ce matériau s'est discrètement imposé dans toutes les technologies de fabrication de pointe qui ont révolutionné le monde, devenant un élément invisible mais crucial du progrès constant des capacités industrielles humaines.



Buses en alliage de tungstène CTIA GROUP LTD

COPYRIGHT AND LEGAL LIABILITY STATEMENT

Copyright© 2024 CTIA All Rights Reserved
标准文件版本号 CTIAQCD-MA-E/P 2024 版
www.ctia.com.cn

电话/TEL: 0086 592 512 9696
CTIAQCD-MA-E/P 2018-2024V
sales@chinatungsten.com

Chapitre 2 : Structure des buses en alliage de tungstène

2.1 Éléments structurels clés des buses en alliage de tungstène

Les buses en alliage de tungstène peuvent présenter une grande variété de formes, mais leur mission principale demeure inchangée : convertir efficacement, de manière stable et contrôlée l'énergie de pression, thermique ou électrique en amont en un jet directionnel à grande vitesse. Ceci requiert un ensemble d'éléments structurels hautement sophistiqués et interconnectés : un système d'entrée de réception et de stabilisation du flux, une section d'accélération conique, un noyau de conversion d'énergie au niveau du col, une section d'expansion et de rectification, une interface de forme et un système de refroidissement, une couche fonctionnelle de surface, ainsi que des structures anti-éclaboussures et anti-vibrations. Chacun de ces éléments est indispensable et détermine directement la vitesse du jet, l'angle de divergence, la stabilité du flux, la durée de vie face à l'érosion et la compatibilité avec le système hôte. La haute densité, la dureté et la ténacité élevées, ainsi que le faible coefficient de dilatation thermique de l'alliage de tungstène, sont précisément intégrés à ces éléments structurels, permettant à la buse d'atteindre à la fois une efficacité de conversion d'énergie extrême et une excellente stabilité géométrique, même dans les conditions de fonctionnement les plus extrêmes.

2.1.1 Structure de base d'une buse en alliage de tungstène : entrée, canal d'écoulement et sortie

tungstène peut être décomposée en trois modules fonctionnels : entrée, canal d'écoulement et sortie. Cependant, chaque module requiert un savoir-faire de conception et de fabrication extrêmement pointu.

La section d'entrée est la seule interface entre la tuyère et la source d'énergie en amont. Sa fonction principale est de transformer rapidement le flux entrant, susceptible de présenter des turbulences, des tourbillons ou des pulsations de pression, en un flux laminaire ou quasi laminaire régulier, tout en minimisant les pertes à l'entrée. Les tuyères en alliage de tungstène sont généralement dotées d'une entrée évasée ou à expansion progressive munie d'ailettes directrices. La paroi interne, polie miroir, présente une coaxialité extrêmement élevée afin de supprimer le décollement de la couche limite et la formation d'allées tourbillonnaires. Dans les tuyères de projection de flamme supersonique et de jet d'eau haute pression, l'entrée intègre souvent une chambre de stabilisation de pression poreuse ou un redresseur en nid d'abeilles pour lisser davantage les fluctuations de pression et garantir un flux parfaitement uniforme au niveau du col. La haute densité de l'alliage de tungstène et son inertie intrinsèque jouent un rôle crucial à cet égard, assurant une quasi-absence de micro-vibrations dans la section d'entrée lors du recul à grande vitesse et garantissant ainsi la stabilité à long terme de la direction du jet par rapport à la source.

Le canal d'écoulement est l'élément central de la tuyère, subdivisé fonctionnellement en section de convergence et col. La section de convergence utilise une courbe lisse et continue (généralement un polynôme du cinquième degré ou une spirale logarithmique) pour convertir efficacement l'énergie de pression statique en énergie cinétique. Le coefficient de dilatation thermique extrêmement faible et l'excellente stabilité dimensionnelle de l'alliage de tungstène garantissent que le contour de la section de convergence ne se déforme quasiment pas sous haute température ou ultra-haute pression, assurant ainsi la précision de la conception du gradient d'accélération. Le col, section la plus étroite, abrite la surface

COPYRIGHT AND LEGAL LIABILITY STATEMENT

sonique de la tuyère supersonique. Son diamètre et sa circularité déterminent directement la vitesse et le débit massique du jet. Le col des tuyères en alliage de tungstène est généralement fabriqué par une combinaison de formage intégral, de rectification de précision et de finition laser, afin de garantir des tolérances de diamètre et des erreurs de circularité micrométriques, et une rugosité de surface quasi-miroir, réduisant ainsi la résistance à l'écoulement et le bruit de turbulence à des niveaux théoriques. Parallèlement, la gorge est la zone la plus exposée à l'érosion, à la cavitation, aux chocs thermiques et à l'oxydation. Les propriétés combinées de l'alliage de tungstène — dureté et ténacité élevées, et résistance au ramollissement à haute température — lui permettent de conserver sa géométrie initiale même après des dizaines de milliers d'impacts de particules ou des milliers d'heures d'érosion par flamme à haute température, surpassant de loin tous les matériaux traditionnels.

Dans les tuyères subsoniques, la section de sortie sert principalement à rectifier et à réduire la pression. Dans les tuyères supersoniques, elle constitue la section de détente de Laval, chargée d'accélérer davantage le flux d'air déjà supersonique au niveau du col jusqu'à deux, voire trois fois la vitesse du son, tout en contrôlant simultanément l'angle de divergence du jet et l'uniformité de sa vitesse. La paroi interne de la section de détente des tuyères en alliage de tungstène est polie miroir et respecte scrupuleusement la courbe de détente isentropique ; la moindre irrégularité peut induire des ondes de choc, entraînant une perte d'énergie et une divergence du jet. La face d'extrémité de la tuyère est souvent conçue avec une arête vive ou une structure à paroi mince chanfreinée afin de réduire les turbulences à la sortie et d'empêcher l'accumulation de particules ou de gouttelettes en fusion et la formation de nodules. Certaines tuyères haut de gamme intègrent également un rideau d'air ou un anneau de refroidissement au bord extérieur de la sortie pour limiter davantage l'oxydation et la divergence causées par l'entraînement d'air ambiant par le jet.

Les trois modules principaux — entrée, canal d'écoulement et sortie — sont formés d'une seule pièce ou assemblés avec précision pour former un ensemble d'une grande rigidité, grâce à la haute résistance et à l'usinabilité de précision de l'alliage de tungstène. Ceci garantit que le canal d'écoulement interne conserve sa forme initiale même sous l'effet de forces de réaction axiales considérables, de contraintes thermiques radiales et de vibrations. Cette caractéristique structurelle, synonyme de « grande fidélité de l'entrée à la sortie », est la garantie fondamentale d'un débit de jet stable, efficace et précis sur le long terme pour les buses en alliage de tungstène, et représente une différence essentielle que les buses fabriquées avec des matériaux ordinaires ne peuvent égaler.

2.1.2 Paramètres structurels des buses en alliage de tungstène

tungstène constituent les variables essentielles qui déterminent la vitesse du jet, les caractéristiques d'écoulement, l'angle de divergence, l'efficacité énergétique et la durée de vie de la buse elle-même. Ces paramètres ne sont pas fixés arbitrairement, mais déterminés par des calculs précis, des simulations itératives et une vérification expérimentale approfondie, en s'appuyant sur la théorie de la mécanique des fluides, les limites de tolérance des matériaux et les objectifs spécifiques du procédé. La haute résistance, la dureté élevée, le faible coefficient de dilatation thermique et l'excellente usinabilité des alliages de tungstène permettent de reproduire avec une extrême précision ces paramètres théoriquement optimaux,

COPYRIGHT AND LEGAL LIABILITY STATEMENT

Copyright© 2024 CTIA All Rights Reserved
标准文件版本号 CTIAQCD-MA-E/P 2024 版
www.ctia.com.cn

电话/TEL: 0086 592 512 9696
CTIAQCD-MA-E/P 2018-2024V
sales@chinatungsten.com

assurant ainsi un champ d'écoulement quasi idéal et une conservation géométrique maximale en conditions réelles d'utilisation.

2.1.2.1 Paramètres d'orifice des buses en alliage de tungstène

Les paramètres de l'orifice comprennent principalement la relation entre le diamètre d'entrée, le diamètre minimal du col et le diamètre de sortie. Parmi ceux-ci, le diamètre du col est la variable de contrôle la plus critique et la plus sensible. Il détermine directement le débit massique, le taux de compression critique et la vitesse finale du jet. C'est également la partie de la buse qui subit le plus d'érosion, de cavitation et de chocs thermiques. Le choix du diamètre du col nécessite de trouver un équilibre optimal entre les exigences du procédé (telles que l'épaisseur de coupe, le taux de dépôt du revêtement et la largeur de nettoyage) et les tolérances du matériau : un diamètre trop petit entraînera un débit insuffisant, une pression excessive et une cavitation accrue ; un diamètre trop grand entraînera une diminution de la vitesse du jet, une réduction de l'utilisation de l'énergie et une distribution de l'érosion trop dispersée.

fabrication des buses en alliage de tungstène repose généralement sur un fromage monobloc suivi d'un meulage, d'un rodage ou d'un polissage interne de précision. La rondeur, la cylindricité et la rugosité de surface atteignent des niveaux micrométriques, voire submicrométriques, dépassant largement les limites de traitement des matériaux traditionnels. Cette gorge de très haute précision garantit une distribution de vitesse très uniforme du jet sur toute sa section transversale, prévenant ainsi la formation prématurée de cavités de cavitation et l'élargissement de l'orifice dus à une survitesse localisée. Parallèlement, la densité et la ténacité élevées des alliages de tungstène confèrent à la gorge une résistance exceptionnelle à la déformation. Même sous une exposition prolongée à des jets d'eau à ultra-haute pression ou à des flux d'air à grande vitesse contenant des particules dures, le diamètre de la gorge varie extrêmement lentement, assurant ainsi la constance des paramètres du jet et la stabilité du processus pendant des milliers d'heures.

Le rapport entre le diamètre d'entrée et le diamètre de col détermine la capacité de récupération de pression et le risque de décollement de l'écoulement dans la section de contraction, tandis que le rapport entre le diamètre de sortie (diamètre à l'extrémité de la section d'expansion pour les tuyères supersoniques) et le diamètre de col détermine le taux d'expansion et le nombre de Mach final. Les tuyères en alliage de tungstène, grâce à un usinage CNC de haute précision et à une mesure optique en ligne, garantissent que les rapports de ces trois composants respectent scrupuleusement les valeurs de conception, permettant ainsi un contrôle total de la position et de l'intensité de l'onde de choc et de la longueur de la zone centrale du jet. Ce contrôle extrême des paramètres de l'orifice est fondamental pour que les tuyères en alliage de tungstène atteignent des vitesses de particules ultra-elevées en projection thermique, des fentes extrêmement étroites en jet d'eau et des faisceaux de poudre extrêmement fins en alimentation de poudre.

2.1.2.2 Paramètres d'angle de cône des buses en alliage de tungstène

Les paramètres d'angle de cône concernent principalement les angles de cône des sections de contraction et d'expansion, qui déterminent conjointement le gradient d'accélération de l'écoulement, la structure de l'onde de choc et les caractéristiques de divergence du jet. L'angle de cône de contraction influe sur l'efficacité de la conversion de l'énergie de pression en énergie cinétique et sur la tendance au décollement

COPYRIGHT AND LEGAL LIABILITY STATEMENT

de la couche limite entre l'entrée et le col ; l'angle de cône d'expansion détermine l'uniformité de l'expansion de l'écoulement supersonique, l'intensité de l'onde de choc et la distribution de la vitesse de sortie. Un angle de contraction trop important entraîne un décollement de l'écoulement et des pertes d'énergie, tandis qu'un angle trop faible conduit à une tuyère trop longue et à une concentration de la chaleur. Un angle d'expansion trop important produit une onde de choc de sur-expansion et une divergence du jet, tandis qu'un angle trop faible entraîne une expansion insuffisante et une sous-utilisation du potentiel de vitesse.

tungstène sont généralement conçues à partir de la théorie des écoulements isentropiques unidimensionnels, combinée à une optimisation par simulation CFD tridimensionnelle. L'écart minimal du profil de la surface interne du cône est obtenu grâce à un usinage cinq axes de haute précision et à un contrôle par balayage laser. Le coefficient de dilatation thermique extrêmement faible et la stabilité dimensionnelle à haute température des alliages de tungstène garantissent que l'angle du cône prévu reste pratiquement inchangé sur une large plage de températures de fonctionnement, de la température ambiante à plusieurs milliers de degrés Celsius. Ceci assure une prévisibilité à long terme de la position de l'onde de choc et de la structure du jet. En particulier, dans les buses de projection à flamme supersonique et de projection à froid, même de faibles écarts dans l'angle du cône de la section d'expansion peuvent entraîner une dispersion importante de la vitesse des particules et de la distribution de température. La précision d'usinage et la stabilité du matériau des buses en alliage de tungstène minimisent cette dispersion, garantissant ainsi une densité de revêtement et une adhérence optimales.

De plus, les buses en alliage de tungstène utilisent souvent des angles de cône variables ou des microstructures dans la section d'expansion afin de limiter davantage le décollement de la couche limite, d'optimiser l'uniformité de la vitesse et de réduire le bruit. La réalisation de ces courbes d'angle de cône complexes repose entièrement sur l'excellente usinabilité de précision et la grande rigidité des alliages de tungstène. C'est précisément ce contrôle extrêmement précis et le maintien à long terme des paramètres de diamètre d'orifice et d'angle de cône qui permettent aux buses en alliage de tungstène d'atteindre une quasi-parfaite adéquation entre la théorie et la pratique dans les environnements d'écoulement les plus exigeants, ce qui en fait la référence en matière de performances pour les procédés de jet haute performance.

2.1.2.3 Paramètres de longueur des buses en alliage de tungstène

La longueur est la troisième variable dimensionnelle dans la conception des tuyères en alliage de tungstène, aussi importante que le diamètre de l'orifice et l'angle du cône. Elle comprend la longueur de la section de contraction, la longueur de la section droite du col, la longueur de la section d'expansion et la longueur totale de la tuyère. Le choix de la longueur ne se résume pas à un simple allongement ou raccourcissement arbitraire ; il résulte plutôt du couplage de plusieurs champs : mécanique des fluides, conduction thermique et distribution des contraintes. Une section de contraction trop courte provoque l'entrée de l'écoulement dans le col avant son développement complet, entraînant la formation de tourbillons de décollement et des pertes d'énergie ; une section d'expansion trop courte induit une expansion insuffisante et une libération incomplète du potentiel de vitesse ; une section d'expansion trop longue engendre des pertes par frottement accrues et une accumulation de chaleur, rendant la structure

COPYRIGHT AND LEGAL LIABILITY STATEMENT

de l'onde de choc incontrôlable. La longueur de la section droite du col détermine directement la stabilité de la surface sonique et l'apparition d'ondes de choc prématurées.

tungstène permettent de maintenir ces longueurs théoriquement optimales avec une précision millimétrique sur une plage de températures extrêmes, de la température ambiante à plusieurs milliers de degrés Celsius, et de la pression atmosphérique à plusieurs centaines de mégapascals. Les buses en matériaux ordinaires subissent souvent une dérive de longueur sous haute température ou haute pression en raison de la déformation thermique ou de la plasticité, ce qui provoque l'effondrement instantané du champ d'écoulement soigneusement conçu. Les buses en alliage de tungstène, en revanche, considèrent les paramètres de longueur comme de véritables constantes. Dans les buses de projection de flamme supersonique, la longueur de la section d'expansion détermine si le temps de séjour des particules dans la zone de haute température et de grande vitesse atteint l'état de fusion optimal ; dans les buses à jet d'eau haute pression, la longueur de la section droite au niveau du col détermine si le point d'effondrement de la bulle de cavitation est éloigné de l'entrée du col, zone la plus vulnérable ; dans les buses d'injection de poudre laser, l'adéquation de la longueur totale avec la chambre de mélange poudre-gaz détermine si le faisceau de poudre est focalisé avec précision au sein du point focal du laser. C'est précisément la fidélité de la durée de vie ultra-longue des alliages de tungstène dans le maintien des paramètres de longueur qui étend la fenêtre de ces processus critiques de « dizaines de minutes » à « des milliers d'heures », réalisant ainsi véritablement le saut du laboratoire à l'industrialisation.

2.1.2.4 Conception collaborative multiparamètre de buses en alliage de tungstène

Les buses modernes en alliage de tungstène ont depuis longtemps dépassé l'ère du réglage rudimentaire de paramètres isolés pour entrer dans une phase d'optimisation collaborative globale intégrant sept dimensions : l'ouverture, l'angle du cône, la longueur, la rugosité de surface, la rondeur du col, la formulation du matériau et le revêtement de surface. Le processus de conception débute généralement par l'établissement d'un cadre initial basé sur la théorie des écoulements isentropiques unidimensionnels. S'ensuit une modélisation précise de la couche limite et de l'interaction avec l'onde de choc par simulation numérique des fluides (CFD) visqueuse tridimensionnelle, puis la vérification de la déformation à haute température et de la distribution des contraintes par la méthode des éléments finis couplés thermo-structurels. Enfin, l'optimisation topologique et l'apprentissage automatique permettent d'optimiser globalement des milliers de combinaisons de paramètres jusqu'à l'obtention d'une géométrie unique. Cette géométrie offre la vitesse de jet la plus élevée, l'angle de divergence le plus faible, la densité de flux thermique à la paroi du col la plus basse et la durée de vie globale la plus longue pour une puissance et une taille de particules ou de gouttelettes données.

Seuls les alliages de tungstène permettent d'atteindre des résultats de conception collaborative aussi complexes : ils offrent aux concepteurs la possibilité d'adopter des rapports d'aspect ultra-fins, des épaisseurs de paroi ultra-minces, des surfaces coniques à courbure variable et des microstructures de surface internes, tout en préservant l'intégrité de toutes les caractéristiques à l'échelle micrométrique pendant des milliers d'heures en conditions réelles d'utilisation. Ainsi, une même buse peut découpler la vitesse des particules, réduire de près de moitié la largeur de coupe du jet d'eau, augmenter l'utilisation de l'alimentation en poudre de plus de 30 % et multiplier par cinq à dix la durée de vie d'une buse, le tout

COPYRIGHT AND LEGAL LIABILITY STATEMENT

à consommation d'énergie identique. Cette révolution de la conception, passant d'une approche empirique à une prédiction précise, est le moteur fondamental des performances exceptionnelles des buses en alliage de tungstène et le facteur clé du dépassement constant des limites des procédés de fabrication de pointe.

2.1.3 Types structurels de buses en alliage de tungstène

tungstène se répartissent en huit grandes familles structurelles : à orifice droit, à effet Venturi, à section variable (type Laval), à plusieurs étages (type Laval), à alimentation coaxiale en poudre, à dérivation multi-orifices et en forme d'éventail/plate. Chaque type correspond à une forme de jet et à une application spécifiques, et tous reposent sur la haute précision et la grande durabilité des matériaux en alliage de tungstène .

2.1.3.1 Buse en alliage de tungstène à orifice droit

Les buses en alliage de tungstène à orifice droit sont les plus simples de par leur structure, mais les plus difficiles à fabriquer. Leurs canaux d'écoulement sont des trous cylindriques de diamètre constant ou présentant une conicité très légère, sans structures de contraction-expansion apparentes. Elles reposent entièrement sur la haute pression en amont pour former directement un jet à grande vitesse. Parmi les applications typiques, on trouve les buses de découpe à l'eau pure ultra-haute pression, les buses d'injection à rampe commune diesel, certaines buses de nettoyage plasma basse pression et les buses de nettoyage haute pression en forme d'éventail.

L'orifice droit, d'apparence simple, impose des exigences quasi obsessionnelles aux matériaux et aux procédés : son diamètre ne doit pas se déformer pendant des dizaines de milliers d'heures, sa paroi interne doit être parfaitement lisse et exempte de cavitation, et sa face d'extrémité doit être nette et strictement perpendiculaire à l'axe ; à défaut, le jet divergera, déviera ou deviendra discontinu. Les alliages de tungstène, notamment le système tungstène-nickel-cuivre, grâce à leur résistance inégalée à la cavitation et à la corrosion, leur haute ténacité et leur stabilité dimensionnelle, sont devenus les matériaux de référence pour les buses à orifice droit. Leur fabrication combine le pressage isostatique à froid, le perçage profond en plusieurs étapes, le rodage au diamant, le polissage par écoulement et la finition laser de précision, permettant d'atteindre des tolérances de diamètre, de cylindricité et de rugosité de surface de l'ordre du micron, voire du submicron.

Dans le domaine de la découpe à l'eau pure à ultra-haute pression, les buses en alliage de tungstène à orifice droit garantissent la constance de la largeur de coupe et de l'état de surface, même après des milliers d'heures d'utilisation. Dans les systèmes d'injection diesel à rampe commune, elles assurent l'absence d'accumulation de carbone et de dilatation de l'orifice, maintenant ainsi un rapport air/carburant optimal. Pour le nettoyage haute pression des navires et des pales d'éoliennes, les buses en alliage de tungstène à orifice droit et à profil en éventail, grâce à leur force d'impact extrêmement uniforme et à leur maintenance quasi inexistante, ont révolutionné l'efficacité et la sécurité des travaux offshore. Alliant fiabilité optimale et simplicité d'utilisation, les buses en alliage de tungstène représentent une réussite incontestable dans les conditions les plus exigeantes.

COPYRIGHT AND LEGAL LIABILITY STATEMENT

Copyright© 2024 CTIA All Rights Reserved
标准文件版本号 CTIAQCD-MA-E/P 2024 版
www.ctia.com.cn

电话/TEL: 0086 592 512 9696
CTIAQCD-MA-E/P 2018-2024V
sales@chinatungsten.com

2.1.3.2 Buse conique en alliage de tungstène

Les buses coniques en alliage de tungstène, également appelées buses Venturi ou buses convergentes à cône unique, se caractérisent par un flux conique à conicité continue de l'entrée à la sortie. Dépourvues de section de gorge et de section d'expansion, elles permettent au jet d'atteindre sa vitesse maximale directement à la sortie. Cette structure est prédominante dans les buses abrasives pour jets d'eau haute pression, les buses de projection à froid supersoniques et certaines sections de pré-accélération pour la projection plasma. La conception conique assure une accélération constante du flux, comprimant continuellement l'épaisseur de la couche limite et minimisant les pertes par frottement et les risques de décollement. De plus, leur structure extrêmement compacte, leur procédé de fabrication relativement simple et leur résistance mécanique exceptionnelle les rendent idéales pour les applications à très haute pression et en conditions de fort recul.

L'utilisation d'alliages de tungstène dans les buses coniques est optimisée : seule la rigidité et l'usinabilité de précision élevées de ces alliages permettent de répondre aux exigences de précision et de longue durée de vie des surfaces coniques continues. Dès que l'angle du cône s'écarte de la valeur nominale, en raison d'une déformation thermique ou de l'usure, la vitesse du jet et ses caractéristiques de focalisation s'effondrent. En revanche, le coefficient de dilatation thermique extrêmement faible et la résistance à l'érosion des alliages de tungstène garantissent le maintien du profil du cône pendant des milliers d'heures. Dans le domaine de la découpe au jet d'eau abrasif, les buses coniques en alliage de tungstène doivent résister aux contraintes du coup de bâlier à très haute pression et des particules de grenat. Alors que les buses classiques en carbure cémenté présentent souvent un élargissement de la saignée et un évasement après quelques centaines d'heures, les buses en alliage de tungstène conservent un angle de cône et un diamètre de sortie quasi constants, optimisant ainsi la précision de coupe et la durée de vie de la buse en saphir. Dans la section de pré-accélération par projection à froid, la buse conique en alliage de tungstène, grâce à son état de surface extrêmement précis et à sa stabilité dimensionnelle, garantit une distribution de vitesse initiale très uniforme des particules avant leur entrée dans la section de chauffage, assurant ainsi une préparation optimale pour l'impact supersonique ultérieur. Cette buse conique en alliage de tungstène offre un équilibre parfait entre efficacité d'écoulement et robustesse structurelle grâce à une géométrie d'apparence simple, ce qui en fait la structure classique la plus fiable et économique sous ultra-haute pression et en conditions d'abrasion extrême.

2.1.3.3 Buse en alliage de tungstène en forme d'éventail

à fente , également appelées buses à fente plate ou buses à fente étroite, possèdent une sortie non circulaire, mais plutôt une fente rectangulaire ou elliptique étroite. Le jet forme une surface mince et large en forme d'éventail. Elles sont principalement utilisées pour le nettoyage haute pression de grandes surfaces, le décalaminage continu de plaques d'acier, le nettoyage des toiles de papeterie , le prétraitement des surfaces automobiles avant peinture et le rinçage des surfaces dans l'industrie agroalimentaire. Le principal défi des buses à fente réside dans l'obtention simultanée d'une force d'impact uniforme, d'une largeur de couverture stable, de bords non divergents et d'une résistance extrême au colmatage, le tout dans une fente de sortie extrêmement fine. Ces défis sont presque entièrement déterminés par les propriétés des matériaux.

COPYRIGHT AND LEGAL LIABILITY STATEMENT

Les alliages de tungstène, notamment le système tungstène-nickel-cuivre, grâce à leur résistance mécanique et à leur résistance à la cavitation exceptionnelles, permettent de réaliser des parois de sortie de fente extrêmement fines sans risque d'affaissement ni de déformation. La finition miroir des parois internes et la netteté des bords de sortie garantissent un recouvrement précis et uniforme, sans effet « oreille de chat » (épaisseur au centre, épaisseur sur les bords). L'excellente résistance à la corrosion prévient la corrosion par piqûres et la corrosion caverneuse dans les environnements chimiques agressifs tels que les lignes de décapage, les lignes de lavage alcalines et le traitement antirouille à l'eau de mer. La fabrication fait généralement appel à un procédé composite : usinage par électroérosion à fil de précision pour former la fente, rectification CNC multiaxes pour la finition du tranchant et polissage par fluage pour le polissage de la paroi interne. Les tolérances de largeur et de parallélisme des fentes atteignent le micromètre, surpassant largement les limites d'usinage de l'acier inoxydable et du carbure cémentation.

Dans le domaine du nettoyage haute pression pour les navires et les éoliennes offshore, la buse en alliage de tungstène en forme d'éventail, grâce à son extrême uniformité de force d'impact et à son taux d'encrassement quasi nul, multiplie par plusieurs fois l'efficacité des opérations réalisées par une seule personne, révolutionnant ainsi les possibilités d'élimination de la rouille et de la peinture en mer. Lors du décalaminage avant laminage à froid de l'acier, cette buse maintient un niveau de décalaminage constant et optimal, réduisant significativement la quantité d'acide nécessaire aux lavages ultérieurs et les émissions d'acides résiduaires. Sur les lignes de nettoyage des industries agroalimentaires et pharmaceutiques, ses propriétés non toxiques, sa résistance aux désinfectants et son caractère inoxydable répondent aux exigences de propreté les plus strictes. La buse en alliage de tungstène en forme d'éventail offre une couverture maximale grâce à son bord de coupe ultra-fin et un impact ultra-doux grâce à sa matière extrêmement résistante, constituant ainsi la solution idéale pour un nettoyage performant, durable et à grande échelle.

2.1.3.4 Autres buses en alliage de tungstène à structure spéciale

Outre les trois structures classiques à trou droit, conique et en forme d'éventail, les buses en alliage de tungstène ont également développé un grand nombre de structures spéciales pour des conditions de travail extrêmes ou complexes, chacune représentant une nouvelle avancée dans les limites des matériaux et des procédés.

La buse d'alimentation en poudre coaxiale est l'élément central du rechargement laser et de la fabrication additive. Sa structure annulaire emboîtée comprend un anneau extérieur de gaz propulseur, un anneau intérieur de gaz protecteur et un canal optique central. L'alliage de tungstène garantit la précision de focalisation du faisceau de poudre et une excellente résistance à l'adhérence grâce à une coaxialité et une planéité des parois internes extrêmement élevées, assurant ainsi la stabilité du bain de fusion et une précision de formage en une seule passe de l'ordre du micron. La buse à trous multiples est utilisée pour la projection thermique sur de grandes surfaces et l'atomisation multi-trajets. Des dizaines, voire des centaines, de micro-trous de Laval sont disposés avec précision sur une même face d'extrémité. Grâce à sa haute densité et à sa grande rigidité, l'alliage de tungstène garantit la stabilité de l'espacement et de l'orientation des trous pendant des milliers d'heures.

COPYRIGHT AND LEGAL LIABILITY STATEMENT

Copyright© 2024 CTIA All Rights Reserved
标准文件版本号 CTIAQCD-MA-E/P 2024 版
www.ctia.com.cn

电话/TEL: 0086 592 512 9696
CTIAQCD-MA-E/P 2018-2024V
sales@chinatungsten.com

Les buses rotatives, équipées de buses en alliage de tungstène montées sur un arbre rotatif à grande vitesse, permettent un nettoyage ou un revêtement à 360° sans zones d'ombre. Elles sont couramment utilisées pour le décapage de la rouille à l'intérieur des canalisations et la pulvérisation à l'intérieur des réservoirs de stockage. La haute résistance mécanique et à l'usure des alliages de tungstène leur confère une stabilité géométrique sous l'effet de la force centrifuge bien supérieure à celle de tout autre matériau. Les buses à cône creux et plein sont utilisées dans les tours de refroidissement, la désulfuration des gaz de combustion et la pulvérisation de fluides de coupe de précision. Grâce à leur résistance à la corrosion et à l'entartrage, les alliages de tungstène garantissent un rideau de brouillard conique uniforme et constant sur le long terme.

Les buses composites à deux ou trois canaux assurent une coaxialité et un mélange parfaits d'eau, d'abrasif, de gaz ou de poudre, de gaz vecteur et de faisceau lumineux au sein d'une seule buse en alliage de tungstène. Il s'agit actuellement du type de structure le plus complexe, exigeant des propriétés complètes des alliages de tungstène pour répondre à des exigences élevées en matière de coaxialité, de stabilité thermique et de résistance à l'érosion. Ces buses en alliage de tungstène à structure spécifique ne sont plus de simples générateurs de jets, mais de véritables systèmes miniatures intégrant un couplage multiphysique, une transmission multimédia précise et un fonctionnement collaboratif multiprocessus. Elles repoussent les limites de performance des alliages de tungstène et hissent les capacités humaines en ingénierie de surface et en fabrication de précision à de nouveaux sommets. Chaque structure unique représente une réponse précise des matériaux en alliage de tungstène à des défis industriels spécifiques et incarne la parfaite adéquation entre la science des matériaux et les besoins de l'ingénierie.

2.1.4 Caractéristiques structurelles dérivées des buses en alliage de tungstène

Les buses en alliage de tungstène doivent leur succès non seulement à leur géométrie, mais aussi à une série de caractéristiques clés découlant de leur structure précise et stable. Ces caractéristiques, en apparence « substances », sont en réalité déterminantes pour la qualité du revêtement, la précision de coupe, la granulométrie d'atomisation, l'efficacité du nettoyage et la rentabilité globale. C'est précisément parce que les alliages de tungstène permettent de figer tous les paramètres structurels rigides, tels que l'entrée, le canal d'écoulement, la sortie, le diamètre de l'orifice, l'angle du cône et la longueur, même dans des conditions de fonctionnement extrêmes, que des indicateurs subjectifs comme la stabilité de l'écoulement, l'uniformité de l'atomisation, la directionnalité du jet et le taux d'utilisation de l'énergie passent d'une conformité occasionnelle à une conformité constante aux normes.

2.1.4.1 Stabilité de l'écoulement induite par la structure du canal d'écoulement

La stabilité du flux est essentielle à tous les procédés de projection. Qu'il s'agisse du taux de dépôt de poudre en projection thermique, de la vitesse de découpe des jets d'eau haute pression, de l'épaisseur de passe unique du recharge laser ou du volume de carburant injecté dans les systèmes d'injection directe diesel à rampe commune, toute fluctuation de flux, à court ou à long terme, entraîne directement des écarts de qualité du produit ou une perte de contrôle du procédé. La stabilité de flux quasi parfaite des buses en alliage de tungstène, même dans les conditions de fonctionnement les plus extrêmes, repose sur la précision extrême de la structure de leurs canaux d'écoulement au niveau du matériau.

COPYRIGHT AND LEGAL LIABILITY STATEMENT

Dans les canaux d'écoulement Laval ou Venturi classiques, le débit est déterminé par la section de passage et les paramètres de stagnation en amont. Théoriquement, le débit reste constant tant que le diamètre et la circularité du passage demeurent inchangés. Avec des buses en matériaux ordinaires, sous l'effet de l'érosion particulaire à haute température, de la cavitation à très haute pression ou d'un choc thermique, le passage subit un élargissement, une elliptisation ou une corrosion superficielle en quelques dizaines de minutes, entraînant une augmentation continue du débit et une défaillance du contrôle du procédé. À l'inverse, les buses en alliage de tungstène, grâce à leur dureté ultra-elevée, leur résistance à la cavitation, leur résistance au ramollissement à haute température et leur coefficient de dilatation thermique extrêmement faible, conservent une section de passage pratiquement constante pendant des milliers d'heures, supprimant les fluctuations de débit en dessous du seuil de détection. Parallèlement, la paroi interne de qualité miroir et l'angle de cône précis garantissent le maintien de la couche limite dans son état nominal, éliminant les pulsations de débit instantanées causées par des tourbillons de séparation localisés.

En projection thermique supersonique, cette stabilité d'écoulement se traduit directement par une grande constance entre la vitesse de vol des particules et la température des lots, réduisant considérablement la dispersion de la porosité du revêtement et l'adhérence. En découpe continue au jet d'eau haute pression, elle garantit une largeur de coupe et une rugosité de surface parfaitement homogènes sur toute la tôle, de la première à la dernière passe. En recharge laser longue distance, elle contrôle les fluctuations d'épaisseur des cordons de soudure sur des centaines de mètres avec une précision micrométrique. La stabilité d'écoulement n'est plus une question de « mieux que de faire », mais une « inévitable », signe fondamental que les buses en alliage de tungstène sont passées du statut de simples consommables à celui d'élément central du procédé.

2.1.4.2 Influence de la précision structurale sur l'effet d'atomisation

L'effet d'atomisation (distribution granulométrique, rondeur des particules, uniformité spatiale) est l'objectif ultime de procédés tels que l'injection de carburant, la préparation de poudres métalliques, le séchage par pulvérisation de médicaments, l'alimentation en poudre pour le recharge laser et l'alimentation par projection thermique. Cet effet d'atomisation ne dépend pas des impacts ou du cisaillement en aval, mais de la précision absolue du contrôle de la structure de la buse sur les gouttelettes initiales ou le mélange poudre-gaz.

Dans les systèmes d'injection diesel à rampe commune et les injecteurs à gaz, la précision géométrique de l'orifice ou de la fente de l'injecteur détermine directement le point de rupture du film liquide et l'uniformité de la séparation des gouttelettes. Les injecteurs en alliage de tungstène, grâce à leurs tolérances d'ouverture micrométriques, leur rugosité de surface submicronique et leurs bords de sortie nets et sans bavures, garantissent une épaisseur de film liquide parfaitement adaptée à la longueur d'onde de rupture. Il en résulte une distribution granulométrique extrêmement étroite et une sphéricité très élevée, favorisant une combustion plus complète, des émissions plus propres et une sphéricité de la poudre quasi parfaite. Dans le recharge laser à alimentation coaxiale en poudre, la coaxialité du trajet annulaire de la poudre et du trajet du gaz, l'état de surface de la surface conique et la circularité du col de l'injecteur en alliage de tungstène déterminent le diamètre de focalisation et la distribution de densité du faisceau

COPYRIGHT AND LEGAL LIABILITY STATEMENT

de poudre. Le moindre écart peut entraîner une surchauffe localisée ou un manque de poudre dans le bain de fusion. La précision structurelle non dérivante de l'alliage de tungstène, obtenue sur des milliers d'heures, garantit que le diamètre du point focal du faisceau de poudre coïncide parfaitement avec le point focal du laser, permettant d'obtenir en une seule passe une ondulation de surface de niveau forgeage et une qualité métallurgique interne.

Dans les procédés de séchage par pulvérisation pharmaceutique et d'atomisation de parfums, les buses d'atomisation à double fluide ou sous pression en alliage de tungstène, grâce à leurs cols non expansibles et leurs parois internes anti-entartrage, garantissent une distribution granulométrique parfaitement homogène d'un lot à l'autre. Ceci assure une excellente reproductibilité du taux d'enrobage et de la courbe de libération des principes actifs pharmaceutiques. En pulvérisation à flamme supersonique et en pulvérisation à froid, la précision structurelle, en contrôlant l'écoulement diphasique gaz-solide, détermine l'uniformité de la vitesse et de la température des particules, et par conséquent la densité d'enrobage et la distribution des contraintes résiduelles. La précision structurelle n'est plus une simple tolérance de fabrication, mais un facteur déterminant qui influe directement sur les performances du produit final. Les buses en alliage de tungstène transforment la « fidélité structurelle à l'échelle micrométrique » en un « contrôle de l'atomisation à l'échelle micrométrique », libérant ainsi les ingénieurs de procédés de l'incertitude liée à la constance des lots pour une approche déterministe : « la conception est la garantie du résultat ». C'est là le principal avantage en termes de procédés, fruit d'une parfaite adéquation entre matériaux et structure.

2.2.1 Rapports de composition courants et applications des alliages de tungstène pour buses

Après près de trente ans d'itérations industrielles, le système de composition des alliages de tungstène pour buses a abouti à une norme systématique, rigoureuse et bien définie. Chaque rapport n'est pas le fruit du hasard, mais une solution optimale et systématique prenant en compte la température, le type d'érosion, le milieu corrosif, l'environnement magnétique, les exigences de conductivité thermique et les contraintes budgétaires. Ces alliages partagent un principe fondamental : maintenir une teneur élevée en tungstène pour garantir la continuité de la structure dure et la résistance à l'usure, tout en optimisant les performances selon différents paramètres grâce à un contrôle précis du type et de la proportion de liant. Il en résulte une gamme complète : « tungstène à haute teneur en tungstène → tungstène-nickel-fer → tungstène-nickel-cuivre → personnalisation spéciale », couvrant l'ensemble des conditions de travail, du nettoyage conventionnel à la projection plasma extrême.

L'ingéniosité de ce système de formulation réside dans sa capacité à transformer des exigences de performance apparemment contradictoires en variables maîtrisables : pour maximiser la dureté et la résistance à l'érosion, la teneur en tungstène est augmentée tandis que la phase liante est minimisée ; pour équilibrer la résistance à haute température et la conductivité thermique, un liant nickel-fer est utilisé et le rapport fer-nickel est optimisé ; pour une amagnétisme total et une résistance à la corrosion extrême, le nickel-cuivre est entièrement remplacé par du nickel ; pour repousser les limites existantes, du molybdène, du rhénium, du cobalt, des terres rares ou des particules de seconde phase sont introduits pour le micro-alliage. Chaque formulation repose sur une analyse précise des modes de défaillance, une validation industrielle à long terme et une chaîne d'approvisionnement éprouvée, garantissant ainsi que

COPYRIGHT AND LEGAL LIABILITY STATEMENT

les ingénieurs ne choisissent plus les matériaux « approximativement », mais « au gramme près, nécessairement optimaux ». C'est pourquoi, à la quasi-totalité des principaux fabricants mondiaux d'équipements de projection thermique, de découpe au jet d'eau, de rechargement laser, de systèmes à rampe commune et d'équipements plasma, ont adopté ce système de formulation comme unique norme pour leurs matériaux de buses.

2.2.1.1 Formule de base à haute teneur en tungstène (teneur en tungstène $\geq 90\%$)

La teneur élevée en tungstène constitue le fondement et la limite supérieure de l'ensemble du système de matériaux pour buses, tous les dosages ultérieurs étant basés sur cette valeur. Sa conception repose sur l'optimisation de la teneur en tungstène tout en garantissant un frittage dense, permettant ainsi aux particules de tungstène de former un squelette continu ou quasi continu. Ceci permet d'atteindre simultanément les limites physiques de la dureté, de la résistance à l'usure, de la résistance au ramollissement à haute température et de la stabilité dimensionnelle. Les buses présentant ce dosage ne subissent qu'une déformation plastique très faible, avec une perte de masse quasi nulle, même sous l'effet de l'érosion abrasive la plus sévère (par exemple, à base de diamant) ou d'un choc thermique instantané à 2 000 °C. Elles démontrent ainsi une capacité de rétention géométrique bien supérieure à celle de tout matériau traditionnel. Ce matériau est le choix idéal pour les procédés exigeants en termes de durée de vie et de précision, tels que la projection thermique supersonique, la projection à froid, la pressurisation par jet d'eau et l'alimentation en poudre par laser. Il sert également de référence en matière de performance pour les dosages ultérieurs de tungstène-nickel-fer et de tungstène-nickel-cuivre.

2.2.1.2 Proportions de l'alliage tungstène-nickel-fer

L'alliage tungstène-nickel-fer introduit une phase liante nickel-fer sur une structure à haute teneur en tungstène, offrant un équilibre parfait entre résistance, ténacité, conductivité thermique et résistance à l'oxydation à haute température, avec un rapport fer-nickel optimal. Il est actuellement la solution de référence pour les applications d'écoulement diphasique gaz-solide à haute température et à grande vitesse, détenant plus de 90 % de parts de marché dans les procédés de projection thermique supersonique, de projection plasma, de projection à l'arc à grande vitesse et les buses de chambres de combustion de turbines à gaz. La phase liante nickel-fer présente une excellente mouillabilité des particules de tungstène à haute température et une adhérence interfaciale extrêmement élevée. Simultanément, l'ajout approprié de fer améliore significativement la conductivité thermique et la résistance à haute température, permettant à la buse de dissiper rapidement la chaleur sans ramollissement ni décollement sous des températures soutenues supérieures à 1 000 °C et des températures instantanées de 2 000 °C dues à l'impact de particules, ce qui en fait le matériau de choix pour les applications à haute température.

2.2.1.3 Rapport d'alliage tungstène-nickel-cuivre

L'alliage tungstène-nickel-cuivre, où le nickel et le cuivre remplacent intégralement le fer, représente un progrès considérable en termes de démagnétisation complète et d'inertie chimique supérieure. Il constitue le seul choix légal pour les buses utilisées dans les dispositifs médicaux, les environnements hautement corrosifs, les opérations en eau de mer et les équipements électromagnétiques de précision. L'ajout de

COPYRIGHT AND LEGAL LIABILITY STATEMENT

cuivre confère à la phase liante une inertie quasi totale face aux acides, aux bases, aux embruns salins, à la chaleur humide et aux désinfectants, tandis que ses propriétés non magnétiques garantissent l'absence d'interférences lors d'examens tels que l'IRM, le PET-CT et le nettoyage par champ magnétique intense. Associées à des revêtements DLC ou CrN, les buses en tungstène-nickel-cuivre sont garanties « antirouille, anti-dilatation des orifices et anti-libération d'ions nocifs », même dans les environnements les plus extrêmes de décapage de la rouille en milieu marin et de nettoyage pharmaceutique, méritant amplement leur titre de « Reine de la propreté et de la résistance à la corrosion ».

2.2.1.4 Formulation spéciale : Personnalisée pour les conditions de travail extrêmes telles que les hautes températures et les hautes pressions.

Lorsque les formulations classiques à trois composants ne répondent pas aux exigences de certaines conditions de fonctionnement extrêmes, des formulations spéciales sont mises en œuvre. Ces formulations utilisent un micro-alliage poussé de molybdène, de rhénium, de cobalt, de tantale, de terres rares ou de particules de carbure/borure formées *in situ* afin de repousser les limites physiques des matériaux existants, notamment en termes de température de recristallisation, de résistance à la cavitation, de résistance à l'ablation par arc électrique et de résistance à l'oxydation à très haute température. Elles sont souvent utilisées dans des applications de pointe telles que l'alimentation coaxiale en poudre pour le rechargement laser haute puissance, la projection plasma à très haute température, les buses d'évacuation des eaux usées de qualité nucléaire et les chambres de combustion des statoréacteurs. Bien que coûteuses et longues à mettre en œuvre, elles permettent de surmonter les dernières limitations des formulations classiques et représentent le summum des systèmes de matériaux pour buses en alliage de tungstène, ouvrant ainsi la voie à l'avenir de ces technologies. Ce système de dosage des composants agit comme un scalpel de précision, délimitant les conditions de fonctionnement fluctuantes des buses en plusieurs plages distinctes, puis utilisant le dosage optimal pour atteindre le point critique. Il transforme le choix des matériaux, passant de l'expérience à la science, et les performances, d'une approche approximative à une performance intrinsèquement optimale, faisant des buses en alliage de tungstène le composant central le plus fiable, prévisible et performant de la chaîne de production haut de gamme.

2.2 Spécifications des matériaux de l'alliage de tungstène pour les buses

Les spécifications des matériaux pour les alliages de tungstène utilisés dans les buses ont depuis longtemps dépassé le concept rudimentaire de « plusieurs alliages », évoluant vers une « bibliothèque génétique de matériaux » de qualité industrielle extrêmement vaste, logiquement rigoureuse, clairement définie et précise au gramme près. La proportion de chaque gramme de poudre de tungstène et de chaque portion de poudre pré-alliée nickel-fer-cuivre a subi des milliers d'heures de tests industriels, d'analyses de défaillance, de vérifications de durée de vie et de comparaisons de procédés, ce qui l'a finalement consolidée en une norme inébranlable.

2.2.1 Rapports de composition courants et applications des alliages de tungstène pour buses

Dans les applications industrielles, la composition des alliages de tungstène pour buses se divise en quatre grandes familles, des dizaines de sous-séries et des centaines de variantes de réglage fin, formant une

[COPYRIGHT AND LEGAL LIABILITY STATEMENT](#)

« carte de composition » qui couvre la quasi-totalité des conditions de fonctionnement connues. Les ingénieurs n'ont qu'à renseigner un tableau à partir de six dimensions : température maximale, dureté des particules, pH du milieu, intensité du champ magnétique, exigences en matière de conductivité thermique et contact avec le corps humain. Le système fournit alors en quelques secondes une composition optimale unique et peut même prédire avec précision le pourcentage de perte de durée de vie des solutions alternatives. L'ingéniosité de ce système réside dans sa capacité à dissocier des exigences de performance initialement contradictoires (dureté vs ténacité, résistance à haute température vs conductivité thermique, résistance à la corrosion vs propriétés non magnétiques). Chaque famille est chargée de résoudre une seule contradiction majeure, les autres étant compensées par un traitement de surface ou une conception structurelle ultérieurs, permettant ainsi une optimisation globale plutôt que locale.

2.2.1.1 Formule de base à haute teneur en tungstène (teneur en tungstène $\geq 90\%$)

La forte teneur en tungstène constitue le fondement absolu et le plafond de performance de l'ensemble du système. Sa conception repose sur une philosophie d'une grande pureté : pousser la teneur en tungstène jusqu'à la limite de la porosité nulle tout en maintenant un frittage en phase liquide, ne laissant subsister qu'une très fine couche de liant liquide entre les particules de tungstène, formant ainsi un squelette de tungstène quasi continu. Cette structure confère une dureté et une résistance à l'érosion exceptionnelles : observées au microscope électronique à balayage, les particules abrasives ne peuvent que rayer superficiellement la surface, sans parvenir à détacher la moindre particule de tungstène ; à haute température, le squelette de tungstène ne subit quasiment aucune recristallisation ni migration des joints de grains, et le diamètre du col et l'angle du cône restent constants de la température ambiante à près de 2 000 °C ; enfin, la densité et la capacité thermique extrêmement élevées garantissent que la buse ne produit quasiment aucune micro-vibration lors du recul supersonique et des chocs thermiques instantanés, éliminant ainsi tout risque de tremblement du jet. Un taux élevé de tungstène est un atout majeur pour tous les procédés privilégiant la durée de vie et la précision. Ce taux est quasi systématiquement utilisé dans les buses des pistolets de projection à flamme supersonique, des pré-accelérateurs de projection à froid, des buses de surpression des jets d'eau et des buses d'alimentation de poudre coaxiales pour lasers. Il agit comme une barrière d'atomes de tungstène, protégeant des agressions les plus extrêmes en matière d'érosion et de dommages thermiques, et établissant une norme d'excellence en termes de dureté et de stabilité dimensionnelle pour toutes les formulations plus fines qui en découlent.

2.2.1.2 Proportions de l'alliage tungstène-nickel-fer

L'alliage tungstène-nickel-fer est reconnu dans l'industrie comme le « roi des hautes températures », et constitue également le rapport idéal, offrant le plus grand volume de production et la plus vaste gamme d'applications. Reposant sur une structure à haute teneur en tungstène, il utilise une phase liante nickel-fer optimisée itérativement depuis des décennies, permettant d'atteindre un équilibre quasi parfait entre résistance à haute température, conductivité thermique, résistance à l'oxydation et résistance aux chocs thermiques. L'ajout de fer améliore considérablement la résistance au ramollissement de la phase liante et sa conductivité thermique au-delà de 800 °C, permettant une évacuation rapide de la chaleur accumulée dans la gorge vers les canaux de refroidissement par eau de la paroi externe. Le nickel assure un mouillage parfait des particules de tungstène lors du frittage en phase liquide, éliminant ainsi toute

COPYRIGHT AND LEGAL LIABILITY STATEMENT

porosité interfaciale et les zones de faible adhérence. Ensemble, ces deux composants permettent à la buse de résister à des flammes à haute température et à grande vitesse contenant des particules d'oxyde de tungstène et de carbure de silicium pendant des milliers d'heures, sans dilatation significative des pores, décollement ou fissuration thermique, même sous des flammes continues à plus de 1 200 °C et des températures instantanées supérieures à 2 000 °C. Dans les lignes de projection thermique, les buses présentant ce rapport sont souvent les seules autorisées dans les paramètres de procédé permanents, car tant qu'elles ne posent pas de problèmes, la porosité, la résistance d'adhérence et l'homogénéité des lots de l'ensemble de la ligne de revêtement restent parfaitement maîtrisées. Ce rapport tungstène-nickel-fer optimal représente une synergie idéale entre la science des matériaux et les exigences de l'ingénierie des hautes températures.

2.2.1.3 Rapport d'alliage tungstène-nickel-cuivre

L'alliage tungstène-nickel-cuivre représente la solution ultime en matière de propreté et de résistance à la corrosion, résolvant de manière optimale le problème fondamental de l'absence de magnétisme et de rouille dans d'innombrables applications haut de gamme. L'introduction du cuivre réduit la vitesse de corrosion de la phase liante à un niveau quasi nul en milieux acides, alcalins, marins, salins, désinfectants et humides. Une simple passivation de la surface suffit à prévenir la corrosion par piqûres, la corrosion caverneuse et la fissuration par corrosion sous contrainte tout au long de sa durée de vie. Parallèlement, la combinaison de cuivre et de nickel confère à la buse une susceptibilité magnétique presque identique à celle des alliages de titane, garantissant ainsi l'absence de génération de chaleur par courants de Foucault et de déviation de trajectoire, même dans des champs magnétiques intenses supérieurs à 3 T. Associée à des revêtements DLC, CrN ou en carbone amorphe, la buse en tungstène-nickel-cuivre présente un coefficient de frottement si faible que les poudres et les gouttelettes ne peuvent y adhérer, préservant ainsi l'éclat et l'aspect neuf de sa paroi interne. Dans les opérations de décapage de la rouille des pales d'éoliennes offshore, il garantit que la buse ne se dilate pas même après des milliers d'heures d'exposition à des embruns salés, à une forte humidité et à une pression ultra-élevée ; dans les lignes de nettoyage des équipements pharmaceutiques et alimentaires, il répond aux exigences les plus strictes en matière de biocompatibilité et de stérilisation ; dans le domaine des buses de revêtement de stents à élution médicamenteuse compatibles avec l'IRM, il est le seul matériau à avoir été approuvé à la fois par la FDA et la CFDA.

2.2.1.4 Formulation spéciale : Personnalisée pour les conditions de travail extrêmes telles que les hautes températures et les hautes pressions.

Lorsque les proportions classiques à trois composants ne permettent pas de répondre pleinement à certaines conditions de travail exigeantes, des proportions spéciales entrent en jeu. Ces proportions ne se contentent plus d'être « suffisantes », mais repoussent les limites physiques : l'ajout de molybdène et de rhénium porte la température de recristallisation et la résistance au fluage à haute température aux limites des matériaux métalliques existants ; l'ajout de cobalt et de terres rares accroît la résistance des joints de grains et la résistance à la cavitation et au pelage d'un ordre de grandeur ; l'ajout d'une proportion spécifique de cuivre et le contrôle précis de l'atmosphère de frittage permettent de créer une version thermique supraconductrice, de sorte que la densité de flux thermique au niveau du col soit proche de la

COPYRIGHT AND LEGAL LIABILITY STATEMENT

limite théorique sans ablation ; la génération in situ de particules de carbure, de borure ou de nitrule de tungstène pousse la résistance aux abrasifs de qualité diamant à un niveau extrême ; et même l'incorporation d'oxyde d'yttrium et d'oxyde d'hafnium pour former une phase stable dispersée, de sorte que la buse ne fonde pas et ne s'effondre pas, même à des températures instantanées proches de 3 000 °C. Ces formulations spéciales nécessitent souvent des poudres de qualité aérospatiale, un frittage sous double atmosphère (vide et hydrogène), plusieurs pressages isostatiques à chaud, un post-traitement exclusif et jusqu'à six mois de validation industrielle. Leur coût est si élevé qu'il dissuade les chefs de projet classiques. Pourtant, elles s'attaquent aux derniers bastions des formulations conventionnelles : décontamination de qualité nucléaire, recharge laser ultra-puissant, plasma ultra-haute température, jet mixte abrasif ultra-haute pression, chambre de combustion de statoréacteur et autres applications industrielles de pointe.

2.2.2 Spécifications et exigences de contrôle des alliages de tungstène utilisés dans les buses

Les spécifications des alliages de tungstène utilisés dans les buses ne se limitent plus à de simples « qualités de matériaux », mais constituent un système de normes industrielles rigoureux couvrant la composition chimique, la microstructure, les propriétés physiques et mécaniques, les performances des procédés, la propreté, l'homogénéité des lots et même la traçabilité complète du cycle de vie. Ce système a été perfectionné pendant plus de 20 ans par les principaux fabricants mondiaux d'équipements de projection thermique, de découpe au jet d'eau, de recharge laser, d'injection directe et de plasma, ainsi que par les fournisseurs de matériaux. Il a été intégré aux annexes dédiées de nombreuses normes internationales telles que l'ISO, l'ASME, l'AMS et la DIN, et figure également dans les clauses obligatoires de la quasi-totalité des cahiers des charges des procédés pour les secteurs aérospatial, médical et nucléaire.

2.2.2.1 Spécifications de composition chimique des buses en alliage de tungstène

Les spécifications de composition chimique constituent la « carte d'identité génétique » des buses en alliage de tungstène. Chaque type de rapport correspond à un tableau de limites d'éléments précis au dix-millième, voire au cent-millième, couvrant cinq grandes catégories : éléments principaux, éléments de la phase liante, éléments de microalliage, gaz résiduels et impuretés nocives. Chaque élément est assorti de limites supérieures et inférieures strictes, ainsi que de plages cibles.

La teneur en tungstène, élément principal, doit être précisément maintenue dans une plage de valeurs élevées. Une teneur trop faible entraînerait une dureté et une résistance à l'érosion insuffisantes, tandis qu'une teneur trop élevée ne garantirait pas la densité de frittage. La quantité totale des trois principaux éléments de la phase liante (nickel, fer et cuivre) est non seulement contrôlée, mais leur proportion est également maintenue dans une plage de paramètres extrêmement étroite. Tout écart entraînerait une détérioration significative de la mouillabilité de l'interface, de la conductivité thermique ou de la résistance à la corrosion. Des éléments de microalliage tels que le molybdène, le rhénium, le cobalt, le tantal et les terres rares sont ajoutés avec une précision de quelques parties pour dix mille. Leur rôle est d'inhiber la recristallisation, de renforcer les joints de grains ou de générer des points durs in situ. Une teneur légèrement trop élevée entraînerait la formation d'une phase fragile, tandis qu'une teneur

COPYRIGHT AND LEGAL LIABILITY STATEMENT

légèrement trop faible provoquerait une rupture. Les gaz résiduels (oxygène, azote, hydrogène) et les impuretés nocives sont contrôlés au niveau du ppb, car même des traces d'oxygène formeront des oxydes volatils à haute température, provoquant de la porosité, et des traces de métaux alcalins provoqueront une fragilisation du métal liquide. Les mesures de contrôle sont extrêmement rigoureuses : les poudres de matières premières doivent subir une analyse élémentaire complète par lot, par spectrométrie de masse à décharge luminescente et par fusion sous gaz inerte (conductivité thermique infrarouge) ; après frittage, un nouvel échantillon de la billette est prélevé pour une seconde analyse élémentaire complète ; et les buses finies, après usinage de précision, doivent même être découpées pour une troisième vérification ; toutes les données de test doivent être téléchargées sur une plateforme de traçabilité de type blockchain et liées de manière permanente au numéro de lot, au numéro de four, à l'opérateur et au numéro de l'équipement de test ; si un élément dépasse la tolérance, le four entier de matériau est directement mis au rebut et scellé pour enquête.

2.2.2.2 Spécifications des propriétés physiques des buses en alliage de tungstène

Les spécifications de performance physique constituent une représentation macroscopique directe de la composition chimique et une garantie fondamentale pour le maintien d'une géométrie précise et d'une qualité de jet optimale dans le temps. Elles englobent neuf indicateurs clés : la densité, la conductivité thermique, le coefficient de dilatation thermique, la susceptibilité magnétique, la température de recristallisation, le module d'élasticité, le coefficient de Poisson, la résistivité et la capacité thermique. Chaque indicateur possède une plage de valeurs admissibles extrêmement étroite et une méthode de test spécifique ; sa vérification doit être effectuée à trois températures : température ambiante, température de fonctionnement typique et limite haute température.

La densité est considérée comme le principal indicateur de rigidité et doit atteindre au moins 99,98 % de la densité théorique. Toute porosité ou inclusion constitue une source de concentration de contraintes et un point d'écaillage précoce sous l'effet de l'érosion supersonique. La conductivité thermique détermine directement la capacité de dissipation rapide de la chaleur au niveau du col. Les systèmes tungstène-nickel-fer doivent conserver une conductivité thermique élevée à haute température, tandis que celle des systèmes tungstène-nickel-cuivre peut être légèrement inférieure, mais doit être parfaitement uniforme. Le coefficient de dilatation thermique est contrôlé à un niveau extrêmement bas afin de garantir la stabilité du diamètre du col et de l'angle du cône sur toute la plage de températures, de moins de zéro à 2 000 °C. La susceptibilité magnétique des systèmes tungstène-nickel-cuivre doit être si faible qu'elle est quasiment indétectable par les instruments, afin de répondre à l'exigence d'absence d'interférences dues aux champs magnétiques intenses. La température de recristallisation est cruciale pour le bon fonctionnement des buses haute température. Les formulations classiques ne doivent pas être réalisées à une température inférieure à 1200 °C, et les formulations spéciales haute température requièrent même des températures proches de 2000 °C. Le module d'élasticité et le coefficient de Poisson déterminent la microdéformation de la buse sous ultra-haute pression et fort recul, et doivent correspondre précisément au modèle de calcul par éléments finis. La résistivité et la capacité thermique influent sur l'adhérence de l'arc et les caractéristiques de réponse thermique des buses à plasma haute puissance.

COPYRIGHT AND LEGAL LIABILITY STATEMENT

Les méthodes de test sont tout aussi rigoureuses : la densité est vérifiée par la méthode d'Archimède et la diffusion des rayons X aux petits angles ; la conductivité thermique est testée en continu par scintillation laser de la température ambiante à 1 500 °C ; la dilatation thermique est mesurée point par point à l'aide d'un interféromètre laser haute température ; la susceptibilité magnétique est calibrée à l'aide d'un dispositif d'interférence quantique supraconducteur à la température de l'hélium liquide ; la température de recristallisation est déterminée par une combinaison de métallographie haute température et de méthodes de gradient de dureté ; toutes les données doivent former des courbes continues et non des valeurs ponctuelles, et le recouvrement entre les lots de courbes doit être supérieur à 95 %. Si une propriété physique quelconque s'écarte de la plage acceptable, le lot entier de buses est immédiatement déclassé ou détruit. Ce contrôle « à tolérance zéro » des propriétés physiques élève les buses en alliage de tungstène du statut de « matériaux de haute qualité » à celui de « composants fonctionnels de précision de qualité instrumentale », et permet aux ingénieurs de procédés en aval d'inclure, pour la première fois, la durée de vie des buses, les paramètres du jet et la qualité du revêtement dans des contrats à long terme sans aucune clause de non-responsabilité supplémentaire.

2.2.2.3 Spécifications des propriétés mécaniques des buses en alliage de tungstène

Les spécifications de performance mécanique constituent la garantie ultime que les buses en alliage de tungstène peuvent résister à des charges combinées extrêmes sans se briser, se fissurer ou s'affaisser. Ces spécifications englobent douze indicateurs clés : résistance à la traction, limite d'élasticité, allongement, striction, résilience, résistance à la fatigue, résistance instantanée à haute température, résistance au fluage à haute température, dureté, module d'élasticité, ténacité à la rupture et résistance au pelage par cavitation. Chaque indicateur doit présenter des plages de valeurs clairement définies à trois points : température ambiante, température de fonctionnement typique et température extrême. Les données relatives aux hautes températures sont primordiales, car le véritable terrain d'épreuve pour les buses n'est jamais le laboratoire, mais bien les flammes à des milliers de degrés Celsius et les coups de bâlier à des centaines de mégapascals.

La résistance à la traction et la limite d'élasticité déterminent la capacité de la buse à supporter des pressions ultra-elevées et un fort recul sans déformation plastique. La forte teneur en tungstène doit garantir à la fois une résistance extrêmement élevée et une grande robustesse. L'allongement et la réduction de section assurent une rupture ductile plutôt qu'une fragmentation brutale en cas de surcharge accidentelle. La résilience et la ténacité sont essentielles à la résistance aux chocs thermiques et à l'impact de particules. Le rapport tungstène-nickel-fer et tungstène-nickel-cuivre est optimisé par la phase de liant afin de transformer la fragilité du tungstène pur en une quasi-ductilité acceptable. La résistance à la fatigue et au fluage à haute température sont cruciales pour que les pistolets de pulvérisation supersoniques puissent supporter des dizaines de milliers de cycles thermiques et les jets d'eau des millions de pulsations de pression. Toute amorce de microfissure entraînera un écaillement catastrophique. La dureté Vickers, qui doit atteindre la limite supérieure théorique du squelette en tungstène, assure une résistance directe à l'érosion abrasive. La résistance à la cavitation est un indicateur spécifique des buses à jet d'eau à ultra-haute pression, déterminée par un test composite spécial de traction-cavitation, et doit largement dépasser celle du carbure cémenté traditionnel.

COPYRIGHT AND LEGAL LIABILITY STATEMENT

Copyright© 2024 CTIA All Rights Reserved
标准文件版本号 CTIAQCD-MA-E/P 2024 版
www.ctia.com.cn

电话/TEL: 0086 592 512 9696
CTIAQCD-MA-E/P 2018-2024V
sales@chinatungsten.com

Les mesures de contrôle sont extrêmement rigoureuses : pour chaque lot de matériau, au moins trois séries d'éprouvettes normalisées de traction, de résilience, de fatigue et de ténacité à la rupture doivent être prélevées et testées sur une gamme complète de températures, de la température ambiante à 1 500 °C. Les éprouvettes de résistance instantanée et de fluage à haute température doivent être maintenues dans un four sous atmosphère protectrice pendant des centaines d'heures. La dureté est vérifiée par des méthodes multi-échelles, de la dureté Vickers macroscopique à l'indentation nanométrique. Toutes les surfaces de rupture doivent être analysées par microscopie électronique à balayage à 100 % afin de confirmer l'absence d'inclusions anormales et de phases fragiles. Si une propriété mécanique quelconque descend en dessous du seuil minimal, le lot entier est immédiatement scellé et une analyse des causes profondes est lancée. Ce contrôle « zéro compromis » des propriétés mécaniques transforme la buse en alliage de tungstène, d'une simple « pièce résistante à l'usure », en une « pièce porteuse intégrée, à la fois structurelle et fonctionnelle », lui permettant ainsi de rivaliser avec les alliages de titane, les superalliages à base de nickel et l'acier inoxydable, sans jamais être inférieure, même dans les conditions de travail les plus exigeantes.

2.2.2.4 Spécifications de précision d'usinage pour les buses en alliage de tungstène

L'usinage de précision est l'étape finale qui transforme les buses en alliage de tungstène, de simples « matériaux de haute qualité », en véritables instruments de précision pour la dynamique des fluides. Il traduit tous les avantages de leur composition chimique, de leurs propriétés physiques et mécaniques en une série de valeurs géométriques de l'ordre du micron, voire du submicron, telles que la tolérance du diamètre de la gorge, la circularité, la cylindricité, le profil conique, la rugosité de la paroi interne, la coaxialité, la perpendicularité et la netteté des arêtes de la face d'extrémité. Sans cette précision, même les meilleurs matériaux ne sont que de la ferraille ; grâce à elle, les buses en alliage de tungstène maîtrisent parfaitement la vitesse du jet, l'angle de divergence, la taille des particules atomisées, la largeur de la saignée et la densité du revêtement.

La tolérance du diamètre de la gorge, sa circularité et sa cylindricité sont essentielles au système, car elles déterminent directement la constance du débit et de la vitesse d'écoulement. Elles doivent être contrôlées au micromètre près et rester pratiquement stables tout au long de la durée de vie du système. Le profil conique détermine l'isentropicité de la détente supersonique ; le moindre décalage peut induire des ondes de choc, entraînant une dispersion de la vitesse des particules. La rugosité de la paroi interne doit être d'un niveau miroir et, après polissage par écoulement, la microscopie à force atomique ne doit révéler aucune rayure ni aucun dépôt. La coaxialité et la perpendicularité sont cruciales pour les buses d'alimentation en poudre coaxiales et les buses en éventail ; même de légers écarts peuvent provoquer une inclinaison du faisceau de poudre ou des surfaces d'éventail irrégulières. L'arête de coupe de la face d'extrémité doit présenter une netteté nanométrique, sans bavure ni recourbement ; sinon, les gouttelettes ou la poudre stagneront et formeront des nodules à la sortie.

Les méthodes employées relèvent d'une esthétique de fabrication d'une rigueur extrême : le pressage isostatique à froid suivi d'un frittage sous vide/hydrogène garantit une porosité nulle et une rigidité élevée du lingot ; le perçage profond, le rodage diamant multi-étapes et l'usinage composite par ultrasons permettent de réaliser des trous profonds avec des rapports d'aspect de plusieurs dizaines ;

COPYRIGHT AND LEGAL LIABILITY STATEMENT

l'électroérosion à fil à cinq axes et la finition laser assurent la finition de surfaces coniques Laval complexes ; un procédé triple action de polissage par écoulement, polissage magnétorhéologique et polissage électrolytique au plasma réduit la rugosité de la paroi interne à l'échelle nanométrique ; chaque buse est soumise à trois scans grandeur nature à l'aide d'une machine à mesurer tridimensionnelle, d'un profilomètre optique et d'un interféromètre à lumière blanche avant de quitter l'usine, toutes les données générant un code QR unique lié de manière permanente au produit physique ; tout écart de précision entraîne une refusion immédiate. Ce niveau de précision de traitement transforme la buse en alliage de tungstène d'une simple « pièce » en une « unité fonctionnelle de niveau standard », permettant aux utilisateurs en aval d'inclure, pour la première fois, des « paramètres de jet indéformables » dans leurs engagements qualité envers leurs clients finaux. Ce niveau extrême de précision d'usinage a permis d'atteindre l'objectif ultime de faire de la buse en alliage de tungstène « la théorie est réalité, la conception est l'objet physique », lui conférant un statut quasi religieux dans la chaîne de fabrication mondiale haut de gamme.



Buses en alliage de tungstène CTIA GROUP LTD

[COPYRIGHT AND LEGAL LIABILITY STATEMENT](#)

Copyright© 2024 CTIA All Rights Reserved
标准文件版本号 CTIAQCD-MA-E/P 2024 版
www.ctia.com.cn

电话/TEL: 0086 592 512 9696
CTIAQCD-MA-E/P 2018-2024V
sales@chinatungsten.com

CTIA GROUP LTD

High-Density Tungsten Alloy Customization Service

CTIA GROUP LTD, a customization expert in high-density tungsten alloy design and production with 30 years of experience.

Core advantages: 30 years of experience: deeply familiar with tungsten alloy production, mature technology.

Precision customization: support high density (17-19 g/cm³), special performance, complex structure, super large and very small parts design and production.

Quality cost: optimized design, optimal mold and processing mode, excellent cost performance.

Advanced capabilities: advanced production equipment, RMI, ISO 9001 certification.

100,000+ customers

Widely involved, covering aerospace, military industry, medical equipment, energy industry, sports and entertainment and other fields.

Service commitment

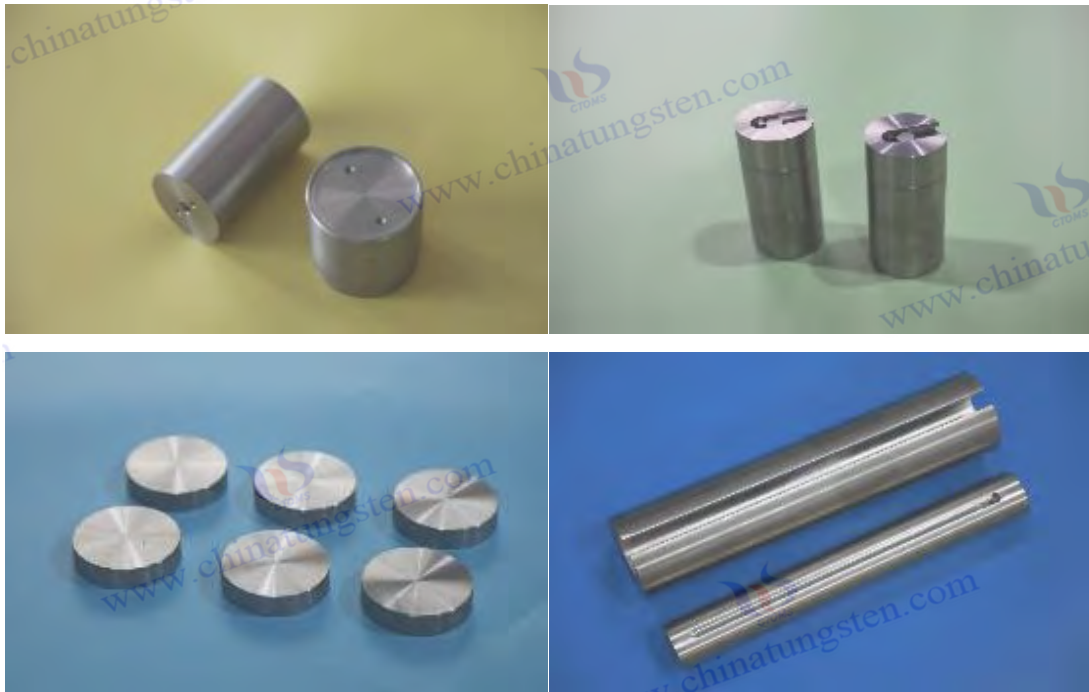
1 billion+ visits to the official website, 1 million+ web pages, 100,000+ customers, 0 complaints in 30 years!

Contact us

Email: sales@chinatungsten.com

Tel: +86 592 5129696

Official website: www.tungsten-alloy.com



COPYRIGHT AND LEGAL LIABILITY STATEMENT

Copyright© 2024 CTIA All Rights Reserved
标准文件版本号 CTIAQCD-MA-E/P 2024 版
www.ctia.com.cn

电话/TEL: 0086 592 512 9696
CTIAQCD-MA-E/P 2018-2024V
sales@chinatungsten.com

Chapitre 3 Caractéristiques des buses en alliage de tungstène

3.1 Caractéristiques du point de fusion des buses en alliage de tungstène

La longévité des buses en alliage de tungstène, même dans les environnements les plus extrêmes de l'industrie, repose sur leur point de fusion exceptionnellement élevé, inégalé parmi tous les matériaux d'ingénierie. Cette caractéristique ne se limite pas à une simple « résistance à la chaleur », mais résulte de la combinaison de plusieurs facteurs : l'énergie de liaison métallique extrêmement élevée des atomes de tungstène, la stabilité remarquable du réseau cubique centré et la structure dense quasi parfaite obtenue après frittage en phase liquide. Ainsi, le col de la buse peut être exposé instantanément à des jets de plasma dépassant 3 000 °C, à des flammes supersoniques dépassant 2 000 °C et à des gaz de combustion à haute température dépassant 1 500 °C, sans fondre, couler ni subir de ramollissement catastrophique. L'alliage de tungstène constitue ainsi le matériau de base indispensable à des procédés tels que la projection thermique, la génération de plasma, le rechargement laser et la combustion à très haute température.

3.1.1 Plage numérique et normes de détermination des points de fusion élevés

tungstène sont conçues à partir du point de fusion théorique du tungstène pur, à 3 410 °C. Grâce au frittage en phase liquide et à l'optimisation de la phase liante, une large plage de points de fusion stable est obtenue pour les applications pratiques. Le squelette principal en tungstène conserve un point de fusion très élevé, proche de celui du tungstène pur. Bien que la phase liante ait un point de fusion inférieur, elle enrobe les particules de tungstène d'un film liquide extrêmement fin à haute température. Ceci empêche la formation de canaux macroscopiques à bas point de fusion et inhibe efficacement la sublimation et la volatilisation par oxydation du tungstène. De ce fait, le matériau présente des caractéristiques quasi-réfractaires, sans « température d'écoulement de la phase liquide définie » en conditions réelles d'utilisation. Même lors de projections plasma à très haute température ou de projections à la flamme à très haute température, seule une faible sublimation et redéposition locale des particules de tungstène se produit à la surface de la buse. Les problèmes de coulures de métal en fusion, d'affondrement de la gorge ou d'obstruction du canal d'écoulement fréquemment observés dans les buses traditionnelles à base de nickel et de cobalt ne se produiront jamais.

La norme de mesure adopte un système d'étalonnage à trois méthodes internationalement reconnu, combinant four à corps noir, thermocouple haute température et thermométrie infrarouge bicolore, ainsi que photographie à haute vitesse et tests de fusion microscopiques, afin de garantir la précision et la répétabilité sur toute la plage de températures, de la température ambiante à 3 500 °C. Lors de la réception technique, une attention particulière est portée à trois points critiques : la température d'apparition des premiers signes visibles de fusion, la température d'apparition des premières gouttelettes et la température à laquelle la géométrie de la gorge devient incontrôlable. Ces indicateurs sont rigoureusement intégrés aux spécifications des procédés de projection thermique de qualité aérospatiale et des équipements plasma haute puissance, servant de base solide pour le choix des buses et la prédiction de leur durée de vie.

COPYRIGHT AND LEGAL LIABILITY STATEMENT

Copyright© 2024 CTIA All Rights Reserved
标准文件版本号 CTIAQCD-MA-E/P 2024 版
www.ctia.com.cn

电话/TEL: 0086 592 512 9696
CTIAQCD-MA-E/P 2018-2024V
sales@chinatungsten.com

3.1.2 L'importance d'un point de fusion élevé pour l'adaptabilité aux conditions de fonctionnement à haute température

Le principal avantage du point de fusion élevé réside dans la rupture totale du cycle de défaillance des matériaux traditionnels à haute température : « ramollissement-déformation-fusion ». Pour la première fois, la buse ose exposer son col directement au flux d'énergie le plus chaud qu'il soit possible de contrôler manuellement, sans risque de dérapage.

Dans les domaines de la projection thermique supersonique et de la projection plasma à ultra-haute température, le point de fusion élevé permet aux buses en alliage de tungstène de fonctionner en continu dans des flammes contenant de l'oxygène dépassant 1 800 °C et atteignant instantanément plus de 2 800 °C, sans ramollissement, affaissement ni coulure au niveau du col. Ceci garantit un impact constant des particules sur le substrat à vitesse maximale et à température optimale, permettant d'obtenir, en une seule application, une densité de revêtement et une résistance d'adhérence équivalentes à celles des pièces forgées. En rechargement laser haute puissance avec alimentation coaxiale en poudre, le point de fusion élevé permet de positionner la buse à quelques millimètres seulement du bord du point focal du laser, résistant ainsi au choc thermique combiné de la lumière laser réfléchie et du rayonnement du bain de fusion sans fondre ni s'affaisser. Ceci assure une précision de focalisation du faisceau de poudre constante pendant des milliers d'heures. Dans les domaines des chambres de combustion des turbines à gaz et des buses de chaudières industrielles, le point de fusion élevé permet aux buses de maintenir leur intégrité géométrique sous un balayage à long terme de gaz à haute température dépassant 1200 degrés Celsius, avec des fluctuations nulles d'un lot à l'autre de l'angle du cône d'atomisation et de la taille des gouttelettes, atteignant des émissions ultra-faibles et une efficacité de combustion maximale.

La véritable valeur de cette technologie réside dans le fait que son point de fusion élevé confère à la buse en alliage de tungstène une « tolérance aux défauts thermiques » extrêmement élevée : même si la combustion en amont devient incontrôlable et que la température grimpe de plusieurs centaines de degrés en un instant, la buse permet à l'opérateur de gagner un temps précieux grâce à son énorme capacité d'absorption de chaleur et à ses caractéristiques de non-fusion, évitant ainsi des dommages catastrophiques à l'équipement ; lors d'un fonctionnement continu de longue durée, le point de fusion élevé, combiné à une conductivité thermique élevée, réduit considérablement le gradient de température à la surface de la buse et les contraintes thermiques sont quasi nulles, éliminant ainsi les fissures de fatigue thermique.

3.2 Caractéristiques de densité des buses en alliage de tungstène

tungstène constituent le fondement physique de toutes leurs propriétés exceptionnelles, et représentent également leur différence fondamentale et insurmontable par rapport aux buses traditionnelles en carbure cémenté, en céramique, en acier inoxydable et en alliage de titane. La haute densité n'est pas une simple accumulation de masse ; il s'agit d'une « armure atomique de tungstène » tissée avec une précision microscopique, conférant simultanément à la buse une résistance à l'érosion inégalée, une stabilité de la direction du jet, une résistance aux vibrations, une capacité d'amortissement thermique et une fidélité

COPYRIGHT AND LEGAL LIABILITY STATEMENT

Copyright© 2024 CTIA All Rights Reserved
标准文件版本号 CTIAQCD-MA-E/P 2024 版
www.ctia.com.cn

电话/TEL: 0086 592 512 9696
CTIAQCD-MA-E/P 2018-2024V
sales@chinatungsten.com

géométrique exceptionnelles lors du recul à grande vitesse. Sans cette caractéristique de densité, tous les autres avantages seraient illusoires.

3.2.1 Plage de densité typique et facteurs d'influence

La densité des alliages de tungstène utilisés dans les buses est précisément définie dans une plage de valeurs extrêmement étroite et exigeante : de 16,8 g/cm³ (système tungstène-nickel-cuivre non magnétique) à 18,8 g/cm³ (système tungstène-nickel-fer haute résistance ou alliages spéciaux à forte teneur en tungstène), couvrant ainsi la quasi-totalité des densités maximales des matériaux d'ingénierie connus. Cette plage n'est pas arbitraire, mais résulte inévitablement de la combinaison de multiples variables telles que la teneur en tungstène, le type et la proportion de la phase liante, les paramètres du frittage et les méthodes de post-traitement.

La teneur en tungstène est le principal facteur déterminant ; pour chaque augmentation de 1 % de cette teneur, la densité augmente linéairement d'environ 0,17 à 0,19 g/cm³. Le type de liant est le deuxième facteur clé ; les liants nickel-fer peuvent apporter une densité supplémentaire de 0,5 à 0,8 g/cm³ par rapport aux liants nickel-cuivre, car le fer a une masse atomique supérieure à celle du cuivre. Le frittage est le troisième facteur de contrôle ; le frittage en phase liquide sous double atmosphère (vide + hydrogène), combiné à deux pressages isostatiques à chaud, permet de réduire la porosité à moins de 0,02 %, rapprochant ainsi la densité réelle de la valeur théorique. Les traitements ultérieurs, tels que l'extrusion à chaud, le forgeage rotatif ou les recuits multiples, éliminent davantage les micropores résiduels, augmentant la densité de quelques 0,01 g/cm³.

Les mesures de contrôle rigoureuses sont stupéfiantes : chaque lot de billettes doit faire l'objet d'une double vérification par la méthode d'Archimède et la diffusion des rayons X aux petits angles ; un écart de densité supérieur à $\pm 0,05$ g/cm³ est considéré comme non conforme. Les buses finies sont échantillonnées et testées à nouveau avant leur sortie d'usine, et les données doivent correspondre parfaitement à celles des billettes. Toutes les courbes de densité, les numéros de four, les informations sur les opérateurs et les numéros de série des équipements sont traçables à vie. Si la densité est trop faible, la durée de vie en résistance à l'érosion peut être réduite de moitié, voire pire, des micro-vibrations dues au recul supersonique peuvent provoquer une divergence du jet, entraînant la mise au rebut de la totalité du lot. Cette quête obsessionnelle de la densité dépasse le simple cadre des « indicateurs de performance » et s'apparente à une véritable foi dans le processus.

3.2.2 Mécanisme de corrélation entre la haute densité, la résistance à l'usure et la stabilité

La contribution de la haute densité à la résistance à l'usure et à la stabilité constitue une chaîne causale complète allant de l'échelle atomique au comportement macroscopique, que l'on peut décrire comme l'esthétique violente de la science des matériaux.

Tout d'abord, il y a la résistance à l'érosion et à l'usure. Une densité élevée signifie un nombre extrêmement élevé d'atomes de tungstène par unité de volume, ce qui entraîne une augmentation exponentielle de la résistance lors de l'impact de particules abrasives. Selon la théorie classique de l'usure

COPYRIGHT AND LEGAL LIABILITY STATEMENT

abrasive, le taux d'usure est inversement proportionnel à la densité du matériau. Cependant, dans les buses en alliage de tungstène, cette relation est encore amplifiée : une densité de 17 à 18 g/cm³ combinée à un squelette de tungstène quasi continu signifie que la quasi-totalité de l'énergie cinétique des particules abrasives est convertie en une déformation plastique très superficielle et en énergie thermique, rendant pratiquement impossible la rupture d'atomes de tungstène. Lors de la projection thermique supersonique de particules de carbure de silicium, les buses ordinaires en carbure cémenté subissent un élargissement important de l'orifice après quelques centaines d'heures, tandis que les buses en alliage de tungstène conservent leur diamètre de gorge initial même après des milliers d'heures, avec une profondeur d'usure infime. La haute densité transforme directement l'« usure d'une couche » en une « usure quasi nulle ».

Deuxièmement, la stabilité de la direction et du débit du jet est un atout majeur. L'immense inertie de masse, due à la haute densité du matériau, garantit que la buse ne subit quasiment aucune vibration ni déviation, même sous l'effet du recul d'un flux d'air supersonique ou d'un flux d'eau à ultra-haute pression. Les buses en matériaux ordinaires subiraient un flottement à haute fréquence sous la même force de recul, provoquant des secousses au niveau du cœur du jet et une augmentation périodique de l'angle de divergence. En revanche, l'inertie de masse de la buse en alliage de tungstène agit comme une montagne, absorbant toutes les perturbations. La direction du jet reste parfaitement stable pendant des milliers d'heures et les fluctuations de débit sont indétectables. Dans le cadre de l'alimentation coaxiale en poudre pour le rechargement laser, cette stabilité permet au faisceau de poudre de se superposer au point focal du laser avec une précision micrométrique, ce qui se traduit par une ondulation de surface, en un seul passage, pratiquement imperceptible à l'œil nu.

Deuxièmement, il y a la question de la capacité thermique et de l'absorption des chocs thermiques. Une densité élevée implique une capacité thermique volumique extrêmement élevée. Lorsque la gorge absorbe instantanément un choc thermique de plusieurs milliers de degrés Celsius, la température monte très lentement, laissant un temps précieux au système de refroidissement par eau pour dissiper la chaleur. Simultanément, le gradient thermique est extrêmement faible et la contrainte thermique quasi nulle, ce qui empêche fondamentalement la formation de fissures de fatigue thermique. Dans les pistolets de projection plasma haute puissance, les buses en alliage de tungstène peuvent résister à la surchauffe provoquée par la combustion incontrôlée instantanée en amont sans se fissurer, alors que les matériaux traditionnels se seraient déjà désintégrés.

Enfin, la rigidité et la résistance à la déformation sont des atouts majeurs. La haute densité, associée à un module d'élasticité élevé, garantit une déformation quasi nulle de la buse sous ultra-haute pression ou forte force centrifuge. Le diamètre du col et l'angle du cône conservent leurs valeurs initiales, même sous des centaines de mégapascals de coup de bâlier, éliminant définitivement le risque de déformation à l'usage. Cette haute densité transforme la buse en alliage de tungstène, d'un simple consommable résistant à l'usure, en un système multifonctionnel faisant office de rempart contre l'érosion, de base antivibratoire, d'amortisseur de chocs thermiques et d'instrument à géométrie inaltérable. Pour la première fois, elle permet d'exposer sans crainte son col, particulièrement vulnérable, aux flux d'énergie les plus violents. C'est là l'origine physique de toutes les caractéristiques de la buse en alliage de tungstène et de sa résistance ultime inégalée.

COPYRIGHT AND LEGAL LIABILITY STATEMENT

Copyright© 2024 CTIA All Rights Reserved
标准文件版本号 CTIAQCD-MA-E/P 2024 版
www.ctia.com.cn

电话/TEL: 0086 592 512 9696
CTIAQCD-MA-E/P 2018-2024V
sales@chinatungsten.com

3.3 Caractéristiques de dureté des buses en alliage de tungstène

de tungstène offrent une résistance à l'usure et à l'érosion durable, même dans des conditions de travail extrêmes. Cette caractéristique provient de la dureté intrinsèque élevée du squelette de particules de tungstène et de l'effet synergique de la phase liante. La dureté globale de la buse est ainsi nettement supérieure à celle de l'acier inoxydable et des alliages de titane, tout en étant légèrement inférieure à celle du tungstène pur ou du carbure cémenté. Ce compromis unique offre un équilibre parfait entre résistance à l'usure et ténacité. Cette dureté détermine directement la capacité de la paroi interne du col à rester propre et indéformable sous l'effet d'un flux d'air à grande vitesse chargé de particules dures, garantissant ainsi la stabilité du jet et la qualité du processus sur le long terme.

3.3.1 Méthodes d'essai couramment utilisées pour l'indice de dureté

L'essai de dureté est la méthode d'évaluation non destructive la plus éprouvée et la plus fiable pour le contrôle qualité des buses en alliage de tungstène. Il combine trois méthodes principales – l'indentation, le rebond et le contrôle non destructif par ultrasons – afin de garantir l'uniformité de la dureté de chaque buse et sa conformité aux exigences de conception. L'indentation est la méthode la plus traditionnelle et la plus directe. Elle utilise généralement un duromètre Vickers ou Rockwell : une indentation standard est réalisée sur la surface extérieure de la buse ou sur une section transversale sous une charge fixe. La longueur diagonale ou la profondeur de l'indentation est mesurée au microscope, et la valeur de dureté est calculée. Cette méthode est particulièrement adaptée à l'échantillonnage par lots et à la vérification de la section de gorge, et permet de refléter directement l'effet synergique de dureté entre le squelette de particules de tungstène et la phase liante.

La méthode de rebond utilise principalement des duromètres Shore ou Lee. Un petit marteau dur est lâché ou projeté sur la surface de la buse, et la hauteur ou la vitesse de rebond est mesurée pour calculer la dureté. Cette méthode est totalement non destructive, portable et efficace, et convient aux inspections complètes sur site et aux réinspections après assemblage. En particulier, pour évaluer la dureté de la paroi interne de la buse, l'endoscopie permet d'estimer indirectement la distribution de la dureté dans la région du col, sans endommager les tissus.

Le contrôle non destructif par ultrasons est la méthode la plus avancée de ces dernières années. Elle exploite la vitesse de propagation et l'atténuation des ondes ultrasonores haute fréquence à l'intérieur de la buse pour déterminer le gradient de dureté. La vitesse du son et la dureté sont positivement corrélées, tandis que l'atténuation reflète les défauts internes ou une dureté non uniforme. Grâce à un balayage multi-sondes, une cartographie de la dureté de l'ensemble de la buse peut être générée en quelques minutes, ce qui la rend particulièrement adaptée à l'inspection complète des buses de grande taille ou de géométrie complexe. Toutes les données issues de ces méthodes doivent être validées par recouplement : l'indentation fournit une valeur de référence, le test de rebond permet un criblage rapide et le contrôle par ultrasons une cartographie complète, formant ainsi un système en boucle fermée complémentaire. Ce système garantit la détection précoce des écarts de dureté et leur attribution à la composition ou au procédé de fabrication. Ce système de contrôle de dureté multi-méthodes est devenu le critère de distinction essentiel entre les buses en alliage de tungstène acceptables et celles d' excellente qualité.

COPYRIGHT AND LEGAL LIABILITY STATEMENT

3.3.2 Analyse de corrélation entre la dureté et la durée de vie

La relation entre la dureté et la durée de vie des buses en alliage de tungstène présente une forte corrélation positive, mais n'est pas simplement linéaire. Elle est plutôt déterminée par l'effet combiné de quatre mécanismes de régulation : la dureté influence le taux d'érosion, le seuil de fissuration par fatigue thermique, le seuil de décollement par cavitation et l'amorçage de l'oxydation superficielle. En définitive, cela détermine la durée de vie de la buse dans les conditions d'utilisation les plus sévères. Une dureté plus élevée réduit la profondeur de micro-coupe et de sillonnage par les particules abrasives, ce qui diminue la perte de matière par unité de temps et prolonge directement la durée de vie avant dilatation du col. Dans les buses de projection thermique et de combustion, une dureté élevée retarde l'amorçage du ramollissement à haute température, maintenant ainsi la stabilité à long terme de la géométrie du canal d'écoulement et limitant indirectement la dégradation de la qualité du procédé et l'usure accélérée dues à la divergence du jet. Une dureté élevée augmente également le seuil de contrainte superficielle maximale lors de l'implosion des bulles de cavitation, rendant la buse moins sensible à la corrosion par piqûres et à l'amorçage de fissures dans les jets d'eau à ultra-haute pression. Enfin, les surfaces à haute dureté sont moins susceptibles de présenter des points d'amorçage de couche d'oxyde, retardant ainsi l'oxydation à haute température et le décollement, et prolongeant considérablement la durée de vie de la buse dans les flammes contenant de l'oxygène. La synergie de ces quatre mécanismes transforme la dureté d'un simple indicateur statique en un véritable facteur de longévité, et fait également de la conception de la dureté des buses en alliage de tungstène un élément clé pour la prédiction de leur durée de vie tout au long de la chaîne de production.

3.4 Caractéristiques de résistance des buses en alliage de tungstène

L'avantage fondamental des buses en alliage de tungstène par rapport à la céramique, au carbure cémenté et même au tungstène pur réside dans leur composition : tout en présentant une dureté proche de celle de la céramique, elles affichent une résistance et une ténacité globales bien supérieures, atteignant voire surpassant celles des aciers alliés de haute qualité. Cette double caractéristique de dureté et de résistance permet à la buse, une première, de supporter des charges combinées de très haute pression, de fort recul, de vibrations extrêmes et d'impact instantané sans se briser ni se déformer de façon permanente. Elle constitue ainsi le seul support fiable pour les applications en conditions extrêmes telles que le nettoyage au jet d'eau à très haute pression, la projection thermique supersonique, le rechargement laser haute puissance, les systèmes d'injection diesel à rampe commune et le nettoyage industriel.

3.4.1 Indicateurs clés de la résistance à la traction et de la résistance à la compression

tungstène sont deux indicateurs de noyau complémentaires mais distincts, qui constituent ensemble la limite de sécurité de la buse dans des conditions de contrainte complexes.

La résistance à la traction est la mesure ultime de la résistance globale à la rupture d'une buse. Un alliage tungstène-nickel-fer à haute résistance peut facilement dépasser 1 200 MPa à température ambiante, voire approcher les 1 500 MPa, et se maintient au-dessus de 900 MPa à 800 °C, surpassant largement la plupart des aciers inoxydables martensitiques et des alliages de titane. Bien que l'alliage non magnétique

COPYRIGHT AND LEGAL LIABILITY STATEMENT

tungstène-nickel-cuivre présente une résistance à la traction légèrement inférieure, elle dépasse tout de même 1 000 MPa et diminue plus lentement à haute température. Cette résistance à la traction exceptionnelle provient du réseau continu du squelette de particules de tungstène et de la forte force de liaison interfaciale de la phase liante, ce qui rend l'amorçage et la propagation des fissures difficiles. Même en cas d'apparition de microfissures, celles-ci sont rapidement passivées et pontées par la phase liante ductile, permettant ainsi d'obtenir une combinaison rare de « haute résistance et de quasi-ductilité ».

La résistance à la compression est presque deux fois supérieure à la résistance à la traction, dépassant souvent 3 000 MPa et approchant même les 4 000 MPa, proches de la limite théorique. Ceci permet à la buse en alliage de tungstène de ne présenter quasiment aucune déformation plastique au niveau du col et de la paroi externe lorsqu'elle est soumise à des coups de bâlier hydrauliques à très haute pression, à des à-coups de flux d'air supersoniques ou à la force centrifuge, et ses dimensions géométriques conservent leur précision initiale après des millions d'impulsions de pression. Cette résistance élevée à la compression est principalement due au module de compression extrêmement élevé et à la structure dense à porosité quasi nulle des particules de tungstène elles-mêmes, qui ne laissent pratiquement aucun espace pour le glissement des dislocations sous charges de compression, conférant ainsi au matériau une caractéristique de « dureté et d'incompressibilité » comparable à celle de la céramique.

3.4.2 Caractéristiques de résistance sous haute pression

Dans des conditions réelles de fonctionnement à haute pression, les caractéristiques de résistance des buses en alliage de tungstène sont amplifiées à l'extrême, ce qui se traduit par une garantie directe de durée de vie, de précision et de sécurité.

Dans le domaine du découpage au jet d'eau à ultra-haute pression (280–700 MPa), les buses classiques en carbure cémenté présentent souvent des fissures circonférentielles et s'effondrent complètement en quelques centaines d'heures seulement, sous l'effet combiné du coup de bâlier et de la cavitation. En revanche, les buses en alliage de tungstène, grâce à leur résistance exceptionnelle à la compression et à la traction, ne développent aucune fissure macroscopique au niveau du col, même après des millions d'impulsions de pression. Leur déformation géométrique est inférieure au micron, ce qui garantit la préservation de la largeur de coupe et de l'état de surface pendant des milliers d'heures.

En projection thermique à haute vitesse (HVOF) et en projection à froid, les buses doivent résister aux vibrations du flux d'air et à des impulsions importantes pouvant atteindre 8 à 10 MPa. Les matériaux traditionnels cèdent sous l'effet d'une propagation rapide des fissures de fatigue. En revanche, les buses en alliage de tungstène, grâce à leur résistance à la fatigue et à la traction exceptionnelles, repoussent considérablement le seuil d'amorçage des fissures, dépassant aisément 3 000 heures de durée de vie, tout en conservant une stabilité extrême de la vitesse des particules et de la distribution de température.

Dans les injecteurs à rampe commune diesel et les injecteurs coaxiaux d'alimentation en poudre pour le rechargement laser haute puissance, les caractéristiques de résistance garantissent que les injecteurs ne se desserreront jamais et ne dévieront jamais sous l'effet d'un fort recul et d'une force centrifuge, et que la coaxialité de l'injecteur ou du trajet de la poudre ne dériva pas pendant des dizaines de milliers

COPYRIGHT AND LEGAL LIABILITY STATEMENT

d'heures, assurant ainsi un verrouillage à long terme de l'efficacité de combustion et de la précision de formage.

La manifestation la plus extrême se produit en cas de surpression accidentelle ou de combustion incontrôlée : lorsque la pression en amont atteint soudainement plus du double de sa valeur nominale, la tuyère en alliage de tungstène absorbe souvent de l'énergie par déformation plastique localisée, finissant par se rompre de manière à « se dilater sans se briser ni projeter de fragments », offrant ainsi à l'opérateur un temps précieux pour s'échapper et effectuer les réparations. À l'inverse, les matériaux traditionnels auraient déjà explosé en mille morceaux, provoquant une catastrophe. Ces caractéristiques de résistance ont complètement transformé la tuyère en alliage de tungstène, d'un simple « matériau consommable », en un composant structurel et fonctionnel essentiel capable de « supporter le poids de vies humaines », permettant à l'humanité, pour la première fois, d'oser soumettre la partie la plus vulnérable de la gorge à une pression extrême et de s'en remettre sans crainte.

3.5 Stabilité chimique des buses en alliage de tungstène

L'utilisation de buses en alliage de tungstène garantit leur durabilité dans les milieux chimiques les plus agressifs et les environnements oxydants à haute température. Contrairement à l'acier inoxydable, qui repose sur un film de passivation, ou aux alliages à base de nickel, qui nécessitent une couche d'oxyde sacrificielle, le tungstène offre une stabilité quasi absolue – « pratiquement aucune réaction visible avec les milieux courants » – grâce à son inertie chimique extrêmement élevée, à l'optimisation précise de la phase liante et à l'effet synergique de la microstructure de surface. Cette caractéristique permet aux buses de fonctionner pendant des milliers d'heures dans des environnements chimiques extrêmes tels que les acides et bases forts, l'eau de mer, les désinfectants et les flammes à haute température contenant de l'oxygène, sans que leur surface ne perde son aspect neuf.

3.5.1 Performance en matière de résistance à la corrosion acide et alcaline

Les buses en alliage de tungstène, notamment celles en tungstène-nickel-cuivre, présentent une résistance à la corrosion remarquable sur toute la gamme de pH (0-14), ce qui leur vaut le titre de « roi de la résistance à la corrosion ». Dans l'acide sulfurique concentré, l'acide nitrique concentré, l'acide chlorhydrique, l'eau régale, l'acide fluorhydrique, les alcalis concentrés chauds, l'hypochlorite de sodium bouillant, l'eau de mer, les embruns salés, les environnements chauds et humides, et la plupart des acides organiques, le taux de dégradation de la qualité de surface des buses est si faible qu'il est presque imperceptible, et la corrosion par piqûres, la corrosion caverneuse, la corrosion intergranulaire et la fissuration par corrosion sous contrainte sont totalement éliminées.

Le mécanisme fondamental repose sur le fait que le tungstène est totalement inerte à la plupart des acides non oxydants à température ambiante ; l'ajout de cuivre permet à la phase liante de former une solution solide cuivre-nickel extrêmement stable, insoluble dans les acides forts et insensible à la corrosion par les ions hydroxyde dans les bases fortes ; la structure dense, quasi sans porosité après frittage, élimine complètement les canaux de pénétration des agents corrosifs le long des joints de grains ou des pores ; bien que la couche de passivation extrêmement fine qui se forme naturellement en surface soit soluble,

COPYRIGHT AND LEGAL LIABILITY STATEMENT

elle peut s'autoréparer très lentement au cours du processus de corrosion, établissant un équilibre dynamique plutôt qu'un décollement continu.

Dans des scénarios industriels réels, les buses en tungstène-nickel-cuivre ne présentent aucune piqûre ni modification dimensionnelle pendant des milliers d'heures d'opérations de décapage de la rouille à l'eau de mer sous haute pression sur les pales d'éoliennes offshore ; elles restent exemptes de rouille et ne libèrent pas d'ions nocifs lorsqu'elles sont directement exposées à des acides et des bases concentrés bouillants dans les lignes de décapage des pipelines chimiques et de lavage alcalin ; elles répondent aux exigences les plus strictes en matière de propreté et de stérilisation réutilisable dans la désinfection et le nettoyage sous haute pression des équipements alimentaires et pharmaceutiques ; et leurs surfaces restent inactives de façon permanente même après une immersion prolongée dans des solutions acides contenant des éléments radioactifs dans les processus de traitement des eaux usées des installations nucléaires.

3.5.2 Capacité antioxydante en milieu à haute température

tungstène, utilisées dans des environnements à haute température et contenant de l'oxygène, présentent des performances tout aussi impressionnantes. Elles lèvent complètement le problème inhérent au tungstène pur, « facilement volatil et oxydable à haute température ». Lorsque des alliages tungstène-nickel-fer et des alliages à forte teneur en tungstène sont utilisés dans des flux de flamme ou des arcs plasma contenant de l'oxygène, à des températures soutenues supérieures à 1 200 °C ou à des températures instantanées supérieures à 2 000 °C, seule une couche protectrice de WO_3 extrêmement fine et dense se forme en surface. Ce phénomène contraste avec la couche d'oxyde friable et volatile, dite « bleue de tungstène », présente dans le tungstène pur traditionnel. Le taux de prise de poids par oxydation et le taux d'augmentation d'épaisseur sont si faibles qu'ils sont presque négligeables, et la géométrie du col reste inchangée pendant des milliers d'heures, grâce à l'absence d'oxydation et d'écaillage.

Le mécanisme est le suivant : la phase liante (notamment nickel-fer) subit préférentiellement une oxydation à l'état de traces à haute température, formant une couche de spinelle composite nickel-tungstène extrêmement mince qui emprisonne fermement les particules de tungstène et empêche les atomes d'oxygène de diffuser plus profondément à l'intérieur ; les particules de tungstène elles-mêmes sont difficiles à sublimer directement sous le revêtement de la phase liante, et l'oxydation ne peut se produire que sous la forme d'une réaction interfaciale extrêmement lente ; la structure à porosité quasi nulle élimine les canaux de pénétration rapide de l'oxygène le long des joints de grains ; bien que la couche de WO_3 formée en surface soit volatile, elle est fermement attachée grâce à l'effet de « piégeage » de la phase liante, et le cercle vicieux de « bullage-décollement-oxydation accélérée » qui se produit dans le tungstène pur traditionnel ne se produit pas.

Dans des environnements à très haute température et riches en oxygène, tels que la projection thermique à haute vitesse (HVOF), la projection plasma atmosphérique (APS), le soudage et le découpage plasma haute puissance, et les chambres de combustion des turbines à gaz, les buses en alliage de tungstène présentent des performances exceptionnelles : elles sont incombustibles, étanches à l'oxygène et résistantes à l'écaillage. La durée de vie d'une seule buse dépasse facilement plusieurs milliers d'heures,

COPYRIGHT AND LEGAL LIABILITY STATEMENT

tandis que les buses traditionnelles à support en cuivre ou en carbure cémenté tombent souvent en panne après seulement quelques centaines d'heures en raison de l'oxydation et de la corrosion. Cette résistance à l'oxydation permet aux buses en alliage de tungstène d'exposer directement leur gorge aux flux d'énergie les plus chauds et les plus riches en oxygène, contrôlables par l'homme, sans le moindre problème. Elles repoussent ainsi les limites de température de procédés tels que la projection thermique, la génération de plasma et la combustion à haute température de plusieurs centaines de degrés Celsius. L'extrême stabilité chimique, et notamment la double excellence de résistance à la corrosion acide et alcaline et à l'oxydation à haute température, élève les buses en alliage de tungstène d'un simple « matériau » à un « canal perpétuel capable de résister à toute érosion chimique pendant toute sa durée de vie ».

3.6 Conductivité thermique des buses en alliage de tungstène

La conductivité thermique est la propriété essentielle qui permet aux buses en alliage de tungstène de conserver leur stabilité et leur efficacité sous des charges thermiques extrêmes. Elle empêche le col de se ramollir, de s'oxyder ou de se déformer en raison d'une surchauffe localisée, notamment face aux flammes ou aux réflexions laser à des températures atteignant plusieurs milliers de degrés Celsius. Au contraire, elle agit comme un puissant conducteur de chaleur, dissipant rapidement la chaleur destructrice vers la paroi extérieure refroidie par eau ou vers l'environnement. Ainsi, la buse, d'abord soumise aux hautes températures, devient un véritable maître de ces dernières. C'est précisément grâce à cette propriété que les buses en alliage de tungstène peuvent résister à une exposition prolongée aux environnements industriels les plus chauds, tels que la projection thermique, la génération de plasma, le rechargement laser et la combustion à haute puissance, sans se détériorer.

3.6.1 Plage de paramètres clés de la conductivité thermique

tungstène présentent un gradient thermique distinct selon les proportions : la proportion tungstène-nickel-fer à haute résistance offre une conductivité thermique supérieure grâce à la présence de fer ; la proportion tungstène-nickel-cuivre, non magnétique et résistante à la corrosion, bénéficie d'un coefficient encore amélioré grâce à l'excellente conductivité thermique intrinsèque du cuivre ; la proportion de base à forte teneur en tungstène assure un équilibre entre les deux ; enfin, la proportion spéciale supraconductrice permet d'atteindre la limite supérieure théorique des alliages de tungstène existants en augmentant la teneur en cuivre et en contrôlant précisément l'atmosphère de frittage et le processus d'extrusion à chaud ultérieur.

Cette plage de valeurs est le fruit d'une synergie précise entre plusieurs facteurs : la conductivité thermique du tungstène repose principalement sur le transfert d'électrons, et le tungstène pur possède déjà l'un des coefficients de conductivité thermique les plus élevés parmi les métaux ; les phases liantes nickel-fer ou nickel-cuivre comblient les espaces entre les particules de tungstène en couches extrêmement fines, sans créer de résistance thermique significative ni entraver la mobilité électronique globale par alliage ; la structure dense à porosité quasi nulle élimine complètement la diffusion de la chaleur par les pores ; et l'ajout approprié d'éléments de microalliage tels que le cobalt et les terres rares optimise davantage la résistance thermique aux joints de grains, ce qui minimise l'atténuation de la

COPYRIGHT AND LEGAL LIABILITY STATEMENT

conductivité thermique à haute température. Les tests sont réalisés par des mesures continues de scintillation laser de la température ambiante à 1 500 °C, validées par une méthode de comparaison en régime permanent afin de garantir un fort recouvrement des courbes de conductivité thermique pour chaque lot. C'est ce classement précis et ce contrôle extrême de la conductivité thermique qui permettent aux utilisateurs de sélectionner avec exactitude le rapport approprié en fonction de l'intensité de la charge thermique : tungstène-nickel-fer pour les températures élevées modérées, base à haute teneur en tungstène pour les températures élevées modérées et tungstène-nickel-cuivre ou versions supraconductrices spéciales pour les températures très élevées, garantissant ainsi l'absence de gaspillage ou de carence.

3.6.2 Influence de la conductivité thermique sur la distribution de température et la déformation thermique

Une excellente conductivité thermique dans des conditions de travail réelles peut être décrite comme une bataille thermique silencieuse mais à grande échelle, où la vie et la mort s'affrontent en termes de distribution de température et de déformation thermique.

Tout d'abord, elle modifie complètement le champ de température de la buse. Lors de la projection thermique supersonique ou de la projection plasma haute puissance, la surface du col est instantanément soumise à un flux de chaleur de plusieurs milliers de degrés. Si la conductivité thermique est insuffisante, la température locale peut atteindre le point de ramollissement, voire de fusion, en quelques millisecondes, provoquant l'effondrement du col ou l'oxydation et le décollement. Cependant, la conductivité thermique élevée de la buse en alliage de tungstène permet à la chaleur de se diffuser radialement et axialement à des vitesses extrêmement élevées, maintenant ainsi la température maximale au col en dessous d'un seuil de sécurité. La température de la paroi extérieure n'est supérieure que de quelques dizaines de degrés à celle de l'eau de refroidissement, créant une distribution de température idéale avec un gradient thermique extrêmement abrupt entre l'intérieur et l'extérieur. Cette distribution évite non seulement la dégradation du matériau, mais minimise également les contraintes thermiques, car la dilatation thermique se produit principalement dans la couche superficielle extrêmement fine, les couches plus profondes ne subissant pratiquement aucune variation de température.

Deuxièmement, elle élimine quasiment toute déformation thermique. Les buses en matériaux ordinaires subissent d'importantes contraintes thermiques sous l'effet de forts gradients de température, dues à la différence de dilatation interne et externe. Il en résulte une augmentation du diamètre de la gorge, une déviation de l'angle du cône, voire une déformation globale. À l'inverse, les buses en alliage de tungstène, grâce à leur champ de température uniforme créé par une conductivité thermique élevée et un coefficient de dilatation thermique extrêmement faible, suppriment efficacement la déformation thermique jusqu'à un niveau submicronique. Même après des milliers d'heures d'érosion à haute température, la géométrie de la gorge reste parfaitement conforme aux mesures effectuées à froid. Dans les buses coaxiales d'alimentation en poudre pour le rechargement laser, cette caractéristique d'« indéformabilité thermique » garantit une absence totale de dérive entre le point focal du faisceau de poudre et le point focal du laser pendant des milliers d'heures, permettant d'atteindre une précision de formage en une seule passe comparable à celle des pièces forgées.

COPYRIGHT AND LEGAL LIABILITY STATEMENT

Enfin, la conductivité thermique offre un tampon vital contre les chocs thermiques soudains. En cas de combustion incontrôlée en amont ou d'intensification brutale de la réflexion laser, une conductivité thermique élevée permet une dissipation instantanée de la chaleur, engendrant une montée en température extrêmement progressive au niveau du col. Ceci confère un temps de réaction précieux au système de refroidissement par eau et aux opérateurs, évitant ainsi une perforation catastrophique. La conductivité thermique n'est plus un simple paramètre physique, mais un atout stratégique majeur pour les tuyères en alliage de tungstène, leur permettant de transformer la chaleur en sécurité et le danger en protection sur le champ de bataille à haute température. Elle confère à la tuyère, pour la première fois, l'incroyable capacité de conserver son fonctionnement optimal même en cas de combustion intense, permettant ainsi de diriger l'énergie la plus chaude directement vers le col, zone la plus vulnérable, en toute sérénité.

3.7 Conductivité électrique des buses en alliage de tungstène

La conductivité est l'une des propriétés les plus flexibles et contrôlables des buses en alliage de tungstène au sein d'un système de matériaux. À l'instar d'un accordéon pinçant une corde, elle peut être ajustée d'un état hautement conducteur, proche de celui du cuivre pur, à un état isolant presque comparable à celui de la céramique. Cette conductivité personnalisable permet aux buses en alliage de tungstène de répondre précisément aux exigences des procédés dans des environnements électromagnétiques extrêmes, tels que les champs électriques intenses, les courants élevés, les arcs plasma, le chauffage par induction électromagnétique et les champs magnétiques puissants, sans pour autant devenir un point d'attache parasite pour les arcs, générer de la chaleur par courants de Foucault ou interférer avec des mesures électromagnétiques de précision.

3.7.1 Caractéristiques numériques de la conductivité électrique

La conductivité (caractérisée par la résistivité ou la conductivité électrique) des buses en alliage de tungstène présente un spectre complet, allant d'une conductivité élevée à une quasi-isolation : la résistivité des alliages à proportions spécifiques de tungstène-cuivre et de cuivre est la plus faible, proche de celle du cuivre pur ; l'alliage tungstène-nickel-cuivre, non magnétique et résistant à la corrosion, présente une résistivité légèrement supérieure tout en conservant une excellente conductivité ; l'alliage tungstène-nickel-fer, au rapport conventionnel, se situe au milieu, offrant une transition entre une conductivité faible et moyenne ; enfin, les alliages à forte teneur en tungstène et certains rapports spécifiques permettent d'atteindre une résistivité comparable à celle du carbure cémenté, voire de la céramique de zircone, en réduisant la proportion de liant ou en introduisant des traces de phase isolante.

La formation de ce spectre résulte entièrement du contrôle précis du type et de la teneur en phase liante : le cuivre, meilleur conducteur électronique, présente une conductivité plus élevée avec une teneur plus importante et une distribution plus homogène ; la conductivité du fer et du nickel diminue progressivement, et la diffusion des électrons est plus marquée à haute température ; lorsque la quantité totale de la phase liante est réduite au minimum et que les particules de tungstène forment une structure quasi continue, les canaux de migration des électrons sont fortement obstrués, ce qui entraîne une forte augmentation de la résistivité. Lors de la fabrication, la combinaison d'une granulométrie adaptée, d'un réglage précis de la courbe de température de frittage et de procédés d'extrusion à chaud et de recuit

COPYRIGHT AND LEGAL LIABILITY STATEMENT

permet un ajustement précis de la résistivité sur plusieurs ordres de grandeur pour une même formulation. Les tests utilisent une méthode à quatre pointes associée à un système de mesure de résistance sous vide à haute température, garantissant des courbes de résistivité très reproductibles sur toute la plage de températures, de la température ambiante à 1 000 °C.

3.7.2 Adaptabilité de la conductivité à des scénarios d'application spécifiques

La conductivité personnalisable démontre une adaptabilité remarquable dans des scénarios réels, devenant ainsi la clé ultime pour résoudre une série de problèmes électromagnétiques que les matériaux traditionnels ne peuvent surmonter.

Dans les domaines de la projection plasma à l'arc, du soudage et du découpage plasma, les buses en cuivre-tungstène ou en cuivre-nickel-tungstène à haute conductivité peuvent servir d'extensions d'électrodes, participant directement au confinement et à la conduction de l'arc. Résistantes à l'érosion par l'arc, elles dissipent rapidement la chaleur Joule, évitant ainsi la surchauffe et l'affaissement de la gorge. Dans les applications plasma ultra-fines exigeant un contrôle strict du fluage de l'arc, on privilégie une buse à haute résistivité et à forte teneur en tungstène, ce qui lui confère un rôle d'isolant naturel de l'arc. L'arc est ainsi précisément maintenu dans la position souhaitée, et la largeur de coupe ainsi que l'uniformité du revêtement atteignent des niveaux inégalés.

Dans les buses d'enrobage de médicaments, les buses de pulvérisation de stents compatibles avec l'IRM et les buses de nettoyage à séparation magnétique puissante dans des environnements à champ magnétique intense, les propriétés totalement non magnétiques et modérément conductrices du tungstène-nickel-cuivre éliminent la chaleur due aux courants de Foucault et les pertes par hystérésis, garantissant ainsi que la température de la buse n'augmente pratiquement pas dans des champs magnétiques supérieurs à 3T et que la trajectoire du jet n'est absolument pas affectée par la force de Lorentz, assurant ainsi que l'épaisseur de dépôt des particules médicamenteuses est uniforme au niveau nanométrique et répond parfaitement aux exigences de propreté et de sécurité les plus strictes du secteur médical.

coaxiale pour le rechargeement laser assisté par chauffage par induction et la fusion laser sélective ; le rapport tungstène-nickel-fer à conductivité moyenne permet à la buse d'être légèrement préchauffée par le champ d'induction à moyenne fréquence afin de réduire le choc thermique, sans générer de courants de Foucault excessifs qui provoqueraient une surchauffe, garantissant ainsi que le faisceau de poudre reste parfaitement focalisé dans la zone à haute température.

Dans les buses d'atomisation électrostatique haute tension, de pulvérisation électrostatique et de dépoussiérage électrostatique, le rapport de résistivité élevé fait de la buse un support idéal pour les électrodes à effet corona. Le champ électrique, concentré à l'extrémité de la buse, ne se propage pas le long de son corps, optimisant ainsi la taille des particules atomisées et l'adhérence du revêtement.

L'adaptation précise de la conductivité confère aux buses en alliage de tungstène, pour la première fois, la capacité de s'adapter à l'environnement électromagnétique : plus conductrices que le cuivre en cas de

[COPYRIGHT AND LEGAL LIABILITY STATEMENT](#)

besoin, plus isolantes que la céramique lorsque nécessaire, totalement insensibles aux champs magnétiques faibles et dissipant instantanément la chaleur par effet Joule. Il ne s'agit plus d'un simple composant mécanique, mais d'une véritable « peau électromagnétique intelligente » capable de participer activement au contrôle du champ électromagnétique, offrant ainsi aux utilisateurs, pour la première fois, une liberté totale dans la conception des canules nasales, même dans des environnements à fort potentiel électrique, magnétique et électromagnétique. Cette caractéristique de conductivité met fin au dilemme ancestral selon lequel « la résistance aux hautes températures se fait au détriment de la compatibilité électromagnétique, et la compatibilité électromagnétique au détriment de la durée de vie ».

3.8 Résistance à l'usure des buses en alliage de tungstène

La caractéristique la plus cruciale, intuitive et essentielle des buses en alliage de tungstène réside dans leur résistance à l'usure. Elle détermine leur capacité à conserver une géométrie de gorge et une paroi interne lisses, même dans des environnements extrêmement érosifs tels que les flux d'air à grande vitesse chargés de particules dures, les jets d'eau à ultra-haute pression contenant des abrasifs et les impacts répétés de poudre en fusion. Elle assure ainsi la fiabilité continue de la précision du jet, la stabilité du débit et la qualité du processus. La résistance à l'usure des buses en alliage de tungstène surpassé celle des buses traditionnelles en carbure cémenté, en céramique, en acier inoxydable et en tungstène pur.

3.8.1 Mécanisme d'usure et critères d'évaluation de la résistance à l'usure

En service, les buses en alliage de tungstène sont principalement soumises à quatre types d'usure : l'érosion abrasive, l'usure par cavitation, l'usure synergique due au ramollissement à haute température et l'usure composite par adhésion et fatigue. L'érosion abrasive est le mode de défaillance le plus fréquent : des particules dures percutent de manière répétée la gorge et la paroi interne sous différents angles, provoquant des micro-coupes, des rainures ou un écaillage par fatigue. L'usure par cavitation se produit dans les buses à jet d'eau à ultra-haute pression, où l'implosion des bulles de cavitation génère des ondes de choc instantanées à haute pression qui déclenchent un écaillage par fatigue en surface. L'usure synergique due au ramollissement à haute température est courante en projection thermique et en projection plasma : la dureté de la gorge diminue légèrement à haute température, facilitant l'incrustation et la découpe des particules. L'usure composite par adhésion et fatigue se produit dans les buses d'alimentation en poudre pour le rechargement laser : la poudre fondu ou semi-fondu adhère brièvement puis est arrachée par le flux d'air, ce qui entraîne une fatigue par contrainte de traction répétée en surface.

La norme d'évaluation de la résistance à l'usure a constitué un système industriel complet en boucle fermée : en laboratoire, elle utilise le test d'érosion gaz-solide ASTM G76 amélioré, le test de cavitation ASTM G134, le test composite de dureté-érosion à haute température et un test de cycle d'adhérence-déchirure de poudre personnalisé ; en production, elle se base sur l'augmentation du diamètre de la gorge, le taux de détérioration de la rugosité de la paroi interne, le taux d'augmentation de l'angle de divergence du jet et le taux de dérive du flux comme critères ultimes ; enfin, en combinant l'analyse métallographique, l'observation des fractures par microscopie électronique à balayage et la numérisation 3D du contour, une relation complète entre le mécanisme de défaillance microscopique et la durée de vie macroscopique

COPYRIGHT AND LEGAL LIABILITY STATEMENT

est établie. Seules les buses ayant réussi à la fois les tests accélérés extrêmes en laboratoire et les tests industriels de longue durée sont reconnues comme présentant une véritable résistance à l'usure équivalente à celle des alliages de tungstène.

3.8.2 Méthodes d'optimisation des matériaux et des structures pour améliorer la résistance à l'usure

La fabrication de buses en alliage de tungstène est devenue un projet d'ingénierie systématique intégrant les matériaux, la microstructure, la surface et la structure.

Au niveau des matériaux, en augmentant continuellement la teneur en tungstène, en optimisant le rapport de la phase liante, en introduisant du cobalt ou des terres rares pour renforcer les joints de grains et en générant in situ des particules de carbure ou de borure ultra-dures, la dureté intrinsèque, la résistance à la fatigue et la résistance au ramollissement à haute température de la matrice sont portées à leurs limites en une seule étape. À l'échelle microscopique, en contrôlant la distribution granulométrique des particules de tungstène, en obtenant un squelette de tungstène quasi continu et en éliminant les interfaces de liaison faibles et les micropores, les particules abrasives ne produisent qu'une déformation plastique très superficielle sur la couche la plus externe lors de l'impact, empêchant ainsi le détachement de particules de tungstène intactes.

Au niveau de la surface, des techniques telles que la boruration pour former une couche durcie de borure de tungstène de plusieurs micromètres d'épaisseur, le dépôt PVD/CVD de TiAlN, Des revêtements CrN, DLC ou composites multicouches, la refusion laser pour la densification et le polissage électrolytique au plasma sont utilisés pour améliorer la dureté de surface et réduire le coefficient de frottement, tout en diminuant significativement l'adhérence et la probabilité d'amorçage de fissures de fatigue. Au niveau structurel, l'optimisation de l'angle du cône de Laval et de la longueur de la section d'expansion pour réduire les angles d'impact des particules, la conception de microtextures sur la paroi interne pour favoriser le glissement des particules plutôt que les collisions frontales, et la mise en place d'une section de stabilisation avant le col pour atténuer la turbulence permettent de réduire significativement l'intensité d'érosion. Ces méthodes ne sont pas utilisées isolément, mais combinées en fonction des mécanismes d'usure spécifiques : les buses de projection thermique utilisent des matériaux lourds, une boruration et une refusion laser ; les buses de découpe au jet d'eau utilisent des formulations à haute ténacité et un revêtement DLC ; et les buses de distribution de poudre utilisent des parois internes à finition miroir, des revêtements à faible coefficient de frottement et une microtexture. C'est cette optimisation synergique tout au long de la chaîne, de l'échelle atomique à la géométrie macroscopique, qui a permis à la résistance à l'usure des buses en alliage de tungstène de passer d'une résistance « nettement supérieure à celle des matériaux traditionnels » au miracle industriel d'une usure « quasi nulle ».

3.9 Résistance aux chocs des buses en alliage de tungstène

La résistance aux chocs est le principal avantage des buses en alliage de tungstène par rapport à la céramique, au carbure cémenté et au tungstène pur. Elle permet à la buse de supporter des charges dynamiques extrêmes, telles que des impacts instantanés à grande vitesse dus à des particules dures, des

COPYRIGHT AND LEGAL LIABILITY STATEMENT

coups de bélier à très haute pression, des chocs thermiques importants et des explosions accidentelles par surpression, sans fragmentation fragile ni déformation plastique irréversible. De ce fait, le tungstène est le seul matériau de gorge capable de résister durablement aux conditions de travail les plus violentes et imprévisibles.

3.9.1 Méthodes d'essai et indicateurs de résistance aux chocs

Les buses en alliage de tungstène constituent un système complet qui combine simulation accélérée en laboratoire et vérification en conditions industrielles extrêmes.

La phase de laboratoire utilise principalement trois méthodes de base :

- Essai d'impact par érosion particulaire à haute vitesse : des abrasifs standard tels que l'alumine, le carbure de silicium et le grenat sont projetés par air comprimé ou hélium afin de bombarder de manière répétée la gorge et la paroi interne de la buse à un angle et une vitesse contrôlables. Le nombre d'impacts critiques et l'énergie à laquelle apparaissent les premières microfissures ou ébréchures visibles sont enregistrés.
- Test d'impact dynamique par coup de bélier à ultra-haute pression : une onde de choc instantanée à haute pression est générée par un canon à eau pulsé spécial pour simuler l'effondrement des bulles de cavitation et le changement de pression, et pour détecter le seuil d'écaillage par fatigue de surface et de fissuration générale.
- On chauffe la surface à plus de 1 500 degrés Celsius à partir de la température ambiante en quelques secondes, puis on la refroidit rapidement à l'eau. Ce cycle est répété des centaines de fois afin d'évaluer la propagation des microfissures et la tendance à la macrofracture induites par le choc thermique.

La phase de vérification industrielle utilise les performances en service réel comme indicateur ultime : si la gorge reste intacte après des milliers d'heures de projection par un flux d'air supersonique contenant des particules dures ; si la buse à jet d'eau reste intacte après une surpression accidentelle ou des arrêts et redémarrages fréquents ; et si la buse de projection thermique peut continuer à être utilisée après un choc thermique extrême causé par une combustion incontrôlée.

3.9.2 Importance de la résistance aux chocs pour l'adaptabilité aux conditions de travail complexes

L'importance de la résistance aux chocs dans des conditions de travail réelles et complexes va bien au-delà du simple mot « durable ». Elle détermine directement si une buse peut survivre à long terme dans un environnement industriel plein d'incertitudes.

Lors de la projection thermique supersonique et de la projection à froid, la buse est soumise à l'impact de dizaines de milliers de particules dures, frontales ou tangentielles, chaque seconde. Les buses en céramique se brisent souvent en fragments fragiles en quelques minutes, tandis que les buses en carbure cémenté développent des fissures de fatigue après des centaines d'heures. En revanche, les buses en alliage de tungstène, grâce à leur résistance supérieure aux chocs et à la fatigue, restent aussi propres

COPYRIGHT AND LEGAL LIABILITY STATEMENT

qu'au premier jour même après des milliers d'heures, la vitesse des particules et la distribution de température étant toujours maintenues dans la plage optimale.

Dans le domaine du nettoyage par jet d'eau à ultra-haute pression, les contraintes d'impact locales générées par les arrêts et redémarrages fréquents, les variations de pression et l'implosion instantanée des bulles de cavitation sont extrêmement élevées. Les buses traditionnelles sont sujettes aux fissures circonférentielles et à la rupture. En revanche, les buses en alliage de tungstène, grâce à leur résistance exceptionnelle aux chocs et à leur robustesse, permettent aux opérateurs de travailler en continu pendant des milliers d'heures, même dans les environnements marins ou de décontamination nucléaire les plus extrêmes, sans craindre une défaillance soudaine.

Lors du rechargement laser avec alimentation coaxiale en poudre et projection plasma haute puissance, des incidents imprévus tels que l'emballage de la combustion, la réflexion du laser et les explosions dues à l'agglomération de poudre surviennent fréquemment. Les buses en alliage de tungstène absorbent souvent toute l'énergie par une légère déformation plastique localisée, finissant par se rompre de manière sûre (« en se dilatant sans se briser ni projeter de particules »), ce qui permet de gagner un temps précieux pour la réparation des équipements et du personnel, tandis que d'autres matériaux se sont déjà transformés en fragments dangereux.

L'aspect le plus significatif réside dans sa résistance aux chocs, qui permet aux buses en alliage de tungstène d'intégrer, pour la première fois, l'imprévisibilité dans leurs tolérances de conception. Elles n'exigent plus une perfection constante des équipements en amont, mais absorbent proactivement les chocs inattendus les plus violents, devenant ainsi le dernier rempart de sécurité et la garantie de durée de vie de l'ensemble de la chaîne de production. Cette résistance aux chocs transforme les buses en alliage de tungstène, de simples consommables de précision, en un élément fondamental et fiable pour la sécurité des personnes dans l'industrie.

3.10 Stabilité dimensionnelle des buses en alliage de tungstène

La stabilité dimensionnelle est la condition essentielle pour que les buses en alliage de tungstène garantissent une qualité de jet conforme aux spécifications initiales. Elle assure que le diamètre de la gorge, l'angle du cône et le profil de la section d'expansion restent pratiquement inchangés dans des plages de températures extrêmes, de la température ambiante à plusieurs milliers de degrés Celsius, et de la pression atmosphérique à plusieurs centaines de mégapascals. Elle constitue ainsi la référence géométrique ultime pour tous les procédés de jet de précision.

3.10.1 Lois de déformation dimensionnelle sous l'effet des variations de température

La buse en alliage de tungstène, soumise à des variations de température rapides, présente une linéarité quasi parfaite et une pente extrêmement faible. Grâce au coefficient de dilatation thermique ultra-faible du tungstène, à la contrainte synergique de la phase liante et à la structure rigide à porosité quasi nulle, la dilatation thermique axiale et radiale de la buse est extrêmement faible et très uniforme lors d'un chauffage de la température ambiante à plus de 1500 °C, sans déformation irréversible notable. Lors de

COPYRIGHT AND LEGAL LIABILITY STATEMENT

variations thermiques rapides, le choc thermique instantané ne crée qu'un gradient de température très faible sur la couche externe, tandis que l'intérieur conserve ses dimensions initiales. Après un maintien prolongé à haute température et un retour subséquent à température ambiante, la géométrie du col correspond parfaitement aux mesures à froid, sans hystéresis ni déformation résiduelle.

3.10.2 Influence de la stabilité dimensionnelle sur la précision d'injection

La stabilité dimensionnelle garantit la constance des paramètres clés du jet : débit, vitesse, angle de divergence, directivité et homogénéité des lots. En projection thermique, le diamètre et l'angle du cône, parfaitement constants, assurent une vitesse des particules et une distribution de température inchangées pendant des milliers d'heures, maintenant ainsi une densité de revêtement et une adhérence optimales. En découpe au jet d'eau à ultra-haute pression, la taille constante du diamètre du col garantit une largeur de coupe et une rugosité de surface parfaitement homogènes, de la première à la dernière passe. En alimentation coaxiale de poudre pour le rechargeement laser, la géométrie parfaite des trajets de poudre et de gaz permet une coïncidence micrométrique entre le point focal du faisceau de poudre et le point focal du laser, pour une précision de formage en une seule passe comparable à celle des pièces forgées. La stabilité dimensionnelle transforme la précision du jet, d'un paramètre à maîtriser autant que possible, en un résultat incontournable, permettant aux ingénieurs de procédés de lier directement la durée de vie de la buse à la qualité du produit final, sans ajout de tolérance.

3.11 Résistance aux radiations des buses en alliage de tungstène

Les buses en alliage de tungstène surpassent les aciers inoxydables traditionnels, les alliages de titane et les alliages haute température à base de nickel dans les environnements de rayonnement à flux élevé de neutrons, de rayons gamma, de particules alpha et bêta, ce qui en fait le seul matériau de gorge capable de servir longtemps dans les parties les plus exigeantes de l'industrie nucléaire.

3.11.1 Principaux indicateurs d'évaluation de la performance en matière de résistance aux radiations

L'évaluation de la résistance aux radiations repose sur trois indicateurs clés : le taux de gonflement sous irradiation, la tendance à la fragilisation sous irradiation et le taux de rétention des propriétés mécaniques. Les alliages de tungstène, grâce à leur numéro atomique élevé, leur réseau cristallin dense et leur section efficace de capture neutronique modérée, présentent des taux de gonflement extrêmement faibles après irradiation, car les lacunes et les atomes interstitiels se recombinent rapidement. La phase liante optimisée ne présente quasiment aucune transition de phase ordonnée à longue portée, minimisant ainsi la fragilisation sous irradiation. L'irradiation à haute température entraîne des diminutions minimales de la dureté, de la résistance à la traction et de la résilience, et dans certaines formulations, un renforcement sous irradiation est même observé. Les méthodes d'évaluation comprennent un chargement à long terme dans le réacteur, des mesures métallographiques et mécaniques après irradiation par un accélérateur à haut flux, et l'analyse par spectroscopie de désorption thermique de la tendance à la fragilisation par l'hélium.

COPYRIGHT AND LEGAL LIABILITY STATEMENT

Copyright© 2024 CTIA All Rights Reserved
标准文件版本号 CTIAQCD-MA-E/P 2024 版
www.ctia.com.cn

电话/TEL: 0086 592 512 9696
CTIAQCD-MA-E/P 2018-2024V
sales@chinatungsten.com

3.11.2 Adaptabilité de l'application aux environnements radiatifs tels que l'industrie nucléaire

Dans les environnements radiologiques les plus exigeants de l'industrie nucléaire, les buses en alliage de tungstène sont devenues une norme incontournable. Lors d'applications telles que le nettoyage des pompes principales des réacteurs, le traitement des déchets nucléaires par jet d'eau à haute pression, la décontamination des assemblages combustibles, le refroidissement des cibles de production d'isotopes et l'atomisation de précision dans les chambres chaudes, les buses doivent résister simultanément aux dommages combinés d'une forte irradiation neutronique, des rayons gamma et des milieux radioactifs à haute température et haute pression. Les matériaux traditionnels cèdent souvent en quelques mois sous l'effet du gonflement et de la fissuration dus aux radiations, de la fragilisation ou de la corrosion. En revanche, les buses en alliage de tungstène, grâce à leur gonflement quasi nul, leur fragilisation extrêmement faible et leur excellente résistance à la corrosion, conservent leur intégrité géométrique et la stabilité du jet pendant plusieurs années à l'intérieur du réacteur ou de la chambre chaude, garantissant ainsi l'efficacité de la décontamination et minimisant le volume des déchets radioactifs. Dans les environnements sous vide et à rayonnement intense des chambres cibles des accélérateurs, des têtes de source de rayonnement synchrotron et des chambres chaudes de production d'isotopes, les buses en alliage de tungstène, utilisées comme buses de refroidissement, cols de confinement du faisceau et composants de transition pour l'étanchéité sous vide, résistent à un bombardement prolongé de rayons gamma et de particules chargées à haute dose sans activation ni dérive dimensionnelle significatives, garantissant ainsi la qualité du faisceau et la disponibilité des équipements. Cette résistance aux radiations permet, pour la première fois, d'utiliser les buses en alliage de tungstène dans la zone de col la plus vulnérable de l'industrie nucléaire, devenant ainsi le seul lien entre les exigences extrêmes de « rayonnement intense » et de « jet de précision ».

3.12 Caractéristiques de surface des buses en alliage de tungstène

Les propriétés de surface constituent la première interface entre les buses en alliage de tungstène et les fluides à grande vitesse, les particules et les gouttelettes. Elles déterminent la résistance à l'écoulement, la tendance à l'adhérence des particules, le seuil d'amorçage de la cavitation, l'angle de divergence du jet et la durée de vie finale, représentant l'étape ultime de la transformation des avantages intrinsèques du matériau en performances de procédé réelles.

3.12.1 Caractéristiques de la rugosité de surface et du coefficient de frottement

Après un polissage de précision, la paroi interne de la buse en alliage de tungstène atteint une rugosité quasi miroir, sans aspérités microscopiques susceptibles d'empêcher l'adhérence de particules ou de gouttelettes. Il en résulte des coefficients de frottement dynamique et statique extrêmement faibles. La gorge et la section d'expansion sont recouvertes d'un revêtement naturellement ultra-glissant, permettant aux écoulements diphasiques gaz-solide ou gaz-liquide de glisser le long de la paroi plutôt que de rouler, réduisant ainsi considérablement la turbulence de la couche limite, la résistance à l'écoulement et le bruit. Parallèlement, le coefficient de frottement extrêmement faible favorise le glissement tangentiel des particules dures le long de la paroi plutôt que leur incrustation verticale, réduisant significativement l'usure par micro-coupe et labourage. Cette caractéristique de surface « invisible à la lumière, glissante

COPYRIGHT AND LEGAL LIABILITY STATEMENT

au toucher » rend la buse en alliage de tungstène plus propre, plus silencieuse et plus résistante à l'usure que les parois internes de matériaux traditionnels dans les mêmes conditions de fonctionnement.

3.12.2 Le rôle du traitement de surface dans l'amélioration des propriétés

Les traitements de surface optimisent les propriétés des buses en alliage de tungstène, les faisant passer d'« excellentes » à « extrêmes ». La boruration forme une couche de borure de tungstène extrêmement dure, portant la dureté de surface à un niveau proche de celui du diamant. Le dépôt PVD/CVD de revêtements TiAlN, CrN, DLC ou de nanocomposites multicouches réduit davantage le coefficient de frottement jusqu'à un niveau de lubrification extrême, tout en offrant une protection multicouche contre l'adhérence, l'oxydation et la corrosion. La refusion laser et le polissage électrolytique au plasma préservent la ténacité du substrat tout en densifiant la surface et en éliminant les défauts microscopiques. La microtexturation introduit des microcavités ou des micro-rainures ordonnées sur une surface polie miroir, favorisant le glissement des particules et réduisant l'intensité des turbulences. Ces traitements ne sont pas simplement superposés, mais combinés en fonction des conditions de fonctionnement spécifiques : boruration poussée + refusion laser pour les buses de projection thermique, DLC épais pour les buses de découpe au jet d'eau et revêtement à faible frottement épais + microtexturation pour les buses de projection de poudre. Les traitements de surface font évoluer la paroi intérieure des buses en alliage de tungstène d'un état « naturellement lisse » à un état « artificiellement parfait », augmentant ainsi leur durée de vie et la qualité du jet d'un ordre de grandeur.

3.13 Résistance à la fatigue des buses en alliage de tungstène

La résistance à la fatigue est la garantie fondamentale que les buses en alliage de tungstène restent intactes après des dizaines de milliers de cycles thermiques, des millions d'impulsions de pression et des centaines de millions d'impacts de particules. Pour la première fois, elle permet d'éliminer complètement la fatigue comme cause principale de défaillance des buses.

3.13.1 Méthodes d'essai et facteurs influençant la durée de vie en fatigue

Les essais de fatigue ont mis en place un système de vérification à deux volets combinant des essais accélérés en laboratoire et des essais industriels à cycles longs. Le laboratoire utilise une machine de fatigue à impulsions pneumatiques pour simuler les démarriages et arrêts à très haute pression, une machine de fatigue par choc thermique pour réaliser des cycles chauds et froids de second niveau, une machine de fatigue ultrasonique pour évaluer la fatigue par impact de particules à des fréquences extrêmement élevées, et une presse servo-hydraulique pour réaliser des essais de fatigue composite en traction-compression-torsion.

3.13.2 Performances de résistance à la fatigue sous conditions de charge alternées

Dans des conditions réelles de charges alternées, les buses en alliage de tungstène présentent une résistance à la fatigue quasi exceptionnelle. Sous les millions d'impulsions de pression générées par les cycles d'allumage et d'extinction fréquents des jets d'eau à ultra-haute pression, les matériaux

COPYRIGHT AND LEGAL LIABILITY STATEMENT

traditionnels auraient déjà subi des fissures de fatigue, tandis que la gorge de la buse en alliage de tungstène est restée intacte. Lors des milliers de cycles quotidiens d'allumage et d'extinction des pistolets de projection thermique, d'autres matériaux ont développé un réseau de fissures de fatigue thermique, mais la surface de la buse en alliage de tungstène est restée lisse. Dans les buses coaxiales d'alimentation en poudre pour le rechargement laser, soumises à des impacts explosifs dus à l'agglomération de poudre lors d'un fonctionnement continu prolongé, les buses ordinaires ont présenté un écaillage par fatigue, tandis que la paroi interne de la buse en alliage de tungstène est restée comme neuve après des milliers d'heures.

3.14 Fiche de données de sécurité des buses en alliage de tungstène de CTIA GROUP LTD

La fiche de données de sécurité (FDS) des buses en alliage de tungstène de CTIA GROUP LTD est un document normalisé relatif à la sécurité chimique, élaboré par l'entreprise pour ses buses haute densité à base de tungstène. Elle vise à fournir des recommandations complètes et fiables en matière d'identification et de protection des risques tout au long du cycle de vie, depuis l'approvisionnement en matières premières, la production et la transformation, l'installation des équipements, l'application sur le terrain, la maintenance et l'élimination finale. En tant que fournisseur mondial de premier plan de matériaux en tungstène, la FDS de CTIA GROUP LTD est strictement conforme aux exigences du Système général harmonisé de classification et d'étiquetage des produits chimiques (SGH) des Nations Unies et à la norme nationale chinoise GB/T 16483. Elle couvre des modules essentiels tels que l'identification des substances, leurs propriétés physiques et chimiques, leur stabilité et leur réactivité, les informations toxicologiques, les effets écotoxicologiques, l'élimination, les informations relatives au transport, ainsi que les déclarations réglementaires et de responsabilité, garantissant ainsi aux utilisateurs des opérations zéro accident et zéro pollution lors des processus industriels de pulvérisation, de nettoyage, de découpe et d'atomisation.

Le module d'identification des matériaux clarifie d'abord la composition chimique de la buse en alliage de tungstène : principalement du tungstène (CAS 7440-33-7), complété par du nickel (CAS 7440-02-0), du fer (CAS 7439-89-6) ou du cuivre (CAS 7440-50-8), formant un composite métallique haute densité avec un éclat métallique gris argenté typique.

Le module relatif aux propriétés physiques et chimiques décrit la buse en alliage de tungstène comme un composite métallique à point de fusion élevé, résistant aux hautes températures, avec une solubilité extrêmement faible, insoluble dans l'eau, mais soluble dans l'eau régale ou l'acide sulfurique concentré chaud.

La section relative à la stabilité indique que la buse est très stable à température ambiante, mais qu'une oxydation superficielle peut se produire à haute température. Il est donc recommandé de la stocker dans un endroit sec et bien ventilé et d'éviter tout contact direct avec des acides et des bases forts. Les informations relatives au transport classent la buse en alliage de tungstène comme marchandise non dangereuse et autorisent son transport comme des produits métalliques ordinaires. Les informations réglementaires mentionnent les déclarations de conformité aux réglementations REACH et RoHS, ainsi qu'à la norme chinoise GB 30000.

COPYRIGHT AND LEGAL LIABILITY STATEMENT

Copyright© 2024 CTIA All Rights Reserved
标准文件版本号 CTIAQCD-MA-E/P 2024 版
www.ctia.com.cn

电话/TEL: 0086 592 512 9696
CTIAQCD-MA-E/P 2018-2024V
sales@chinatungsten.com

Chapitre 4 Fabrication des buses en alliage de tungstène

4.1 Procédé de préparation des matières premières pour les buses en alliage de tungstène : du minerai de tungstène à la poudre d'alliage

La qualité des buses en alliage de tungstène repose avant tout sur la pureté et la perfection microscopique de la poudre. Les entreprises leaders ont intégré verticalement l'intégralité de la chaîne d'approvisionnement, assurant ainsi un contrôle en boucle fermée, de l'extraction du minerai à la production de la poudre composite finale. La moindre fluctuation dans un processus donné se répercute infiniment sur les milliers d'heures d'utilisation dans des conditions extrêmes.

4.1.1 Prétraitement du minerai de tungstène : procédés d'enrichissement et de purification

Le prétraitement du minerai de tungstène utilise la wolframite et la scheelite comme matières premières et transforme le minerai initial à faible teneur en un concentré à haute teneur grâce à des procédés combinés de séparation gravimétrique, de flottation, de séparation magnétique et à plusieurs étapes. L'objectif principal est d'éliminer en profondeur les impuretés nocives telles que le phosphore, l'arsenic, le molybdène, l'étain et le silicium. Des méthodes de purification chimique, comme l'ébullition alcaline à haute température et haute pression, la décomposition sélective à l'acide chlorhydrique ou l'extraction par solvant à plusieurs étapes, sont utilisées pour réduire la teneur en impuretés à l'état de traces, permettant ainsi d'obtenir un précurseur de tungstate ultra-pur directement utilisable dans la production de poudre de tungstène de qualité pour buses. Ce procédé constitue une base de pureté pour les étapes ultérieures de réduction et d'alliage.

4.1.2 Préparation de la poudre de tungstène : procédé de réduction et contrôle de la taille des particules

La préparation de la poudre de tungstène repose sur un procédé classique de réduction à l'hydrogène en plusieurs étapes, utilisant comme matières premières du paratungstate d'ammonium de haute pureté ou de l'oxyde de tungstène. Un contrôle précis des zones de température de réduction, des profils de flux d'hydrogène, de la vitesse de propulsion du creuset et de l'atmosphère du four permet une transformation complète de l'oxyde grossier en poudre de tungstène ultrafine. Le contrôle de la granulométrie est crucial : grâce à une combinaison de réduction primaire à moyenne température et à cycle long, de réduction fine à basse température, de classification par flux d'air et de tamisage ultrasonique, la poudre de tungstène présente une morphologie sphérique quasi idéale, une distribution granulométrique extrêmement étroite et une surface propre et agglomérée, fournissant ainsi des particules initiales optimales pour l'alliage ultérieur et le moulage haute densité.

4.1.3 Traitement d'alliage : Points clés des procédés de dopage et de mélange

L'alliage est l'étape cruciale qui détermine les performances finales de la buse. Les poudres de nickel, de fer, de cuivre ou leurs alliages pré-alliés sont pesées avec précision selon le rapport cible, puis introduites avec de la poudre de tungstène dans un broyeur à billes à haute énergie ou un système de mélange

COPYRIGHT AND LEGAL LIABILITY STATEMENT

tridimensionnel à haut rendement. Un procédé composite de mélange humide, de séchage sous vide et de réduction secondaire sous atmosphère protectrice est utilisé pour garantir que la phase liante enrobe uniformément les particules de tungstène à l'échelle atomique, tout en empêchant toute oxydation et contamination par le carbone. Des proportions spécifiques sont introduites à ce stade pour ajouter des éléments de micro-alliage tels que le molybdène, le rhénium, le cobalt et des terres rares. Grâce à un mélange à basse vitesse et à cycles ultra-longs, et à de multiples retournements, une solution solide ou une dispersion parfaitement homogène est obtenue, jetant ainsi les bases de la formation d'une microstructure optimale lors du frittage ultérieur.

4.1.4 Contrôle des performances des poudres : optimisation de la fluidité et de la masse volumique apparente

La fluidité de la poudre et sa densité de tastement déterminent directement l'uniformité de densité et la densité finale de frittage de la pièce crue. Grâce à diverses méthodes telles que la granulation par pulvérisation, le micro-revêtement de surface, la sphéroïdisation des particules, le dégazage sous vide et le recuit à basse température, l'entreprise obtient une poudre composite hautement sphérique, exempte de sphères satellites et de vides internes. Le débit Hall et la densité de tastement sont ainsi maintenus dans une plage optimale, rendant les variations d'un lot à l'autre pratiquement imperceptibles. Cette poudre, caractérisée par une fluidité comparable à celle d'un liquide et une compacité comparable à celle d'un solide, permet un pressage isostatique à froid et un moulage de précision ultérieurs, garantissant ainsi l'obtention de pièces crues sans gradient de densité ni défauts internes.

4.2 Procédé de formage des buses en alliage de tungstène : technologie et sélection du formage des ébauches

Le préformage constitue la première étape de « finalisation » dans la fabrication des buses en alliage de tungstène. Il détermine si le frittage et la finition ultérieurs permettront d'atteindre la densité théorique et un état sans défaut. Les entreprises leaders ont mis en place une matrice technologique complète, reposant sur le moulage traditionnel, le pressage isostatique et la fabrication additive. Elles ont également établi une logique de sélection des procédés claire, basée sur la taille de la buse, sa complexité structurelle, son rapport d'aspect, la taille du lot et la tolérance aux coûts, afin de garantir que chaque buse bénéficie du procédé de formage le plus adapté et le plus économique.

4.2.1 Moulage par compression traditionnel : Processus de compression et contrôle des paramètres

Le moulage traditionnel est principalement utilisé pour les buses à orifice droit de petite à moyenne taille, relativement simples, et les buses Laval courtes. Il emploie des moules en carbure de haute précision et des mandrins interchangeables, permettant un moulage unidirectionnel ou bidirectionnel sur presses hydrauliques ou servo-hydrauliques. Ses principaux avantages résident dans le contrôle précis du gradient de pression de pressage, la sélection rigoureuse des agents de démolage lubrifiants, le remplissage uniforme en poudre et l'optimisation des paramètres tout au long du cycle de pressage, de maintien et de démolage. On obtient ainsi une préforme exempte de délamination, de fissures aux extrémités et de zones mortes après démolage. Cette technologie de moulage éprouvée, aux coûts de

COPYRIGHT AND LEGAL LIABILITY STATEMENT

moules réduits et au temps de cycle court, constitue la solution économique privilégiée pour la production annuelle de centaines de milliers de buses conventionnelles.

4.2.2 Technologie de formage de précision : Avantages du procédé de pressage isostatique

Le pressage isostatique (principalement le pressage isostatique à froid (PIC) et, secondairement, le pressage isostatique à chaud (PIC)) est devenu la technologie de formage dominante pour les buses haut de gamme en alliage de tungstène. Le pressage isostatique à froid utilise un liquide comme fluide de transmission de la pression, permettant d'obtenir une pression uniforme et omnidirectionnelle à 360°, dépassant aisément un rapport longueur/diamètre de quarante et éliminant totalement le gradient de densité et les contraintes internes inhérents au moulage. Le pressage isostatique à chaud, quant à lui, réalise simultanément le frittage et la densification dans une atmosphère inerte à haute température et haute pression, produisant directement une préforme de densité quasi théorique sans nécessiter d'usinage ultérieur pour corriger les déformations de frittage. Le procédé de pressage isostatique garantit que la préforme de buse présente d'emblée des qualités parfaites de « porosité nulle, de contrainte nulle et de déviation géométrique nulle », ce qui en fait la seule voie fiable pour les buses Laval ultra-longues, les buses à canaux d'écoulement internes complexes et les buses ultra-hautes performances.

4.2.3 Technologie de fabrication additive : exploration des applications d'impression 3D

La fusion sélective par laser (SLM), la fusion sélective par faisceau d'électrons (EBM) et la projection de liant (avec déliantage et frittage) repoussent rapidement les limites géométriques des buses en alliage de tungstène. La SLM permet d'imprimer en une seule étape des buses intégrées dotées de canaux de refroidissement spiralés, de sections d'expansion à section variable, de grilles de stabilisation de flux intégrées, et même de réseaux multi-orifices, éliminant ainsi les limitations physiques des procédés traditionnels d'extraction sur mandrin et d'usinage de trous profonds. La projection de liant, quant à elle, permet de réaliser des buses complexes de grande taille, quasiment à la forme finale, à moindre coût. Actuellement, la fabrication additive assure une production de masse stable pour les petites séries de buses personnalisées, les prototypes de vérification fonctionnelle rapide et les buses de refroidissement ultra-complexes de qualité aérospatiale. Elle devrait à terme remplacer complètement les procédés traditionnels pour les buses à gradient fonctionnel et les pistolets de pulvérisation intégrés.

4.2.4 Sélection du procédé de moulage : en fonction des spécifications de la buse et des exigences du lot

Un arbre de décision de sélection clair a été établi dans la pratique industrielle :

- Production en série, buses conventionnelles à orifice droit ou buses Laval courtes → Moulage traditionnel + usinage
- Buses Laval grand volume, ultra-longues ou haute précision → Pressage isostatique à froid + finition mineure

COPYRIGHT AND LEGAL LIABILITY STATEMENT

- Production en petites et moyennes séries, canaux d'écoulement internes complexes ou structures de refroidissement intégrées → Formage par pressage isostatique à froid + pressage isostatique à chaud
- Production en très petits lots, géométrie extrêmement complexe ou prototypage itératif rapide → SLM ou projection de liant
- Exigences de densité extrêmement élevée et de géométrie complexe → Pressage isostatique à chaud ou SLM + post-traitement par pressage isostatique à chaud

Cette logique de sélection matricielle maximise les avantages économiques et technologiques de chaque procédé, tout en garantissant que, quelle que soit la taille du lot ou la complexité structurelle, l'ébauche de buse atteigne la densité théorique et la valeur géométrique optimale. On obtient ainsi un nouveau paradigme de fabrication : « production de masse sans perte de qualité ni augmentation de prix pour la personnalisation ».

4.3 Procédé de frittage des buses en alliage de tungstène : technologie clé pour la densification

Le frittage est l'étape décisive de la transformation des buses en alliage de tungstène, initialement constituées de poudre, en pièces fonctionnelles de densité quasi théorique. C'est également l'étape la plus complexe techniquement et potentiellement la plus critique de toute la chaîne de fabrication. La présence de porosité, d'une microstructure irrégulière, ou encore de fissures et de déformations compromet totalement la résistance à l'érosion et la stabilité dimensionnelle de la buse. Les entreprises leaders ont élevé le frittage au rang d'« alliance parfaite entre art et science », garantissant ainsi que la densité, la microstructure et les performances de chaque buse atteignent pleinement les limites théoriques après frittage. Ce résultat est obtenu grâce à un précuissage, un frittage à haute température, un contrôle précis des mécanismes de densification et une gestion des défauts sans tolérance.

4.3.1 Traitement avant cuisson : Processus de dégraissage et de relaxation des contraintes

Le précuissage est l'étape invisible qui garantit la réussite du frittage. Elle assure principalement l'élimination complète des agents de granulation et de moulage, la relaxation totale des contraintes de pressage et des contraintes résiduelles dans le mélange, ainsi que la liaison initiale des particules de tungstène. Ce procédé est réalisé dans un four à hydrogène continu ou segmenté, selon une courbe de chauffage extrêmement lente et progressive. Dans un premier temps, la matière organique est pyrolysée et volatilisée dans la zone basse température ; ensuite, la réduction par l'hydrogène élimine la couche d'oxyde superficielle dans la zone moyenne température ; et enfin, la liaison préliminaire du col et la relaxation des contraintes sont obtenues à plus haute température.

4.3.2 Frittage à haute température : paramètres clés pour le contrôle de la température et de l'atmosphère

Le frittage à haute température est le procédé principal de densification des buses en alliage de tungstène. Il s'effectue généralement dans un four de frittage vertical ou horizontal sous double atmosphère vide-hydrogène. Le procédé repose principalement sur la liquéfaction complète de la phase liante, le

[COPYRIGHT AND LEGAL LIABILITY STATEMENT](#)

réarrangement des particules de tungstène et la dissolution-représécitation. Des courbes de chauffage, de maintien et de refroidissement précises garantissent que la phase liquide imprègne parfaitement la structure de tungstène et remplit tous les pores. La régulation de la température utilise un chauffage multizone indépendant et une boucle de rétroaction thermographique infrarouge pour minimiser les écarts de température dans tout le four. La régulation de l'atmosphère comprend un dégazage complet sous vide, suivi de l'introduction d'hydrogène humide de haute pureté, puis de sa conversion en hydrogène sec, permettant ainsi l'élimination quasi totale de l'oxygène et du carbone résiduels. Le cycle de frittage complet dure plusieurs dizaines d'heures ; toute surchauffe ou fluctuation de l'atmosphère est considérée comme une perte de contrôle critique.

4.3.3 Mécanisme de densification par frittage : contrôle de la porosité et corrélation des performances

Les buses en alliage de tungstène suivent un mécanisme de frittage en phase liquide typique en trois étapes : la première étape de réarrangement des particules repose sur les forces capillaires en phase liquide pour obtenir une densification rapide ; la deuxième étape de dissolution-représécitation assure la fermeture finale des pores par enrobage des particules les plus petites par les plus grandes et par dissolution et précipitation du tungstène dans la phase liante ; enfin, la troisième étape de diffusion à l'état solide élimine les micropores intragranulaires résiduels. Les performances finales sont fortement corrélées à la porosité : les pores sphériques fermés sont extrêmement rares et de petite taille, n'ayant quasiment aucun impact sur la résistance et la tenue à l'usure, tandis que les pores interconnectés ou les pores aux joints de grains constituent le point de départ critique de l'érosion et de la cavitation. Par conséquent, les fabricants utilisent des méthodes telles que l'isolation haute température renforcée, l'optimisation de la quantité de phase liante et le microalliage pour limiter la croissance anormale et réduire la porosité en dessous du seuil de détection, permettant ainsi aux buses d'atteindre pleinement leurs valeurs théoriques de densité, de dureté et de durée de vie.

4.3.4 Prévention des défauts de frittage : mesures de contrôle de la fissuration et de la déformation

Les défauts de frittage (fissuration, déformation, bulles, ségrégation) constituent la principale cause de défaillance lors de la fabrication des buses. Des mesures préventives systématiques ont été mises en place : pesée et inspection visuelle à 100 % des billettes avant leur introduction dans le four afin d'éliminer toute fissure cachée et toute anomalie de densité ; le four utilise un creuset spécial en molybdène ou un support en graphite, associé à un support en particules de tungstène, pour éliminer toute adhérence et contrainte localisée ; les vitesses de chauffage et de refroidissement sont rigoureusement contrôlées par étapes, notamment dans la zone de solidification de la phase liante, grâce à un refroidissement extrêmement lent afin d'éviter la superposition des contraintes thermiques et des contraintes de transformation de phase ; pendant la phase de maintien, une surveillance infrarouge multipoint en temps réel est mise en œuvre, et une intervention immédiate est effectuée en cas de surchauffe localisée ; après sa sortie du four, chaque buse est soumise à un contrôle par ressage de fluorescence et à une inspection morphologique tridimensionnelle, et toute pièce présentant une déformation ou une microfissure suspectée est immédiatement réintroduite dans le four pour une nouvelle cuisson ou mise au rebut. Cette politique de tolérance zéro, qui consiste à « gaspiller une billette

COPYRIGHT AND LEGAL LIABILITY STATEMENT

plutôt que de laisser passer un seul défaut », garantit la fiabilité absolue des buses à la sortie du four et a forgé le mythe industriel des buses en alliage de tungstène comme étant des « produits finis après frittage ». La maîtrise absolue du processus de frittage est devenue le fossé le plus insurmontable entre les entreprises leaders et les fournisseurs ordinaires.

4.4 Technologie de post-traitement pour les buses en alliage de tungstène : amélioration de la précision et des performances

Le post-traitement est l'étape finale cruciale pour les buses en alliage de tungstène, leur permettant de passer d'une densité proche de la densité théorique à des performances optimales. Il s'agit également de l'étape clé de la transformation du lingot fritté en un corps fonctionnel de précision, directement installable dans la machine et garantissant immédiatement une qualité de jet maximale. Ce processus comprend l'usinage de précision, le renforcement de surface, l'étalonnage dimensionnel final et un contrôle de propreté irréprochable. La moindre erreur à n'importe quelle étape du processus anéantit tous les efforts précédents. Les entreprises leaders ont élevé le post-traitement au rang d'exigence absolue, caractérisée par une tolérance zéro au micron et une recherche de la perfection au nanomètre.

4.4.1 Usinage de précision : Technologie d'usinage des canaux d'écoulement et des faces d'extrémité

L'usinage de précision représente la réalisation ultime de la géométrie des tuyères. Le canal d'écoulement Laval, avec son rapport longueur/diamètre extrêmement élevé, utilise un rodage diamant multi-étapes combiné à un usinage ultrasonique des trous profonds. Dans un premier temps, des guides en carbure haute rigidité assurent la coaxialité, puis un rodage progressif garantit une rondeur et une cylindricité parfaites du col. Les surfaces coniques complexes et les sections d'expansion sont initialement façonnées par électroérosion à fil 5 axes, puis rectifiées par commande numérique et finies en boucle fermée à l'aide d'un profilomètre optique. Les faces d'extrémité et les diamètres extérieurs sont ensuite obtenus par tournage ultra-précis et rectification sans centre, ce qui permet d'atteindre un faux-rond des faces d'extrémité et une rondeur du diamètre extérieur inférieurs au micron. L'ensemble du processus d'usinage est réalisé en salle blanche à température et humidité contrôlées, avec tous les outils et dispositifs de fixation en acier Invar ou en céramique à très faible coefficient de dilatation thermique, garantissant une parfaite concordance entre les dimensions à froid et les dimensions en service à haute température.

4.4.2 Procédés de traitement de surface : technologies de polissage et d'amélioration des revêtements

Le traitement de surface permet d'obtenir une paroi interne de buse à la fois ultra-lisse et ultra-dure, au lieu d'un état « lisse ». Un procédé en trois étapes, combinant polissage par écoulement, polissage magnétorhéologique et polissage électrolytique au plasma, permet d'atteindre facilement une rugosité de qualité miroir, voire optique, en éliminant complètement les rayures microscopiques et les points d'adhérence. Ensuite, selon les conditions de fonctionnement, une infiltration de bore est utilisée pour former une couche de borure de tungstène ultra-dure, ou un dépôt PVD/CVD de TiAlN est réalisé. Des revêtements CrN, DLC ou nanocomposites multicouches sont appliqués pour améliorer la dureté de

COPYRIGHT AND LEGAL LIABILITY STATEMENT

surface, réduire le coefficient de frottement et optimiser les propriétés anti-adhérence et anti-corrosion. L'adhérence entre le revêtement et le substrat est rigoureusement vérifiée par des essais de coupe transversale, d'indentation et de chocs thermiques afin de garantir l'absence de décollement ou de fissuration après des milliers d'heures d'érosion. Le traitement de surface confère à la paroi interne de la buse une interface optimale où « les particules ne s'arrêtent pas, les gouttelettes ne persistent pas et la corrosion ne peut se déclencher ».

4.4.3 Étalonnage dimensionnel : Processus de mesure et de correction de précision

L'étalonnage dimensionnel est l'étape finale et cruciale du calibrage des buses. Chaque buse subit trois mesures de haute précision à l'échelle réelle avant sa sortie d'usine : un calibre pneumatique mesure le diamètre et la circularité du col ; un interféromètre à lumière blanche analyse le profil de la surface conique ; et une machine à mesurer tridimensionnelle vérifie la coaxialité et le faux-rond de la face d'extrémité. Toutes ces données génèrent un numéro d'identification numérique unique. Toute dimension hors tolérance est immédiatement corrigée : le micro-élargissement du col est réalisé par rectification diamantée monopoint ; les écarts de la surface conique sont corrigés par rectification optique CNC ; et le faux-rond de la face d'extrémité est corrigé par tournage ultra-précis avec réglage secondaire de l'outil.

4.4.4 Nettoyage et séchage du produit fini : Spécifications du procédé d'élimination des impuretés

Le nettoyage et le séchage du produit fini constituent les dernières étapes de garantie de la propreté des buses. Un système de nettoyage multi-étapes combinant ultrasons, pulvérisation haute pression et distillation sous vide avec circulation d'eau pure est utilisé. Dans un premier temps, un agent nettoyant neutre spécifique élimine les huiles de traitement et les copeaux de métal. Ensuite, un rinçage alterné à l'eau déminéralisée et à l'isopropanol est effectué. Enfin, un séchage sous vide multi-étapes et une purge à l'azote sont réalisés en salle blanche de classe 100 afin de garantir l'absence de particules résiduelles, de films d'huile ou de traces d'eau sur les canaux d'écoulement internes et les surfaces externes. À sa sortie de la chambre de séchage, la buse est immédiatement scellée sous vide et protégée à l'azote de haute pureté jusqu'à l'ouverture de l'emballage par l'utilisateur. L'ensemble du processus de nettoyage et de séchage comprend un comptage complet des particules, un test de tension superficielle et une détection des ions résiduels. Ce post-traitement extrêmement rigoureux transforme la buse en alliage de tungstène, d'une ébauche frittée, en un composant fonctionnel de précision, déterminant directement la qualité du produit final et consolidant ainsi sa place essentielle dans la chaîne de production mondiale de pointe .

4.5 Contrôle qualité des matières premières pour les buses en alliage de tungstène

Le contrôle qualité des matières premières est essentiel pour garantir l'intégrité des buses en alliage de tungstène pendant des milliers d'heures et leur stabilité pendant des dizaines de milliers d'heures. La moindre impureté (de l'ordre du ppm), la moindre variation de granulométrie (de l'ordre du micron) ou même une hétérogénéité de composition de seulement 1 % peuvent engendrer des défaillances catastrophiques dans des conditions d'utilisation extrêmes. Les entreprises leaders ont modernisé leurs tests de poudres, passant d'un simple échantillonnage à un système de tolérance zéro couvrant l'intégralité du processus, tous les lots, tous les éléments et tous les aspects de performance.

COPYRIGHT AND LEGAL LIABILITY STATEMENT

Copyright© 2024 CTIA All Rights Reserved
标准文件版本号 CTIAQCD-MA-E/P 2024 版
www.ctia.com.cn

电话/TEL: 0086 592 512 9696
CTIAQCD-MA-E/P 2018-2024V
sales@chinatungsten.com

4.5.1 Tests de pureté de la poudre de tungstène

Le contrôle de pureté de la poudre de tungstène repose sur une stratégie de validation croisée multiméthodes et d'analyse complète des éléments. Chaque lot de poudre de tungstène est soumis simultanément à la spectrométrie de masse à décharge luminescente (GDMS), à la spectrométrie de masse à plasma à couplage inductif (ICP-MS), à la méthode de fusion sous gaz inerte par conductivité thermique infrarouge et à la méthode d'absorption infrarouge par combustion, afin de détecter systématiquement plus de trente impuretés clés, notamment l'oxygène, le carbone, l'azote, le soufre, le phosphore, le molybdène, le fer, le nickel, le cobalt et les métaux alcalins. Des échantillons sont prélevés en trois points, à l'avant et à l'arrière de la nacelle du four de réduction, pour garantir une pureté homogène sur l'ensemble du lot. Si la teneur en impuretés dépasse la norme, le lot entier de poudre de tungstène est immédiatement scellé et son origine est retracée jusqu'au numéro du four de réduction et au lot d'oxyde de tungstène. Ce n'est qu'après que tous les rapports d'analyse ont démontré que la poudre de tungstène est nettement supérieure aux normes de contrôle interne au niveau de la buse que la phase d'alliage est autorisée.

4.5.2 Procédure d'essai d'uniformité de la composition de la poudre d'alliage

L'homogénéité de la composition de la poudre d'alliage est cruciale pour garantir la constance de la microstructure et des propriétés finales au sein d'un même lot. Le protocole de test repose sur une approche en boucle fermée à trois niveaux : analyse macroscopique, analyse microscopique et analyse statistique.

- Des échantillons sont prélevés au début et à la fin de chaque lot de poudre dans la cuve de mélange, et les teneurs en éléments majeurs et mineurs tels que le nickel, le fer, le cuivre, le molybdène et les terres rares sont déterminées par ICP-OES et par spectrométrie de fluorescence X (XRF). L'écart doit se situer dans une plage de contrôle extrêmement étroite.
- Niveau micro-régional : La microscopie électronique à balayage + la spectroscopie à dispersion d'énergie et la microanalyse par sonde électronique (EPMA) sont utilisées pour examiner l'intégrité du revêtement de phase liante et l'uniformité de la distribution élémentaire sur la surface des particules de tungstène couche par couche, éliminant toute ségrégation locale ou zones de tungstène exposées.
- Au niveau statistique : un logiciel d'analyse granulométrique et d'image par laser compte automatiquement des milliers de particules composites afin de garantir une grande homogénéité de la couverture et de l'épaisseur de la couche liante. La poudre n'est libérée que lorsque les trois phases de contrôle sont réussies et qu'un rapport d'homogénéité de composition unique est généré.

4.5.3 Essais des propriétés physiques des poudres

Les propriétés physiques de la poudre déterminent directement la répétabilité du moulage et du frittage ; chaque lot doit subir une série complète de tests normalisés.

COPYRIGHT AND LEGAL LIABILITY STATEMENT

Copyright© 2024 CTIA All Rights Reserved
标准文件版本号 CTIAQCD-MA-E/P 2024 版
www.ctia.com.cn

电话/TEL: 0086 592 512 9696
CTIAQCD-MA-E/P 2018-2024V
sales@chinatungsten.com

- Taille et morphologie des particules : L'analyseur de taille de particules par diffraction laser combiné à l'analyse d'images par microscopie électronique à balayage garantit que la taille des particules de Fisher, la largeur de la distribution de la taille des particules et la sphéricité sont strictement contrôlées.
- Fluidité et densité apparente : Les résultats des trois méthodes, à savoir le débitmètre Hall, le volumètre Scott et la méthode du tambour rotatif, doivent être très cohérents.
- Surface spécifique et densité apparente : la méthode d'adsorption d'azote BET et le densimètre à densité apparente ont été utilisés pour vérifier l'activité de la poudre et sa capacité de remplissage.
- Compressibilité et résistance à la granulation : des tests de compactage spécifiques déterminent la densité de la poudre et la résistance de la pièce crue sous pression de moulage. Tous les équipements de test sont régulièrement rattachés aux normes nationales et l'environnement de test est maintenu à température et humidité constantes, les échantillons étant protégés par de l'azote tout au long du processus. Les données de test sont automatiquement intégrées aux dossiers qualité des lots, assurant ainsi une traçabilité complète avec les pièces crues, les pièces frittées et les performances du produit fini. Seules les poudres dont les propriétés physiques se situent dans la plage optimale de fonctionnement sont qualifiées de « poudre de qualité pour buses » et autorisées à être utilisées dans le processus de moulage. Le contrôle qualité extrêmement rigoureux appliqué à la matière première garantit que les buses en alliage de tungstène sont exemptes de toute variation, fluctuation ou défaillance accidentelle, dès le premier gramme de poudre.

4.6 Contrôle de la qualité des buses en alliage de tungstène pendant les étapes de formage et de frittage

Les étapes de formage et de frittage constituent la période de transformation cruciale pour les buses en alliage de tungstène, les métamorphosant de poudre en composants fonctionnels de haute performance. C'est également la phase la plus critique, sujette à des problèmes tels que les gradients de densité, la porosité résiduelle, la ségrégation de microstructure et la fissuration/déformation. Les entreprises leaders ont mis en place un système de contrôle qualité complet, traçable et à tolérance zéro. Chaque billette et chaque lot fritté possède un dossier numérique indépendant. Toute anomalie détectée entraîne l'arrêt immédiat de la ligne de production, le scellement des pièces, l'analyse des causes profondes et la mise en œuvre d'améliorations préventives globales afin de garantir une homogénéité parfaite entre les lots en termes de densité, de microstructure et de performance des buses finales .

4.6.1 Méthodes d'essai de la densité et de la compacité de la billette

La densité et la compacité de la billette sont les indicateurs essentiels de la qualité du moulage, déterminant directement si le frittage ultérieur peut atteindre la limite de densité théorique. Les essais utilisent un protocole rigoureux de validation croisée multiméthode et d'échantillonnage exhaustif. Chaque lot de billettes est pesé et sa densité apparente est calculée immédiatement après démoulage ou pressage isostatique. Simultanément, de fines tranches sont prélevées au début, au milieu et à la fin de chaque lot pour une nouvelle mesure précise par la méthode d'Archimède. Les billettes longues sont

COPYRIGHT AND LEGAL LIABILITY STATEMENT

découpées en cinq sections axiales afin d'éviter les zones de densité nulle et le délaménage par compression. Pour les billettes pressées isostatiquement, la tomographie industrielle et le balayage non destructif par ultrasons sont également utilisés pour générer une cartographie tridimensionnelle complète de la densité, mettant en évidence les creux de densité et les zones localement poreuses. Des échantillons métallographiques sont prélevés au niveau des sections critiques de la gorge et du canal d'écoulement, et un logiciel d'analyse d'images est utilisé pour analyser statistiquement la distribution des interstices entre les particules comprimées et l'état préliminaire de la jonction col-col. Ce n'est que lorsque la densité apparente, la densité de déplacement et la densité CT correspondent parfaitement et se situent toutes dans la plage extrêmement étroite de la valeur théorique que les billettes sont qualifiées de « billettes aptes au frittage » et autorisées à entrer dans le four de précuison. Tout corps cru présentant une densité trop faible ou irrégulière est systématiquement identifié et son origine (lot de poudre, paramètres de pressage et opérateur) est systématiquement retracée, et il est systématiquement rejeté.

4.6.2 Analyse de la composition et de la microstructure du corps fritté

La composition et la microstructure du corps fritté constituent le fondement microscopique des performances finales de la buse ; toute ségrégation, phase anormale ou porosité résiduelle est considérée comme un défaut catastrophique. L'analyse repose sur une approche en boucle fermée à trois niveaux : analyse quantitative macroscopique, analyse qualitative micro-structurelle et vérification statistique. Trois buses complètes issues du processus de frittage de chaque four (première, intermédiaire et dernière) sont prélevées. La spectrométrie de fluorescence X et l'analyse chimique ICP sont utilisées pour vérifier la conformité des teneurs en éléments majeurs et mineurs avec la formulation. Des échantillons métallographiques sont ensuite prélevés dans quatre zones clés : le col, la surface du cône, la zone d'expansion et la paroi extérieure. Après un montage précis, un meulage, un polissage et une attaque chimique sélective, les échantillons métallographiques sont systématiquement observés au microscope optique à fort grossissement et au microscope électronique à balayage afin de déterminer la morphologie des particules de tungstène, la distribution de la phase liante, la propreté des joints de grains, la morphologie des pores et la précipitation de la seconde phase. La spectroscopie dispersive en énergie (EDS) et la microanalyse par sonde électronique sont utilisées pour cartographier la distribution d'éléments tels que le nickel, le fer, le cuivre et le molybdène, garantissant l'absence de zones de ségrégation ou d'enrichissement localisées. Pour les formulations spéciales, la microscopie électronique en transmission (MET) permet d'observer les précipités aux joints de grains et les configurations de dislocations afin de confirmer la formation du renforcement par dispersion attendu par les éléments de microalliage. Toutes les images et tous les spectres ont été interprétés individuellement par des ingénieurs métallographes spécialisés, qui ont rédigé des rapports détaillés. Seuls les corps frittés présentant un squelette de tungstène continu, un revêtement uniforme de la phase liante, des pores parfaitement fermés et aucune phase anormale ont été jugés conformes aux normes en matière de microstructure.

4.6.3 Spécifications d'échantillonnage et d'essai des propriétés mécaniques des corps frittés

L'échantillonnage et les essais des propriétés mécaniques des pièces frittées constituent le dernier contrôle de qualité lors de l'étape de formage-frittage. La norme utilise une stratégie d'échantillonnage dynamique : « essais complets de tous les éléments au début, au milieu et à la fin du four, complétés par

COPYRIGHT AND LEGAL LIABILITY STATEMENT

des prélèvements aléatoires et un doublement des échantillons en cas d'anomalies ». Pour chaque four, les première, deuxième et dernière buses complètes sont échantillonnées. Des éprouvettes normalisées de traction, de résilience, de dureté et de ténacité sont prélevées au-dessus du col pour des essais de propriétés mécaniques à température ambiante et à haute température. D'autres buses sont sélectionnées aléatoirement pour des essais complets ; toute fluctuation de performance est immédiatement doublée jusqu'à ce que l'ensemble du four soit inspecté. La dureté est mesurée en plusieurs points du col, de la paroi interne et de la paroi externe par les méthodes Vickers et Rockwell afin d'établir une cartographie complète du gradient de dureté. Les éprouvettes de traction permettent d'évaluer l'équilibre entre la résistance à la traction et l'allongement ; les éprouvettes de résilience évaluent la ténacité à basse et haute température ; et les éprouvettes de ténacité évaluent spécifiquement la résistance à la propagation des fissures. Toutes les surfaces de rupture sont analysées par microscopie électronique à balayage (MEB) à 100 % afin de confirmer que le mode de rupture présente les caractéristiques attendues (cupules et quasi-clivage), éliminant ainsi toute rupture fragile intergranulaire ou induite par la porosité. Les données relatives aux propriétés mécaniques, ainsi que les rapports correspondants sur les lots de poudre, la densité des pièces crues et la microstructure, constituent une archive complète en boucle fermée. Seuls les corps frittés dont tous les indicateurs de performance se situent systématiquement dans la plage optimale et qui présentent une très forte concordance entre les lots sont autorisés à passer à l'étape de post-traitement. Tout écart de performance entraîne immédiatement l'arrêt du four, le scellement, la traçabilité complète de la chaîne et la mise en œuvre d'améliorations préventives jusqu'à la résolution complète du problème. Cette norme d'échantillonnage « tolérance zéro » pour les propriétés mécaniques a permis aux étapes de formage et de frittage des buses en alliage de tungstène d'atteindre le véritable objectif industriel : « chaque four est traité comme s'il était le premier, chaque buse comme s'il s'agissait d'une buse témoin ».

4.8 Système de contrôle qualité et normes pour les buses en alliage de tungstène

de buses en alliage de tungstène a depuis longtemps dépassé le modèle traditionnel de « contrôle par échantillonnage et enregistrement », pour évoluer vers un système de gestion de la qualité de niveau industriel. Ce système couvre l'intégralité du cycle de vie, élimine les défauts, permet un audit en temps réel et garantit la responsabilité légale. Les entreprises leaders attribuent un identifiant numérique unique à chaque gramme de poudre, chaque billette, chaque corps fritté, chaque processus et chaque buse finie, établissant ainsi une chaîne de qualité complète et traçable avec précision, depuis l'entrée du concentré de tungstène dans l'usine jusqu'à des dizaines de milliers d'heures après l'installation par l'utilisateur.

4.8.1 Mise en place d'un système de traçabilité qualité complet du processus pour les buses en alliage de tungstène

Le système de traçabilité qualité de bout en bout, basé sur une plateforme Internet industrielle, intègre les technologies MES, ERP, LIMS et blockchain pour garantir une couverture complète des données, des matières premières aux produits finis, jusqu'au site de l'utilisateur. Chaque lot de poudre de tungstène entrant en usine génère un numéro de lot principal unique, décliné en numéros de sous-lot, de billette, de four de frittage, d'ordre de fabrication, de série du produit fini et, enfin, en un code QR gravé au laser sur la paroi extérieure de la buse. Tous les paramètres clés (composition, densité, dureté, dimensions,

COPYRIGHT AND LEGAL LIABILITY STATEMENT

microstructure, propriétés mécaniques, rugosité de surface) sont téléchargés en temps réel sur le cloud et associés de manière permanente au numéro de lot correspondant, constituant ainsi une archive numérique inaltérable. Les utilisateurs peuvent simplement scanner le code QR de la buse pour accéder instantanément à son historique complet, de l'extraction du minerai à la production, et même consulter ses heures de service et son historique de maintenance sur leur site. En cas d'anomalie, le système permet de remonter en quelques secondes jusqu'au numéro du four, à l'opérateur, à l'équipement, à la température et à l'humidité ambiantes, voire même à la pression atmosphérique du jour, garantissant ainsi une identification claire des responsabilités et des améliorations précises. Ce système complet, visualisable et traçable permet aux buses en alliage de tungstène d'atteindre le niveau de qualité ultime : « zéro danger caché, zéro dérobade et zéro regret ».

4.8.2 Définition des points clés de contrôle qualité

Les points critiques de contrôle qualité (CCP) sont hiérarchisés selon l'analyse des modes de défaillance et de leurs effets (AMDE), avec plus de dix seuils infranchissables : pureté de la poudre de tungstène et uniformité de la poudre d'alliage lors de la préparation des matières premières ; uniformité de la densité des billettes lors du formage ; carbone résiduel et relaxation des contraintes lors du préfrittage ; température maximale et point de rosée atmosphérique lors du frittage ; diamètre de la gorge et rugosité de la paroi interne lors du post-traitement ; adhérence du revêtement lors du traitement de surface ; étalonnage dimensionnel final et propreté ; et vérification de l'étanchéité à 100 % et des performances de jet du produit fini. Chaque point de contrôle bénéficie d'une double protection : surveillance en ligne en temps réel et retest de précision hors ligne. Tout écart par rapport à la plage définie déclenche immédiatement une alarme automatique, verrouille la machine, isole les produits non conformes et impose une analyse des causes profondes (méthode 8D) ainsi que des mesures préventives. Les données des CCP sont générées quotidiennement et affichées sur un tableau de bord qualité, examiné par la direction et l'équipe technique lors des réunions matinales quotidiennes. Toute dérive entraîne l'arrêt immédiat de la production pour correction.

4.8.3 Normes de qualité et exigences de conformité de l'industrie

Les buses en alliage de tungstène sont soumises à un double système de conformité : les normes internationales servent de référence, tandis que les normes de contrôle interne sont nettement plus strictes que les normes nationales. En externe, l'entreprise respecte rigoureusement les certifications telles que ISO 9001, IATF 16949, AS9100, ISO 13485 (qualité médicale) et NADCAP (pour la projection thermique). Les procédés clés sont conformes aux spécifications AMS, ASTM et DIN pour les matériaux et les buses en alliage de tungstène. Les revêtements de surface sont conformes aux réglementations environnementales RoHS, REACH et ELV, et la propreté répond aux exigences de la norme ISO 14644 classe 100. En interne, l'entreprise applique le « Spécification de contrôle interne au niveau des buses pour la fabrication intelligente de tungstène en Chine », qui surpasse largement les normes internationales. Plus de trente indicateurs, dont la densité, la dureté, les tolérances dimensionnelles, la rugosité de surface, les propriétés mécaniques et la microstructure, sont tous plusieurs à des dizaines de fois plus exigeants que les normes internationales, illustrant parfaitement le principe selon lequel « les normes internationales sont la norme minimale requise, mais les normes internes sont essentielles à la pérennité

COPYRIGHT AND LEGAL LIABILITY STATEMENT

de l'entreprise ». L'entreprise fait l'objet d'inspections annuelles sur site réalisées par des organismes tiers reconnus et ses principaux clients. Tous les documents sont conservés en permanence et elle est prête à recevoir des audits sur site de la part de tout client dans le monde, à tout moment. Ce système de double contrôle qualité, interne et externe, qui surpassé largement la moyenne du secteur, fait des buses en alliage de tungstène non seulement la référence en matière de performance de process, mais aussi le composant clé le plus fiable, prévisible et sûr de la chaîne de production mondiale haut de gamme. Ce système et ces normes de contrôle qualité extrêmement rigoureux ont forgé sa réputation d'excellence, synonyme de « qualité constante sur des milliers de lots et de production sans souci », et lui ont permis de se forger un avantage concurrentiel insurmontable.



Buses en alliage de tungstène CTIA GROUP LTD

[COPYRIGHT AND LEGAL LIABILITY STATEMENT](#)

Copyright© 2024 CTIA All Rights Reserved

标准文件版本号 CTIAQCD-MA-E/P 2024 版

www.ctia.com.cn

电话/TEL: 0086 592 512 9696

CTIAQCD-MA-E/P 2018-2024V

sales@chinatungsten.com

CTIA GROUP LTD

High-Density Tungsten Alloy Customization Service

CTIA GROUP LTD, a customization expert in high-density tungsten alloy design and production with 30 years of experience.

Core advantages: 30 years of experience: deeply familiar with tungsten alloy production, mature technology.

Precision customization: support high density (17-19 g/cm³), special performance, complex structure, super large and very small parts design and production.

Quality cost: optimized design, optimal mold and processing mode, excellent cost performance.

Advanced capabilities: advanced production equipment, RMI, ISO 9001 certification.

100,000+ customers

Widely involved, covering aerospace, military industry, medical equipment, energy industry, sports and entertainment and other fields.

Service commitment

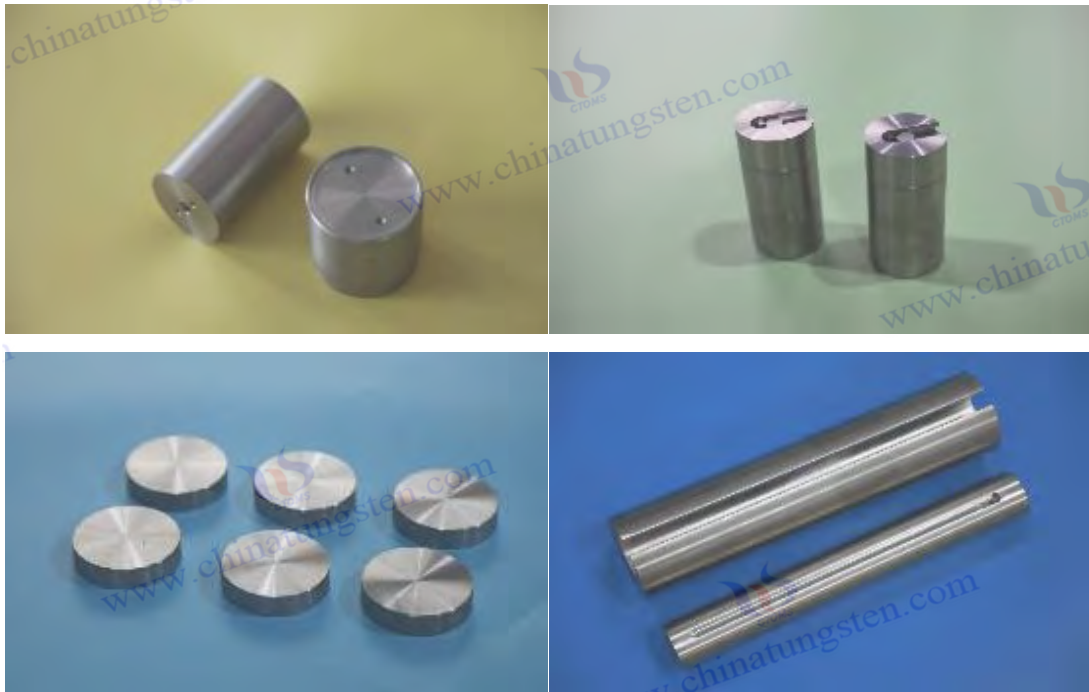
1 billion+ visits to the official website, 1 million+ web pages, 100,000+ customers, 0 complaints in 30 years!

Contact us

Email: sales@chinatungsten.com

Tel: +86 592 5129696

Official website: www.tungsten-alloy.com



COPYRIGHT AND LEGAL LIABILITY STATEMENT

Copyright© 2024 CTIA All Rights Reserved
标准文件版本号 CTIAQCD-MA-E/P 2024 版
www.ctia.com.cn

电话/TEL: 0086 592 512 9696
CTIAQCD-MA-E/P 2018-2024V
sales@chinatungsten.com

Chapitre 5 : Comparaison des buses en alliage de tungstène avec les buses fabriquées à partir d'autres matériaux

5.1 Comparaison des buses en alliage de tungstène et des buses en acier inoxydable

Les buses en acier inoxydable (notamment 316L, 17-4PH, 440C, etc.) ont longtemps dominé les marchés du nettoyage industriel, de la projection thermique et du découpage au jet d'eau basse à moyenne pression. Cependant, face à l'augmentation constante des exigences en matière de température, de pression, de dureté des abrasifs et de propreté, leurs performances ont été considérablement dépassées par celles des buses en alliage de tungstène. Ces deux types de buses, autrefois interchangeables, sont désormais radicalement différenciés selon les conditions d'utilisation : les buses en alliage de tungstène occupent les marchés haut de gamme et les applications extrêmes, tandis que les buses en acier inoxydable se cantonnent aux applications bas de gamme et aux conditions d'utilisation modérées.

5.1.1 Comparaison de la résistance aux hautes températures : plage de tolérance thermique et stabilité

Les buses en acier inoxydable commencent à se ramollir et à s'oxyder considérablement au-delà de 600 °C, et leur résistance s'effondre rapidement à 800 °C, formant une couche d'oxyde friable qui continue de se détacher, entraînant un élargissement rapide du col et des turbulences dans le jet. Les buses en alliage de tungstène, quant à elles, possèdent un point de fusion extrêmement élevé, proche de celui du tungstène pur, et une excellente résistance à l'oxydation à haute température. Elles conservent leur dureté et leur intégrité géométrique pendant de longues périodes dans des flammes dépassant continuellement 1 500 °C et instantanément 2 000 °C, ne formant qu'une couche protectrice très fine et fermement adhérente en surface, quasiment sans décollement. Cette différence de résistance aux hautes températures fait des buses en alliage de tungstène le choix idéal pour les procédés à haute température tels que la projection thermique supersonique, la projection plasma et le rechargement laser haute puissance, tandis que les buses en acier inoxydable ne peuvent être utilisées que pour le nettoyage à basse température ou la projection thermique à basse énergie.

5.1.2 Comparaison de la résistance à l'usure : Différences de taux d'usure et de durée de vie

Dans les environnements d'érosion à grande vitesse contenant des abrasifs durs, le taux d'usure des buses en acier inoxydable est généralement des dizaines de fois supérieur à celui des buses en alliage de tungstène. Les abrasifs en carbure de silicium, en grenat et en diamant créent des rainures profondes et une déformation plastique importante à la surface de l'acier inoxydable, provoquant souvent un élargissement significatif du diamètre de la gorge en quelques centaines d'heures et une augmentation continue de l'angle de divergence du jet. En revanche, les buses en alliage de tungstène, grâce à leur structure quasi continue en tungstène de haute dureté, ne laissent que des marques très superficielles dues aux impacts abrasifs, et la gorge conserve sa taille initiale même après des milliers, voire des dizaines de milliers d'heures, sans pratiquement aucune dérive des paramètres du jet.

COPYRIGHT AND LEGAL LIABILITY STATEMENT

Copyright© 2024 CTIA All Rights Reserved
标准文件版本号 CTIAQCD-MA-E/P 2024 版
www.ctia.com.cn

电话/TEL: 0086 592 512 9696
CTIAQCD-MA-E/P 2018-2024V
sales@chinatungsten.com

5.1.3 Comparaison des propriétés mécaniques : Analyse de la compatibilité entre résistance et ténacité

Les buses en acier inoxydable présentent une bonne résistance et une bonne ténacité à température ambiante, mais se détériorent rapidement sous l'effet combiné de températures élevées et de pressions ultra-élevées, ce qui entraîne facilement des fissures de fatigue et une déformation plastique importante. Les buses en alliage de tungstène, quant à elles, conservent une résistance extrêmement élevée et une ténacité quasi-ductile sur toute la plage de températures, de la température ambiante à 1 000 °C. Leur résistance à la traction, à la compression et à la fatigue est nettement supérieure, et elles ne présentent pratiquement aucune déformation permanente sous l'effet des coups de bâlier à très haute pression et des forts reculs. Dans des conditions mécaniques extrêmes, telles que les jets d'eau à très haute pression (supérieures à 400 MPa) et les pistolets de projection plasma haute puissance, les buses en acier inoxydable cèdent souvent prématurément par fissuration ou effondrement, tandis que les buses en alliage de tungstène, grâce à leur résistance à la rupture et à l'aplatissement, offrent une durée de vie prolongée, devenant ainsi le seul matériau de buse capable de répondre simultanément aux exigences de résistance maximale et de ténacité suffisante.

5.1.4 Comparaison économique : Évaluation complète des coûts et des coûts de maintenance

tungstène, mais son coût total de cycle de vie (TCO) est beaucoup plus élevé.

Les raisons sont les suivantes : Fréquence de remplacement : Les buses en acier inoxydable ont une durée de vie courte, ce qui nécessite des arrêts fréquents pour leur remplacement et engendre des coûts extrêmement élevés de main-d'œuvre, de temps d'arrêt et d'élimination des buses usagées. Une seule buse en alliage de tungstène peut en remplacer des dizaines, réduisant considérablement le nombre de remplacements. Stabilité du procédé : La dilatation rapide de l'orifice au niveau du col des buses en acier inoxydable provoque une dérive des paramètres du jet, ce qui entraîne une baisse du rendement et une augmentation du taux de rebut. Les buses en alliage de tungstène conservent leurs paramètres à long terme, ce qui permet d'obtenir un rendement proche de 100 %. Difficulté de maintenance : Les buses en acier inoxydable sont sujettes à la rouille, à l'adhérence de poudre et au colmatage, ce qui nécessite un lavage à l'acide ou un nettoyage par ultrasons régulier. Les buses en alliage de tungstène ne rouillent jamais sur leurs parois internes, n'adhèrent pratiquement pas à la poudre et sont prêtes à l'emploi dès leur sortie de l'emballage.

Des exemples industriels concrets démontrent que sur les lignes de production continues à haute intensité, le coût annuel global d'utilisation des buses en alliage de tungstène est deux fois moins élevé, voire inférieur, à celui des buses en acier inoxydable, avec un retour sur investissement généralement inférieur à six mois. Les buses en alliage de tungstène, autrefois considérées comme des consommables haut de gamme excessivement chers, sont devenues un choix véritablement économique, abordable et rentable. À l'inverse, les buses en acier inoxydable sont de plus en plus reléguées au rang de produits transitoires pour des applications bas de gamme à faible valeur ajoutée. La concurrence ne se résume plus à une simple question de prix ; elle illustre deux philosophies industrielles radicalement différentes : le coût le plus bas à court terme contre la valeur la plus élevée à long terme.

COPYRIGHT AND LEGAL LIABILITY STATEMENT

5.2 Comparaison des buses en alliage de tungstène et des buses en céramique

Les buses en alliage de tungstène et les buses en céramique sont toutes deux des buses haut de gamme résistantes à l'usure, mais elles diffèrent considérablement par leurs propriétés, leurs performances et leurs domaines d'application. Les buses en alliage de tungstène, dont la structure est composée d'un noyau en composite à base de tungstène, offrent un bon compromis entre dureté et ténacité. Les buses en céramique, quant à elles, sont principalement constituées de céramiques non métalliques telles que l'oxyde de zirconium ou le carbure de silicium, privilégiant une dureté extrême et une inertie chimique. Les buses en alliage de tungstène sont plus adaptées aux conditions d'érosion à grande vitesse et de chocs thermiques impliquant des particules, tandis que les buses en céramique excellent dans les milieux oxydants à haute température ou fortement corrosifs. Ces deux types de buses, autrefois interchangeables, sont désormais différenciés selon leurs conditions de fonctionnement, formant ainsi une gamme complète de matériaux pour les buses destinées au traitement moderne par jet d'eau.

5.2.1 Comparaison des propriétés mécaniques : Différences de résistance aux chocs et de fragilité

Les buses en alliage de tungstène surpassent largement les buses en céramique en termes de résistance aux chocs. Leur structure composite assure une synergie parfaite entre le squelette dur de particules de tungstène et le liant ductile, conférant à la buse une capacité d'amortissement ductile suffisante. Même sous l'effet d'impacts à grande vitesse ou de chocs thermiques instantanés impliquant des particules dures, elles ne subissent qu'une déformation plastique très superficielle et ne se brisent pas brutalement. Bien que plus dures, les buses en céramique sont intrinsèquement extrêmement fragiles. Une simple surcharge accidentelle ou un défaut mineur peut entraîner une rupture complète, notamment en cas de vibrations ou d'impacts fréquents. Le mode de défaillance est souvent une fracture fragile soudaine et imprévue.

La résistance des buses en alliage de tungstène provient de l'effet de pontage de la phase liante. Lorsque des fissures s'amorcent, elles sont rapidement passivées et absorbées par la phase ductile, bloquant ainsi leur propagation. À l'inverse, une fois amorcée dans une buse en céramique, une fissure se propage linéairement le long des joints de grains ou à l'intérieur des grains, présentant une ténacité quasi nulle et une incapacité à s'auto-réparer. Cette différence est particulièrement visible dans les domaines de la projection thermique et de la découpe au jet d'eau : les buses en alliage de tungstène peuvent résister à des milliers d'heures d'érosion particulière tout en conservant des dimensions de gorge stables, tandis que les buses en céramique cèdent brutalement en quelques centaines d'heures sous l'effet de micro-impacts cumulés. Les buses en alliage de tungstène sont bien moins fragiles que celles en céramique, ce qui en fait le choix idéal pour les applications complexes exigeant une fiabilité à toute épreuve et une résistance aux chocs, tandis que les buses en céramique sont plus adaptées aux charges statiques ou aux environnements à haute température sans impact.

5.2.2 Comparaison de la résistance à l'usure : Performances en matière d'usure par particules dures et d'usure abrasive

Les buses en alliage de tungstène et les buses en céramique excellent chacune dans leurs domaines respectifs de résistance à l'usure par particules dures et par abrasion. Cependant, les buses en alliage de

COPYRIGHT AND LEGAL LIABILITY STATEMENT

Copyright© 2024 CTIA All Rights Reserved

标准文件版本号 CTIAQCD-MA-E/P 2024 版

www.ctia.com.cn

电话/TEL: 0086 592 512 9696

CTIAQCD-MA-E/P 2018-2024V

sales@chinatungsten.com

tungstène offrent une performance globale plus équilibrée et sont mieux adaptées aux conditions de travail complexes. La résistance à l'usure des buses en alliage de tungstène provient de la synergie entre un squelette continu de tungstène et une phase liante ductile : lors de l'impact de particules dures, les particules de tungstène offrent une résistance extrêmement élevée, ne produisant que de fines rainures plastiques, tandis que la phase liante absorbe l'énergie d'impact et répare rapidement les micro-dommages, ce qui se traduit par un taux d'usure très faible et uniforme. Les buses en céramique, de par leur dureté supérieure, sont plus performantes en cas d'usure par particules dures pures, car ces dernières peinent à pénétrer la surface. Toutefois, une fois que des microfissures apparaissent, elles se propagent rapidement, entraînant un écaillage.

Dans les flux d'air à grande vitesse contenant des particules abrasives, comme lors de la projection thermique, les buses en alliage de tungstène présentent une usure progressive et uniforme, avec une faible variation du diamètre du col et une qualité de jet stable sur une longue période. Les buses en céramique, en revanche, sont sujettes à un écaillage soudain dû aux fissures induites par les particules, ce qui peut entraîner une défaillance imprévisible. Dans les applications de jet d'eau à ultra-haute pression impliquant des particules abrasives, la robustesse et les propriétés d'amortissement des buses en alliage de tungstène absorbent efficacement l'impact de l'implosion des bulles de cavitation, ce qui se traduit par un taux d'usure abrasive nettement inférieur au taux d'écaillage par fatigue des buses en céramique. Globalement, les buses en alliage de tungstène offrent une meilleure résistance à l'usure grâce à leur robustesse et leur durabilité, tandis que les buses en céramique sont plus dures mais ont une durée de vie plus courte. Les premières excellent dans la résistance combinée à l'usure par impact et thermique, tandis que les secondes sont plus avantageuses en cas de corrosion purement chimique ou dans des environnements à haute température exempts de particules.

5.2.3 Comparaison des performances de traitement : précision du moulage et adaptabilité aux structures complexes

Les buses en alliage de tungstène surpassent largement les buses en céramique en termes de performances d'usinage. Leur structure alliée leur confère une ténacité et une plasticité suffisantes, leur permettant d'atteindre aisément des géométries complexes telles que des canaux d'écoulement internes sophistiqués, des sections d'expansion à section variable, des canaux de refroidissement intégrés et des réseaux à plusieurs gorges, grâce à la métallurgie des poudres, l'usinage de précision, le perçage profond, la découpe au fil et la finition laser. À l'inverse, la fragilité des buses en céramique engendre un risque important de fissuration lors de leur usinage, et la réalisation de structures complexes est quasiment impossible, se limitant alors à un formage simple et à un meulage limité.

Les ébauches de buses en alliage de tungstène peuvent être formées avec quasiment n'importe quel rapport d'aspect par pressage isostatique à froid, ce qui offre une plage d'usinage extrêmement large après frittage et un état de surface miroir sans écaillage. En revanche, les ébauches de buses en céramique sont sujettes à un retrait irrégulier et se cassent facilement sous l'effet des concentrations de contraintes lors de l'usinage. Leur précision de formage et leur adaptabilité aux structures complexes sont bien inférieures à celles des alliages de tungstène. Les buses en alliage de tungstène peuvent être facilement brasées ou filetées, tandis que les buses en céramique sont extrêmement fragiles lors du raccordement. L'usinabilité

COPYRIGHT AND LEGAL LIABILITY STATEMENT

des buses en alliage de tungstène permet aux concepteurs de rechercher une géométrie d'écoulement optimale, tandis que les buses en céramique sont souvent contraintes à des compromis en raison des limitations d'usinage.

5.2.4 Comparaison de la fiabilité : analyse de la résistance aux chocs thermiques et de la stabilité d'utilisation

Les buses en alliage de tungstène surpassent les buses en céramique en termes de résistance aux chocs thermiques et de stabilité opérationnelle. Leur structure composite en alliage permet une absorption et une dispersion efficaces des contraintes thermiques grâce à la phase de liaison robuste, ce qui évite quasiment toute microfissure, même après des milliers de variations de température rapides. À l'inverse, les buses en céramique sont extrêmement sensibles aux chocs thermiques ; une seule variation rapide de température peut entraîner leur rupture.

Dans les pistolets de projection thermique, les buses en alliage de tungstène résistent à des milliers de cycles d'allumage et d'extinction sans se déformer ni se fissurer, et leurs dimensions de gorge ainsi que l'angle de leur cône restent stables sur le long terme. En revanche, les buses en céramique sont sujettes à la fissuration en réseau sous l'effet des chocs thermiques, ce qui réduit considérablement leur stabilité. La résistance aux chocs thermiques des buses en alliage de tungstène garantit leur fiabilité – « absence de déformation, de perte de contrôle » – même dans des conditions d'utilisation complexes, tandis que les buses en céramique sont plus adaptées aux environnements à température constante ou à faible choc thermique.

5.3 Comparaison des buses en alliage de tungstène et des buses en alliage de cuivre

Les buses en alliage de cuivre (généralement en cuivre pur, cuivre sans oxygène, cuivre-zirconium-chrome, bronze d'aluminium, etc.) étaient autrefois largement utilisées dans la projection plasma, les buses de guidage pour jets d'eau et le nettoyage cryogénique en raison de leur excellente conductivité thermique, de leur faible coût et de leur facilité de mise en œuvre. Cependant, avec l'évolution des procédés vers des températures plus élevées, une érosion plus importante et une durée de vie plus longue, les problèmes de ramollissement, d'ablation, d'usure et de déformation des buses en alliage de cuivre sont devenus de plus en plus préoccupants, conduisant à leur remplacement complet par des buses en alliage de tungstène dans la grande majorité des applications haut de gamme. Une nette distinction s'est désormais établie entre les deux : les alliages de cuivre sont désormais réservés aux applications à basse température, faible abrasion et courte durée de vie, tandis que les alliages de tungstène occupent une place prépondérante dans les applications à haute température, forte usure et longue durée de vie.

5.3.1 Comparaison de la résistance à haute température : taux de rétention des propriétés mécaniques en environnements à haute température

Les buses en alliage de cuivre commencent à se ramollir considérablement au-delà de 400 °C et, à 600 °C, leur résistance est bien inférieure à celle à température ambiante. La gorge subit rapidement une déformation plastique, s'effondre, voire fond et s'écoule sous l'effet de la flamme à haute température,

[COPYRIGHT AND LEGAL LIABILITY STATEMENT](#)

entraînant une perte totale de contrôle géométrique. À l'inverse, les buses en alliage de tungstène conservent une résistance extrêmement élevée sur toute la plage de températures. Même chauffées en continu à plus de 1 200 °C ou atteignant momentanément 2 000 °C, leur dureté et leur résistance à la compression diminuent très peu, et le diamètre de la gorge ainsi que l'angle du cône restent quasiment inchangés. Cette différence s'explique par la faible température de recristallisation du cuivre et la migration rapide des joints de grains à haute température, tandis que les alliages de tungstène s'appuient sur le point de fusion ultra-élevé du squelette de tungstène et sur l'effet de renforcement de la phase liante pour former un réseau porteur stable à haute température. Dans les procédés à haute température tels que la projection thermique supersonique, la projection plasma atmosphérique et le rechargement laser avec alimentation coaxiale en poudre, les buses en alliage de cuivre deviennent souvent inutilisables en raison d'un ramollissement survenant en quelques minutes à quelques heures, tandis que les buses en alliage de tungstène peuvent fonctionner de manière stable pendant des milliers d'heures. Les buses en alliage de cuivre ont été totalement abandonnées pour les applications à très haute température.

5.3.2 Comparaison de la durée de vie : Différences dans les profils d'atténuation sous différentes conditions de fonctionnement

La dégradation de la durée de vie des buses en alliage de cuivre présente un schéma typique de « déclin initial lent, déclin accéléré à moyen terme et défaillance en cascade » : initialement, la ductilité du cuivre lui permet de conserver sa forme, mais dès que la surface est rayée par des abrasifs ou ramollie par une surchauffe localisée, l'usure et la déformation s'accélèrent considérablement, conduisant finalement à une défaillance exponentielle. En revanche, la dégradation de la durée de vie des buses en alliage de tungstène suit une courbe idéale de « déclin linéaire lent » : le squelette en tungstène assure une dureté élevée et constante, la phase liante garantit une ténacité continue, le taux d'expansion du diamètre de gorge est extrêmement faible et très prévisible, et une bonne qualité de jet est maintenue jusqu'à la fin de la durée de vie. Dans des conditions d'utilisation typiques, comme le nettoyage par jet d'eau à ultra-haute pression avec abrasifs, l'alimentation en poudre par projection thermique et le nettoyage industriel, la durée de vie des buses en alliage de cuivre est généralement bien inférieure à celle des buses en alliage de tungstène (de 100 à 70 fois plus courte). De plus, les paramètres du jet dérivent considérablement avant la défaillance, ce qui entraîne une baisse substantielle du rendement. Les buses en alliage de tungstène, grâce à leur stabilité exceptionnelle (« mille heures d'utilisation comme une seule »), minimisent la fréquence de remplacement des buses et transforment radicalement la perception de leur durée de vie sur la ligne de production.

5.3.3 Comparaison de la conductivité thermique : caractéristiques de la conduction thermique et de la distribution de température

Les alliages de cuivre possèdent une conductivité thermique extrêmement élevée, permettant un transfert instantané de la chaleur du col vers la paroi extérieure avec des gradients de température de surface minimaux, ce qui, en théorie, facilite une dissipation thermique rapide. Cependant, dans les applications réelles à haute température et haute densité énergétique, cet avantage se transforme en un défaut majeur : en raison d'une résistance insuffisante à haute température, malgré un transfert de chaleur rapide, les alliages de cuivre ne peuvent supporter le ramollissement et la déformation thermiques qui en résultent,

COPYRIGHT AND LEGAL LIABILITY STATEMENT

entraînant un effondrement rapide du col. Les buses en alliage de tungstène, bien que présentant une conductivité thermique inférieure à celle des alliages de cuivre, restent beaucoup plus performantes que celles en céramique et en acier inoxydable, ce qui correspond parfaitement à leur température de ramollissement extrêmement élevée : la conduction thermique est suffisamment rapide pour maintenir la température maximale du col en dessous d'un seuil de sécurité, tandis que le matériau conserve une résistance extrêmement élevée à cette température, ce qui permet une distribution idéale du champ de température, caractérisée par « absence de surchauffe interne et refroidissement externe rapide ». Dans les procédés réels de projection plasma haute puissance et de rechargement laser, les buses en alliage de cuivre brûlent souvent en raison d'une surchauffe instantanée localisée, tandis que les buses en alliage de tungstène, avec leur couplage conductivité thermique-résistance plus rationnel, atteignent un équilibre parfait entre « transfert de chaleur efficace et résistance de la gorge à la chaleur », ce qui se traduit par une durée de vie et une stabilité bien supérieures à celles des alliages de cuivre.

5.3.4 Comparaison de la résistance à la corrosion : Performances de résistance à la corrosion en milieux acides et alcalins

Le cuivre pur et les alliages de cuivre ordinaires sont très solubles en milieu acide (notamment dans l'acide nitrique, l'acide sulfurique et l'eau régale) et sujets à la dézincification ou à la fissuration par corrosion sous contrainte en milieu alcalin et chloré. La surface se corrode rapidement, formant des produits de corrosion poreux, ce qui entraîne une forte augmentation de la rugosité du col et des problèmes de régulation du débit. Les buses en alliage de tungstène, en revanche, présentent un profil de résistance à la corrosion totalement différent : les systèmes tungstène-nickel-fer offrent d'excellentes performances dans les atmosphères oxydantes à haute température, tandis que les systèmes tungstène-nickel-cuivre sont quasiment inertes chimiquement sur toute la gamme de pH, y compris en présence d'acides, d'alcalis, d'eau de mer, d'embruns salins et de désinfectants. Ils ne présentent pratiquement aucune corrosion visible et conservent un aspect miroir pendant longtemps. Dans les environnements corrosifs tels que le décapage des pales d'éoliennes offshore, le nettoyage acide et alcalin des pipelines chimiques, le nettoyage aseptique dans les industries agroalimentaires et pharmaceutiques, et la décontamination nucléaire, les buses en alliage de cuivre présentent souvent une corrosion par piqûres, une corrosion caverneuse ou une dissolution complète après seulement quelques centaines d'heures d'utilisation. À l'inverse, les buses en tungstène-nickel-cuivre conservent leur aspect neuf et brillant sur leur paroi interne après des milliers d'heures, sans précipitation d'ions métalliques, répondant ainsi pleinement aux exigences les plus strictes en matière de propreté et de biocompatibilité. Grâce à leur résistance absolue à la corrosion (« ne rouillent jamais et ne se dissolvent jamais »), les buses en alliage de tungstène ont complètement supplanté les buses en alliage de cuivre dans toutes les applications de pointe impliquant des milieux corrosifs.

COPYRIGHT AND LEGAL LIABILITY STATEMENT

Chapitre 6 : Domaines d'application des buses en alliage de tungstène

6.1 Application des buses en alliage de tungstène dans la fabrication industrielle

Grâce à leur résistance exceptionnelle aux températures extrêmes, à l'usure et aux chocs, ainsi qu'à leur stabilité dimensionnelle, les buses en alliage de tungstène sont devenues la solution privilégiée, voire unique, pour les stations de pulvérisation les plus exigeantes de l'industrie manufacturière moderne. Elles ne sont plus considérées comme de simples pièces d'usure, mais comme des composants fonctionnels essentiels qui déterminent le temps de cycle, la qualité et le coût de l'ensemble de la ligne de production.

6.1.1 Soudage et découpe : Buse en alliage de tungstène pour la pulvérisation à haute température

Dans les domaines du soudage et du découpage par faisceaux à haute énergie (soudage plasma, découpage plasma, soudage hybride laser-plasma et découpage oxyacétylénique à très haute température), les buses en alliage de tungstène, qui servent de zone de confinement de l'arc et de chambre de compression du plasma, sont directement exposées aux arcs et à l'énergie réfléchie à des températures allant de plusieurs milliers à plusieurs dizaines de milliers de degrés Celsius. Alors que les buses en cuivre ordinaires s'ablatent et se déforment en quelques secondes, les buses en alliage de tungstène, grâce à leur point de fusion ultra élevé, leur excellente résistance à l'oxydation et leur robustesse à haute température, peuvent confiner l'arc de manière continue et stable pendant des milliers d'heures, maintenant ainsi un taux de compression et une densité d'énergie constants sur le long terme, sans aucune fluctuation d'un lot à l'autre de la largeur de la saignée, du rapport profondeur/largeur de la soudure et de l'état de surface. Dans des applications extrêmes telles que le soudage de plaques épaisses en alliage de titane pour l'aéronautique, le soudage circonférentiel de pipelines nucléaires et le découpage de rails à grande vitesse, les buses en alliage de tungstène sont devenues le seul matériau de chambre de soudage à avoir obtenu la certification de procédé.

6.1.2 Revêtement de surface : Buse en alliage de tungstène pour moulage par atomisation

Les procédés de revêtement de surface (HVOF, APS et alimentation coaxiale en poudre pour le rechargeement laser) imposent des exigences extrêmement strictes aux buses : celles-ci doivent résister à des flammes à très haute température et à grande vitesse contenant des particules dures, tout en garantissant la stabilité de la vitesse des particules et de la distribution de température pendant des milliers d'heures. Les buses en alliage de tungstène, grâce à leur structure quasi continue en tungstène qui les protège de l'érosion, leur stabilité dimensionnelle exceptionnelle qui assure le maintien du champ d'écoulement de Laval et leur excellente résistance aux chocs thermiques lors des cycles d'allumage-extinction, sont devenues le seul matériau de gorge capable d'atteindre, en une seule application, une densité de revêtement, une adhérence et une homogénéité de lot équivalentes à celles obtenues par forgeage. Dans les lignes de revêtement haut de gamme, telles que les revêtements de barrière thermique pour aubes de moteurs d'avion, la réparation après remise à neuf, le renforcement des parois des cylindres automobiles et les revêtements de recharge dur pour trépans de forage pétrolier et gazier, les buses en alliage de tungstène sont depuis longtemps un composant indispensable, dont la documentation est consignée dans les processus de fabrication.

COPYRIGHT AND LEGAL LIABILITY STATEMENT

6.1.3 Fonderie métallurgique : buses en alliage de tungstène pour coulée à haute température

Dans les procédés métallurgiques à haute température tels que la fusion sous vide, la fusion par faisceau d'électrons, la fusion plasma et la production de poudres par atomisation pour la coulée de précision, les buses en alliage de tungstène, servant de guides de fusion, d'atomiseurs de gaz et de conduits de gaz protecteurs, sont en contact direct avec les alliages de titane fondus, les superalliages à base de nickel et les métaux actifs à des températures supérieures à 1 600 °C. Alors que les buses ordinaires en graphite ou en céramique sont soit mouillées et érodées par le métal en fusion, soit brisées par le choc thermique, les buses en alliage de tungstène, grâce à leur point de fusion extrêmement élevé, leur coefficient de dilatation thermique extrêmement faible et leur excellente résistance à l'érosion par le métal en fusion, garantissent un flux de métal en fusion stable, une distribution granulométrique extrêmement étroite et une sphéricité de poudre extrêmement élevée. Dans la production de poudres d'alliages de titane de qualité aérospatiale, de poudres de superalliages pour l'impression 3D et de poudres atomisées magnétiquement, les buses en alliage de tungstène sont devenues le facteur limitant déterminant la qualité et le rendement de la poudre finale.

6.1.4 Nettoyage de précision : Buse en alliage de tungstène pour jet d'eau haute pression

Dans le nettoyage par jet d'eau ultra-haute pression et par jet d'eau abrasif (décontamination des installations nucléaires, décapage des pales d'éoliennes offshore, rugosification des matériaux composites aéronautiques, nettoyage de précision des cavités de moules), les buses en alliage de tungstène sont soumises à une quadruple contrainte : des coups de bâton de plusieurs centaines de mégapascals, des millions d'impulsions de pression, des milieux hautement corrosifs et des abrasifs durs. Alors que les buses en saphir et en carbure cavitent souvent et s'écaillent ou agrandissent leurs trous après quelques centaines d'heures, les buses en alliage de tungstène, grâce à leur ultra-haute résistance, leur excellente résistance à la cavitation et leur paroi interne de qualité miroir, conservent la largeur de coupe, la rugosité de surface et l'efficacité d'enlèvement de matière initiales pendant des milliers d'heures. Dans les applications exigeant une propreté et une stabilité extrêmement élevées, comme le nettoyage du circuit primaire dans les centrales nucléaires, l'élimination de la rouille des parois internes des réservoirs de GNL et le nettoyage en place (NEP) en ligne dans les industries agroalimentaires et pharmaceutiques, les buses en alliage de tungstène sont devenues le seul matériau de buse répondant aux réglementations et certifications de procédés les plus strictes. La généralisation des buses en alliage de tungstène dans le secteur de la fabrication industrielle les a fait passer du statut de « consommables haut de gamme » à celui d'« éléments essentiels du processus ». Partout où les stations de pulvérisation impliquent des températures, des pressions, une usure et une propreté extrêmes, les buses en alliage de tungstène sont presque systématiquement présentes.

6.2 Application des buses en alliage de tungstène dans le secteur de l'énergie et des mines

L'industrie énergétique et minière réunit les conditions de travail les plus extrêmes jamais rencontrées par l'humanité : pressions ultra-élevées, températures extrêmes, abrasion intense, corrosion sévère et rayonnements puissants sont autant de phénomènes qui se produisent simultanément. Grâce à leurs

COPYRIGHT AND LEGAL LIABILITY STATEMENT

Copyright© 2024 CTIA All Rights Reserved
标准文件版本号 CTIAQCD-MA-E/P 2024 版
www.ctia.com.cn

电话/TEL: 0086 592 512 9696
CTIAQCD-MA-E/P 2018-2024V
sales@chinatungsten.com

performances polyvalentes, les buses en alliage de tungstène sont devenues la solution fiable pour les applications de pulvérisation les plus exigeantes dans ce secteur.

6.2.1 Forage pétrolier : Buses en alliage de tungstène pour le concassage de roches à haute pression

Lors d'opérations de forage telles que le fracturation hydraulique à haute pression, la perforation pour la complétion des puits et le débouchage et l'amélioration de la production des puits de pétrole et de gaz, les buses en alliage de tungstène, élément central de fracturation des trépans ou des canons de perforation, sont directement soumises à des coups de bâlier instantanés de plusieurs centaines de mégapascals, à des flux abrasifs à grande vitesse contenant du sable de quartz et des déblais de roche, ainsi qu'à la forte corrosion des fluides de fracturation acidifiants. Les buses ordinaires en carbure cémenté subissent un élargissement important de l'orifice et une divergence du jet après quelques centaines d'heures, entraînant une baisse rapide de leur efficacité et de leur directionnalité. À l'inverse, les buses en alliage de tungstène, grâce à leur résistance à la compression ultra-élevée, leur résistance à la cavitation et à l'arrachement, et leur tolérance extrêmement faible au niveau du col, conservent la vitesse, la focalisation et l'efficacité de fracturation du jet à leur niveau maximal initial pendant des milliers d'heures. Ceci est particulièrement pertinent dans les conditions de forage extrêmes telles que les puits en eaux profondes, les puits ultra-profonds et les puits horizontaux de pétrole et de gaz de schiste.

6.2.2 Gazéification du charbon : Buses en alliage de tungstène pour réaction à haute température

Les procédés de gazéification du charbon (Texaco, Shell, gazéificateurs à quatre buses opposées) exigent des buses capables d'atomiser avec précision et de brûler de manière stable le charbon pulvérisé, la vapeur d'eau et l'oxygène dans un environnement extrême, à une température supérieure à 1 500 °C en continu, et contenant de fortes concentrations de scories fondues et de gaz réducteurs. Les buses classiques en réfractaire ou en cuivre refroidi à l'eau sont soit rapidement érodées par les scories fondues, soit se fissurent sous l'effet des contraintes thermiques. Les buses en alliage de tungstène, grâce à leur point de fusion ultra-élevé et à leur excellente résistance à l'érosion par les scories fondues, aux chocs thermiques et à l'oxydation, garantissent la symétrie de quatre buses ou plus et la stabilité à long terme de l'angle du cône d'atomisation, maintenant ainsi la composition efficace du gaz et le taux de conversion du carbone du gazéificateur à des niveaux optimaux pendant des dizaines de milliers d'heures. Dans les centrales modernes de gazéification du charbon à grande échelle, dont le fonctionnement annuel d'un seul four dépasse 8 000 heures, les buses en alliage de tungstène sont devenues le seul composant essentiel du brûleur permettant un fonctionnement « long cycle, à pleine charge et sans arrêts imprévus ».

6.2.3 Production d'énergie thermique : Buses en alliage de tungstène pour la désulfuration et la dénitrification

Les buses d'atomisation à double fluide des tours de pulvérisation pour la désulfuration par voie humide et des systèmes de dénitrification par réduction catalytique sélective (SCR) sont exposées à un environnement extrêmement corrosif et abrasif, riche en boues calcaires, particules de gypse, cendres volantes, SO₂, NO_x et ions chlorure. Les buses classiques en acier inoxydable et en alliage dur subissent souvent une usure importante, un colmatage ou une rupture après seulement quelques milliers d'heures

COPYRIGHT AND LEGAL LIABILITY STATEMENT

d'utilisation, entraînant des fluctuations significatives de l'efficacité de la désulfuration et de la dénitrification. À l'inverse, les buses en alliage de tungstène (notamment celles composées d'un mélange tungstène-nickel-cuivre non magnétique et résistant à la corrosion), grâce à leurs parois internes polies miroir, leur excellente résistance à l'usure et à la corrosion et leur stabilité dimensionnelle, maintiennent la taille des particules atomisées, l'uniformité de la couverture et la densité de pulvérisation à leurs valeurs optimales pendant des dizaines de milliers d'heures, garantissant ainsi une efficacité de désulfuration et de dénitrification constamment supérieure aux normes nationales d'émissions ultra-faibles. Dans les unités ultra-supercritiques de 600 MW et plus, les buses en alliage de tungstène sont devenues un élément essentiel pour atteindre des émissions quasi nulles et un fonctionnement à long terme.

6.2.4 Utilisation de l'énergie nucléaire : buses en alliage de tungstène pour environnements résistants aux radiations

Dans les environnements radiologiques les plus exigeants liés à l'utilisation de l'énergie nucléaire (nettoyage du circuit primaire du réacteur, traitement des déchets nucléaires, décontamination des assemblages combustibles, refroidissement des cibles pour la production d'isotopes et jet de précision en chambre chaude), les buses doivent résister à de forts rayonnements neutroniques et gamma, à des milieux radioactifs à haute température et haute pression, à la corrosion par acides et bases forts, ainsi qu'à l'érosion par particules solides. Les matériaux ordinaires se détériorent en quelques mois sous l'effet du gonflement dû aux radiations, de la fragilisation et de la perforation par corrosion. En revanche, les buses en alliage de tungstène, présentant un gonflement sous irradiation quasi nul, une fragilisation extrêmement faible, une excellente résistance aux hautes températures et une résistance totale à la corrosion quel que soit le pH, conservent leur intégrité géométrique et la stabilité du jet pendant plusieurs années dans le réacteur ou la chambre chaude, garantissant ainsi une décontamination optimale, un volume de déchets minimal et l'absence de pollution secondaire. Dans les réacteurs à eau pressurisée de pointe, les réacteurs à neutrons rapides, les chambres cibles des réacteurs à fusion et les installations de production d'isotopes à haut flux, les buses en alliage de tungstène sont devenues les seuls composants de projection de précision à avoir satisfait aux exigences de certification nucléaire les plus strictes et à pouvoir être installés durablement dans les zones les plus exposées aux radiations au cœur du réacteur. L'intégration poussée des buses en alliage de tungstène dans les industries de l'énergie et minière les a fait passer du statut de « consommables haut de gamme » à celui d'éléments essentiels au bon fonctionnement des procédés. Les buses en alliage de tungstène sont désormais un choix incontournable pour toute station de projection soumise à des pressions, des températures, une abrasion, une corrosion et des radiations extrêmes.

6.3 Application des buses en alliage de tungstène dans les équipements haut de gamme

Les exigences relatives aux buses utilisées dans les équipements haut de gamme ne portent plus sur leur durée de vie, mais plutôt sur un taux de défaillance nul, une dérive nulle, une pollution nulle et un risque nul. Les buses en alliage de tungstène, grâce à leur précision dimensionnelle à toutes les températures, leur densité quasi théorique garantissant une résistance à l'usure optimale, leur propreté absolue et leur compatibilité bio/électromagnétique, sont devenues la solution standard et une option légitime dans les

COPYRIGHT AND LEGAL LIABILITY STATEMENT

Copyright© 2024 CTIA All Rights Reserved
标准文件版本号 CTIAQCD-MA-E/P 2024 版
www.ctia.com.cn

电话/TEL: 0086 592 512 9696
CTIAQCD-MA-E/P 2018-2024V
sales@chinatungsten.com

secteurs les plus exigeants tels que l'aérospatiale, le transport ferroviaire, les dispositifs médicaux et la fabrication électronique.

6.3.1 Aérospatiale : Buses en alliage de tungstène pour l'injection de gaz dans les moteurs

Dans les chambres de combustion, les postcombustions et les systèmes de refroidissement et de purge des turboréacteurs à double flux/turbomoteurs, les injecteurs en alliage de tungstène assurent l'atomisation du carburant, la stabilisation de la flamme, le refroidissement des gaz d'échappement et la purge haute pression. Ils sont directement exposés aux gaz de combustion à haute température (plus de 1 800 °C), à l'érosion par les particules de carbone, aux fortes vibrations et aux variations rapides de température. Les injecteurs ordinaires en nickel ou en acier inoxydable s'encrassent, brûlent ou se fissurent après quelques centaines d'heures d'utilisation. En revanche, grâce à leur point de fusion ultra-elevé, leur excellente résistance à l'oxydation et aux chocs thermiques, ainsi qu'à leur stabilité dimensionnelle, les injecteurs en alliage de tungstène garantissent la constance de l'angle du cône d'atomisation, de la distribution granulométrique et de la vitesse du flux d'air de refroidissement pendant des dizaines de milliers d'heures. Ils sont devenus le matériau de référence pour les injecteurs des chambres de combustion et des bancs d'essai des moteurs commerciaux les plus courants, tels que les CFM56, LEAP, CJ1000A et AECC, ainsi que de nombreux autres modèles importants.

6.3.2 Transport ferroviaire : Buses en alliage de tungstène pour le refroidissement du système de freinage

Dans les systèmes de freinage à disques pneumatiques des trains à grande vitesse (plus de 350 km/h) et des trains de marchandises lourds, des buses en alliage de tungstène assurent le refroidissement par air haute pression et le dépoussiérage des disques et plaquettes de frein. Elles résistent directement aux pics de chaleur instantanés au freinage (plus de 800 °C), aux flux abrasifs à grande vitesse contenant de la poudre de fer et des fibres d'amiante, ainsi qu'aux chocs répétés des arrêts et redémarrages. Les buses classiques s'usent ou s'encrassent après quelques milliers de kilomètres, entraînant une perte d'efficacité du freinage et une accumulation de poussière. À l'inverse, les buses en alliage de tungstène, grâce à leurs parois internes polies miroir, leur résistance extrêmement élevée à l'usure et à la corrosion, et leur invariance dimensionnelle, maintiennent une vitesse de flux d'air de refroidissement constante et une uniformité de couverture optimale pendant des centaines de milliers de kilomètres. Elles sont devenues un composant essentiel et durable des systèmes de freinage des locomotives lourdes Fuxing et Harmony, ainsi que des rames automotrices électriques haut de gamme telles que les ICE et TGV européens.

6.3.3 Dispositifs médicaux : Buses en alliage de tungstène pour pulvérisation de précision

Dans les dispositifs médicaux de pointe tels que les inhalateurs de médicaments, les injecteurs d'insuline sans aiguille, les systèmes d'irrigation chirurgicale ophtalmique, les systèmes de nettoyage dentaire par jet d'eau et d'air, et les revêtements à libération de médicament pour implants, les buses en alliage de tungstène (en particulier celles composées d'un alliage tungstène-nickel-cuivre non magnétique et répondant aux normes de propreté médicale) constituent l'élément déterminant pour la taille des particules médicamenteuses, la précision du jet et la biocompatibilité. Elles exigent une absence totale

COPYRIGHT AND LEGAL LIABILITY STATEMENT

de magnétisme, l'absence de libération d'ions métalliques, une stérilité absolue et l'absence de substances extractibles. Les buses ordinaires en acier inoxydable ou en plastique ne peuvent satisfaire simultanément aux exigences de compatibilité électromagnétique et de biosécurité. Grâce à leur inertie chimique totale (pH 100 %), leur paroi interne à finition miroir, leur absence de magnétisme et leur certification de biocompatibilité ISO 10993 (la plus rigoureuse), les buses en alliage de tungstène garantissent une variation de la taille des particules d'atomisation du médicament d'un lot à l'autre inférieure au micron. Cela en a fait un matériau légal pour les embouts des principales marques mondiales d'injecteurs sans aiguille, d'inhalateurs de poudre sèche et d'équipements dentaires haut de gamme.

6.3.4 Fabrication électronique : Buses en alliage de tungstène pour l'encapsulation de puces

Dans les procédés de collage flip-chip, d'encapsulation au niveau de la plaquette, de pulvérisation par transfert de masse pour mini/micro-LED, de dosage précis d'adhésif de remplissage, de nettoyage plasma et de pulvérisation de résine photosensible, les buses en alliage de tungstène, composants essentiels déterminant la régularité des joints de soudure, la précision du chemin d'adhésif et la propreté, exigent des tolérances de gorge submicroniques, une rugosité de paroi interne nanométrique, une absence totale de contamination particulaire et une compatibilité antistatique/électromagnétique extrêmement élevée. Les buses ordinaires en saphir ou en acier inoxydable sont sujettes à la génération de particules, à l'adsorption électrostatique ou à la dérive de la gorge, entraînant des pertes de rendement inacceptables, même minimes. Les buses en alliage de tungstène, grâce à leur résistance à l'usure théoriquement élevée, leur revêtement poli miroir à faible friction sur la paroi interne, leur coaxialité parfaite et leur conductivité contrôlable, conservent leur précision de dosage/pulvérisation et leur propreté initiales, même après des centaines de milliers de cycles. Elles sont devenues le matériau de buse incontournable pour les lignes d'encapsulation et de test de pointe chez des fabricants mondiaux tels que TSMC, Samsung, Intel et Huawei HiSilicon. La domination totale des buses en alliage de tungstène dans les équipements haut de gamme a rendu caduque la question de l'existence d'alternatives. Elles ne sont plus optionnelles, mais bien des éléments essentiels, inscrits sans hésitation dans les spécifications de conception, les listes de fournisseurs et les catalogues de certification. Derrière une simple buse en alliage de tungstène se cache la solidification complète du composant le plus vulnérable de l'ensemble de l'équipement haut de gamme.

6.4 Application des buses en alliage de tungstène dans des domaines d'ingénierie spécifiques

Dans les applications d'ingénierie spécialisées exigeant une fiabilité, une adaptabilité environnementale et une marge de performance maximales, les buses en alliage de tungstène ont depuis longtemps dépassé le stade de simples consommables industriels pour devenir des composants stratégiques essentiels au succès ou à l'échec d'un système. Leurs performances exceptionnelles – résistance à la combustion, aux chocs, aux vibrations, aux rayonnements et à la corrosion – en font l'un des rares matériaux pour buses à pouvoir être intégré aux cahiers des charges les plus rigoureux.

6.4.1 Équipement militaire : Buses en alliage de tungstène pour systèmes de pulvérisation spéciaux

Dans les systèmes de nettoyage par jet d'eau à haute énergie, les traitements de surface spéciaux, la décontamination en environnements extrêmes et les équipements de maintenance d'urgence, les buses en

COPYRIGHT AND LEGAL LIABILITY STATEMENT

alliage de tungstène constituent les actionneurs essentiels, directement exposés à des pressions ultra-élevées, à des fluides hautement abrasifs, toxiques ou corrosifs, ainsi qu'à des variations de température extrêmes et à de fortes vibrations. Les buses en matériaux ordinaires cèdent souvent en quelques minutes ou quelques heures, entraînant des interruptions de mission. À l'inverse, les buses en alliage de tungstène, grâce à leur durée de vie exceptionnelle, leur stabilité paramétrique et leur mode de défaillance totalement sûr (expansion sans fragmentation ni production de particules secondaires), garantissent la continuité de fonctionnement des équipements et la sécurité du personnel même dans les conditions les plus difficiles. Elles sont ainsi devenues le matériau de référence pour de nombreux systèmes de nettoyage par jet d'eau spéciaux.

6.4.2 Lancement spatial : tuyères en alliage de tungstène pour systèmes de propulsion

Dans les systèmes de lancement et de contrôle d'orbite aérospatiaux, les tuyères en alliage de tungstène sont largement utilisées dans les chemises de gorge des moteurs de contrôle d'attitude et d'orbite, les tuyères des vannes d'injection de propergol des satellites, les tuyères de refroidissement des véhicules d'essai au sol et les tuyères de purge à l'hélium haute pression. Ces composants doivent résister simultanément à des propergols hautement oxydants ou corrosifs tels que l'oxygène liquide/kérosène, l'oxygène liquide/méthane et le tétr oxyde d'azote/diméthyl diméthyl asymétrique, ainsi qu'à des températures instantanées de la chambre de combustion atteignant plusieurs milliers de degrés Celsius et à de fortes vibrations lors du lancement et de la rentrée atmosphérique. Grâce à leur point de fusion extrêmement élevé, leur excellente résistance aux chocs thermiques, leur taux d'ablation quasi nul et leur précision dimensionnelle, les tuyères en alliage de tungstène garantissent le maintien de la poussée et de l'impulsion spécifique du moteur pendant des milliers de secondes. Elles sont ainsi devenues des composants essentiels des lanceurs lourds, des systèmes de récupération du premier étage, des sondes spatiales et des systèmes de contrôle d'attitude et d'orbite des engins spatiaux habités.

6.4.3 Intervention d'urgence chimique : Buses en alliage de tungstène pour la manipulation de milieux corrosifs

Lors d'interventions d'urgence en cas d'accident chimique, d'élimination de matières dangereuses et d'opérations de neutralisation et de décontamination en milieux hautement corrosifs, les buses en alliage de tungstène (notamment celles composées d'un alliage tungstène-nickel-cuivre non magnétique et résistant à la corrosion) sont des composants essentiels des systèmes de jet ultra-haute pression mobiles ou embarqués. Elles sont en contact direct avec des acides concentrés, des bases, des oxydants puissants, des composés organiques hautement toxiques et des agents biochimiques. Contrairement aux buses en matériaux ordinaires qui se dissolvent ou se perforent en quelques minutes, les buses en alliage de tungstène, grâce à leur quasi-inertie chimique sur toute la gamme de pH, leurs parois internes polies miroir et leur extrême robustesse, garantissent la stabilité des paramètres du jet et de l'atomisation pendant des heures, même dans les milieux les plus agressifs. Elles éliminent ainsi tout risque de contamination secondaire et de défaillance soudaine de la buse. Elles sont devenues un équipement standard des systèmes nationaux d'intervention d'urgence pour les catastrophes majeures.

COPYRIGHT AND LEGAL LIABILITY STATEMENT

Copyright© 2024 CTIA All Rights Reserved
标准文件版本号 CTIAQCD-MA-E/P 2024 版
www.ctia.com.cn

电话/TEL: 0086 592 512 9696
CTIAQCD-MA-E/P 2018-2024V
sales@chinatungsten.com

6.4.4 Exploration en eaux profondes : buses en alliage de tungstène pour environnements à haute pression

Dans les sondes sous-marines, les équipements d'exploitation minière sous-marine et les systèmes de découpe et de nettoyage hydrauliques haute pression destinés à la recherche scientifique abyssale, les buses en alliage de tungstène, seules pièces mobiles soumises à une pression externe de plusieurs milliers d'atmosphères, doivent résister simultanément à la pénétration de l'eau de mer sous haute pression, à l'érosion abrasive rapide due au sable et aux fragments de roche, à la forte corrosion par les ions chlorure et aux températures extrêmement basses. Les buses en matériaux ordinaires se déforment, cavitent ou se corrodent rapidement sous la pression des grands fonds, tandis que les buses en alliage de tungstène, grâce à leur résistance à la compression ultra-élevée, leur excellente résistance à la cavitation et leur résistance supérieure à la corrosion par l'eau de mer, garantissent une efficacité de découpe et de nettoyage constante pendant des milliers d'heures dans les abysses. Elles sont devenues un matériau indispensable pour les buses haute pression du submersible habité « Striver » de 10 000 mètres, des équipements d'exploitation minière sous-marine et des réseaux d'observation des fonds marins. L'intégration poussée des buses en alliage de tungstène dans ces domaines d'ingénierie spécialisés les a élevées du statut de « matériaux de pointe » à celui de « composants stratégiques nationaux clés ».

6.5 Applications des buses en alliage de tungstène dans les domaines émergents

Les technologies émergentes s'accompagnent souvent de conditions de fonctionnement des buses extrêmement exigeantes et intransigeantes. Les buses en alliage de tungstène deviennent rapidement la base matérielle de technologies de pointe telles que l'impression 3D, l'énergie hydrogène, la capture du carbone et les lasers ultrarapides, car elles sont les seules à pouvoir suivre le rythme de l'imagination. Elles ne sont plus seulement utilisables, mais incontournables.

6.5.1 Impression 3D : Buse en alliage de tungstène pour la projection de poudre métallique

Dans les procédés de dépôt d'énergie dirigée (DED), de dépôt de métal par laser (LMD), de fabrication additive par transfert de métal à froid (CMT) et dans l'impression par jet de métal liquide émergente, les buses en alliage de tungstène, utilisées comme canaux d'alimentation en poudre coaxiaux ou latéraux, sont directement soumises à des impacts répétés provenant des bords des points focaux laser/arc dépassant 1 500 °C, à la lumière laser réfléchie et à la poudre métallique semi-fondue et totalement fondu. Les buses ordinaires en carbure céramique ou en acier inoxydable souffrent d'une forte adhérence de la poudre, de la formation de nodules et d'un élargissement du canal après seulement quelques centaines de couches, ce qui entraîne la dispersion du faisceau de poudre, l'effondrement du canal de dépôt et une perte de précision de formage. À l'inverse, les buses en alliage de tungstène, grâce à leur point de fusion ultra-élevé, leur paroi interne antiadhésive à l'aspect miroir, leur précision dimensionnelle submicronique et leur excellente résistance aux chocs thermiques, garantissent une focalisation précise de la poudre et une stabilité d'écoulement optimales pendant des dizaines de milliers de couches. Elles constituent ainsi la seule option autorisée pour les buses d'alimentation en poudre coaxiales des principaux équipements d'impression 3D métal disponibles sur le marché mondial, tels que ceux de GE Additive, EOS, SLM Solutions, Farsoon et BLT. Pour les applications de fabrication additive les plus

COPYRIGHT AND LEGAL LIABILITY STATEMENT

exigeantes, comme la production de composants structuraux en alliage de titane pour l'aérospatiale, la réparation d'aubes de turbines à gaz et l'impression intégrale de roues de pompes principales pour centrales nucléaires, les buses en alliage de tungstène sont directement intégrées aux spécifications des procédés aérospatiaux et nucléaires.

6.5.2 Industrie de l'énergie hydrogène : Buses en alliage de tungstène pour piles à combustible

L'ensemble de la chaîne énergétique de l'hydrogène (détection dans les réservoirs de stockage haute pression, refroidissement par pulvérisation à ultra-haute pression dans les stations de ravitaillement, humidification et évacuation des gaz d'échappement des piles à combustible, et pulvérisation précise d'électrolyte dans les batteries à flux) impose quatre exigences aux buses : une propreté extrême, une résistance extrême à la corrosion, une résistance extrême à la haute pression et l'absence totale de précipitation d'ions métalliques. Les buses en alliage de tungstène (en particulier celles composées d'un mélange non magnétique tungstène-nickel-cuivre et présentant un rapport de propreté ultra élevé) répondent parfaitement aux exigences d'atomisation pour l'humidification des piles et de séparation des gouttelettes de gaz d'échappement grâce à leur inertie chimique totale (pH), leur absence de magnétisme, leur paroi interne à finition miroir et leur conformité aux normes les plus strictes en matière de précipitation d'ions pour les piles à combustible PEM (inférieures au ppb). Ceci garantit la protection de l'ensemble membrane-électrode (MEA) et sa non-dégradation pendant des dizaines de milliers d'heures, faisant de l'alliage de tungstène le seul matériau de buse certifié pour les Toyota Mirai, Honda Clarity, Hyundai NEXO et de nombreux fabricants nationaux de piles à combustible de premier plan. Dans le système de détection des fuites d'hydrogène supercritique à 70 MPa et de refroidissement par pulvérisation des stations de ravitaillement en hydrogène, les buses en alliage de tungstène, avec leur résistance à la fragilisation par l'hydrogène, leur résistance à la pression ultra élevée instantanée et leur invariance dimensionnelle, sont devenues une option obligatoire pour les composants de sécurité essentiels des stations de ravitaillement en hydrogène du monde entier.

6.5.3 Capture du carbone : Buse en alliage de tungstène pour injection d'absorbant

Dans les systèmes de captage, d'utilisation et de stockage du carbone (CUSC), les tours d'absorption à circulation à base d'amines, de sodium-alcali et de calcium nécessitent des buses capables de résister à une exposition prolongée à des températures et des concentrations élevées de CO₂, à des solutions/suspensions d'amines contenant des particules solides, à des environnements fortement alcalins et à des cycles thermiques sévères. Les buses ordinaires en acier inoxydable duplex et en Hastelloy présentent une abrasion importante, un blocage par cristallisation et une fissuration par corrosion sous contrainte après seulement quelques milliers d'heures. En revanche, les buses en alliage de tungstène, grâce à leur excellente résistance à l'usure et à la corrosion, à leurs parois internes anti-enrassement à finition miroir et à leur résistance aux chocs thermiques, maintiennent la taille des gouttelettes absorbantes, l'uniformité de leur distribution et la densité de pulvérisation dans des conditions optimales pendant des dizaines de milliers d'heures, garantissant ainsi une efficacité de captage constamment supérieure à 95 %. Elles sont devenues le matériau de référence pour les buses des tours d'absorption dans les principaux projets de démonstration nationaux de « double carbone » (tels que Huaneng Shidongkou, CR Haifeng et Datang Tuoketuo).

COPYRIGHT AND LEGAL LIABILITY STATEMENT

6.5.4 Technologie laser : buses en alliage de tungstène pour refroidissement auxiliaire

Dans les lasers à fibre industriels d'une puissance allant de quelques centaines de kilowatts à plusieurs mégawatts, les têtes de traitement laser ultrarapides picoseconde/femtoseconde, le refroidissement des sources lumineuses des machines de lithographie EUV et les systèmes d'allumage par fusion laser, des buses en alliage de tungstène, utilisées comme buses à assistance gazeuse supersonique ou buses de refroidissement à l'hélium/azote supercritique, sont placées à quelques millimètres du point focal du laser. Elles résistent à la lumière laser réfléchie, à la pulvérisation plasma, aux chocs thermiques instantanés de plusieurs milliers de degrés et au reflux de gaz à très grande vitesse. Alors que les buses ordinaires en cuivre ou en céramique s'ablatent ou se brisent instantanément, les buses en alliage de tungstène, grâce à leur point de fusion ultra-elevé, leur excellente résistance à l'ablation par réflexion laser, leur précision dimensionnelle et leur conductivité contrôlable, garantissent une stabilité parfaite de l'épaisseur et de la vitesse du rideau de gaz de refroidissement, même après des millions d'impulsions. Elles éliminent ainsi complètement l'effet corona thermique et la dérive de puissance de la lentille de la tête laser. Elles sont devenues les buses de protection essentielles des systèmes laser les plus avancés au monde, notamment Trumpf, IPG Photonics, Coherent, les sources de lumière EUV d'ASML et le NIF National Ignition Facility.



Buses en alliage de tungstène CTIA GROUP LTD

CTIA GROUP LTD

High-Density Tungsten Alloy Customization Service

CTIA GROUP LTD, a customization expert in high-density tungsten alloy design and production with 30 years of experience.

Core advantages: 30 years of experience: deeply familiar with tungsten alloy production, mature technology.

Precision customization: support high density (17-19 g/cm³), special performance, complex structure, super large and very small parts design and production.

Quality cost: optimized design, optimal mold and processing mode, excellent cost performance.

Advanced capabilities: advanced production equipment, RMI, ISO 9001 certification.

100,000+ customers

Widely involved, covering aerospace, military industry, medical equipment, energy industry, sports and entertainment and other fields.

Service commitment

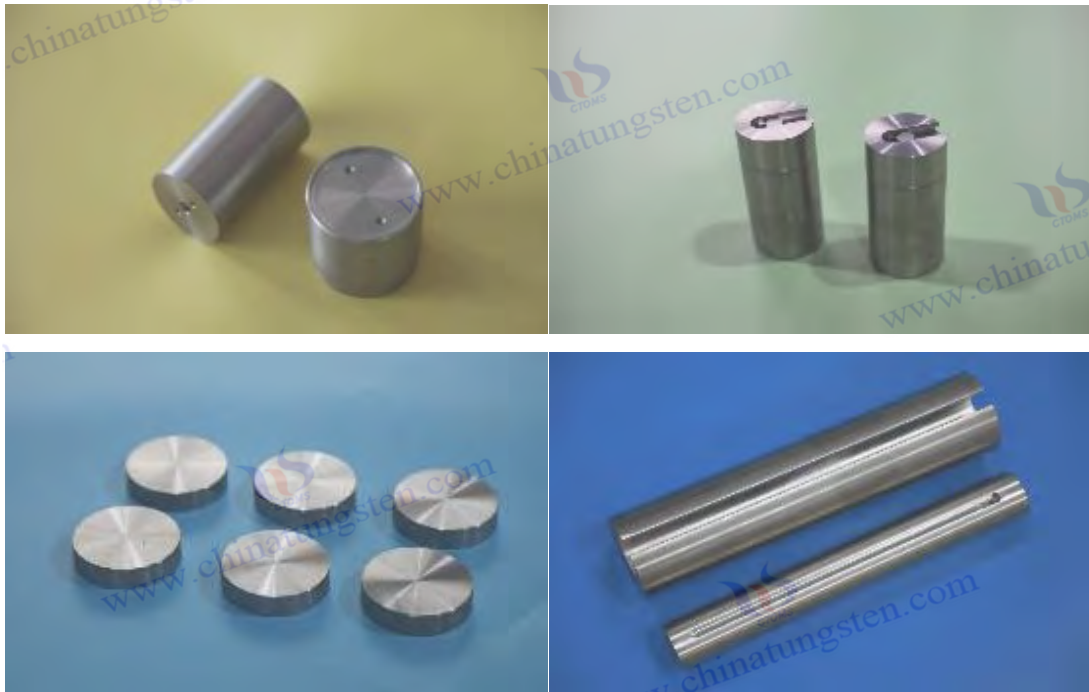
1 billion+ visits to the official website, 1 million+ web pages, 100,000+ customers, 0 complaints in 30 years!

Contact us

Email: sales@chinatungsten.com

Tel: +86 592 5129696

Official website: www.tungsten-alloy.com



COPYRIGHT AND LEGAL LIABILITY STATEMENT

Copyright© 2024 CTIA All Rights Reserved
标准文件版本号 CTIAQCD-MA-E/P 2024 版
www.ctia.com.cn

电话/TEL: 0086 592 512 9696
CTIAQCD-MA-E/P 2018-2024V
sales@chinatungsten.com

Chapitre 7 : Sélection, installation et maintenance des buses en alliage de tungstène

7.1 Sélection scientifique des buses en alliage de tungstène

Le choix des buses en alliage de tungstène ne se résume jamais à une simple comparaison de tableaux de paramètres. Il exige un calcul complet prenant en compte des facteurs tels que la température de fonctionnement, la pression, les propriétés du fluide, les exigences d'atomisation du flux, la compatibilité structurelle et le coût total du cycle de vie.

7.1.1 Adaptation des paramètres de fonctionnement : Adaptation de la buse en alliage de tungstène à la température et à la pression

La température et la pression constituent les limites absolues pour déterminer la formulation et le traitement de surface des buses en alliage de tungstène. Pour des conditions de fonctionnement à température ambiante ou moyenne et dans la plage de pression normale, la formulation standard tungstène-nickel-fer la plus économique peut être privilégiée. Dès que la température dépasse régulièrement 1 000 °C ou que l'impact instantané excède 1 500 °C, il est nécessaire d'opter pour une formulation à haute teneur en tungstène, renforcée au cobalt ou à base de terres rares pour lutter contre l'oxydation. Les conditions de très haute pression exigent une structure en tungstène plus continue et une ténacité du liant supérieure, tandis qu'une infiltration de bore ou des revêtements composites sont indispensables pour prévenir la cavitation et le décollement. Des marges de température et de pression suffisantes doivent être prévues lors du choix de la formulation ; un choix basé sur une marge minimale est inacceptable. Autrement, lors d'un fonctionnement prolongé à pleine charge, un ramollissement, une oxydation ou une cavitation apparaîtront rapidement, entraînant une perte de jet et des arrêts de production imprévisibles. L'approche correcte consiste d'abord à effectuer des simulations de champ de température et d'impulsion de pression, puis à ajuster la formulation d'un niveau supérieur en fonction des conditions de fonctionnement les plus défavorables afin de garantir que la buse fonctionne toujours dans sa zone de confort.

7.1.2 Compatibilité des caractéristiques des fluides : Les buses en alliage de tungstène sont compatibles avec les fluides corrosifs.

Le milieu corrosif détermine directement la durabilité du système de phase liante. Dans des milieux peu corrosifs tels que les gaz neutres, l'eau pure et les poudres inertes, le système tungstène-nickel-fer résiste sans problème. Cependant, en présence d'acides forts, de bases fortes, d'eau de mer, de désinfectants chlorés ou de flammes à haute température contenant de l'oxygène, il est nécessaire d'opter pour un système tungstène-nickel-cuivre non magnétique et résistant à la corrosion, en optimisant la teneur en cuivre et en adaptant le traitement de surface au milieu spécifique. Les environnements de scories fondues à haute température, de plasma et d'érosion par poudre de carbone requièrent un système tungstène-nickel-fer contenant des antioxydants à base de terres rares et bénéficiant d'un durcissement par boruration. Les milieux stériles de qualité pharmaceutique et l'eau ultrapure déminéralisée exigent un système tungstène-nickel-cuivre ultra-propre de qualité médicale, poli électrolytiquement jusqu'à obtenir un fini miroir. De nombreux incidents historiques de « dissolution soudaine des buses », de

COPYRIGHT AND LEGAL LIABILITY STATEMENT

« cloques et de décollement de la surface » et de « contamination du produit par des ions métalliques précipités » sont tous dus à une incompatibilité entre le fluide et le liant. Des essais d'immersion et une vérification de la corrosion accélérée doivent être effectués avant de choisir un système ; les décisions ne doivent pas reposer sur l'expérience ou sur des promesses verbales de fournisseurs.

7.1.3 Adéquation des exigences de performance : Adaptation de la buse en alliage de tungstène et de l'atomisation du flux

Le débit requis et la taille des particules atomisées déterminent le diamètre du col, l'angle du cône et la longueur de la section d'expansion. Pour les applications de découpe et de nettoyage à débits élevés et exigences d'atomisation faibles, une structure Laval courte ou à orifice droit peut être utilisée, offrant une grande flexibilité quant au diamètre du col. Pour la projection thermique et la combustion de carburant à débits moyens et exigences d'atomisation élevées, une buse Laval classique est nécessaire, avec un diamètre de col et un angle d'expansion optimisés avec précision par simulation numérique (CFD). Pour les applications exigeant une atomisation ultra-fine, telles que l'inhalation de médicaments, la distribution de puces et le refroidissement de sources de lumière EUV, une structure composite à micro-col, stabilisation de flux multi-étages et expansion supersonique est requise, avec des tolérances de col contrôlées à l'échelle submicronique. Pour la projection à froid et le nettoyage supersonique à vitesses de particules extrêmement élevées, une structure Laval ultra-longue, associée à une microtexture de paroi interne et à un revêtement à faible friction, est indispensable. Une seule buse ne peut satisfaire simultanément à la fois à des débits élevés et à une atomisation ultra-fine. Forcer une seule buse à satisfaire aux deux exigences ne peut que provoquer un débit insuffisant, une contre-pression excessive ou une atomisation trop grossière, ce qui entraîne une réduction drastique de la durée de vie du système de pompage ou une perte de contrôle de la qualité du procédé. Avant toute sélection, les priorités doivent être clairement définies : le débit ou l'atomisation est-il le critère principal ? La géométrie du col doit ensuite être précisément adaptée aux exigences essentielles.

7.1.4 Sélection du type de structure : structure de la buse en alliage de tungstène et adaptation à la scène

La conception structurelle influe directement sur la facilité d'installation et les coûts de maintenance. Les systèmes intégrés à connexion directe filetée conviennent aux applications de projection thermique et de soudage plasma, grâce à un espace suffisant autour du pistolet et une faible fréquence de changement de buse. Les systèmes à baïonnette à changement rapide sont spécialement conçus pour les stations de travail nécessitant des changements de buse de second niveau, comme la découpe au jet d'eau, le nettoyage et l'impression 3D. Les systèmes à brides soudées ou brasées sont utilisés pour les composants haute température fixés de manière permanente, tels que les chambres de combustion et les gazéificateurs. Les systèmes intégrés à plusieurs buses sont spécifiquement développés pour la projection uniforme sur de grandes surfaces dans le conditionnement de puces, les tours de capture et d'absorption du carbone et le transfert de masse des LED. Enfin, les systèmes à chemise de refroidissement par eau intégrée sont utilisés pour les têtes de traitement laser de plusieurs centaines de kilowatts et les environnements à forte charge thermique. Choisir une structure inadaptée peut entraîner une installation longue et fastidieuse, voire une incompatibilité totale. Historiquement, les erreurs de sélection les plus fréquentes se sont

COPYRIGHT AND LEGAL LIABILITY STATEMENT

produites lorsque les performances étaient parfaitement compatibles, mais que la structure physique ne l'était pas. Lors du choix d'un modèle, il est essentiel de vérifier au préalable le type d'interface du corps de l'arme, l'espace disponible pour l'installation, la fréquence de changement de buse et la nécessité d'un refroidissement par eau avant de choisir la structure appropriée. Les performances ne doivent jamais être prises en compte sans tenir compte de la compatibilité physique.

7.1.5 Éviter les erreurs de sélection courantes : Analyse des problèmes courants liés au choix des buses en alliage de tungstène

Il est impératif d'éviter les cinq erreurs les plus graves lors du choix d'une buse : premièrement, se focaliser uniquement sur le prix unitaire le plus bas, sans tenir compte du coût total sur la durée de vie, conduit à l'achat de buses bon marché à courte durée de vie, nécessitant un remplacement fréquent, ce qui engendre un coût global maximal. Deuxièmement, soumettre des formulations standard à des conditions de fonctionnement extrêmes, dans l'espoir de « faire des économies sur les frais de sélection », ne fait qu'entraîner des arrêts de production complets et des problèmes de qualité. Troisièmement, rechercher aveuglément le plus petit diamètre de gorge provoque un débit insuffisant et une forte contre-pression, réduisant considérablement la durée de vie des pompes et des canalisations. Quatrièmement, négliger le couple de serrage, les méthodes d'étanchéité et les exigences de coaxialité rend même la meilleure buse inutilisable en cas d'installation incorrecte, provoquant une déviation du jet et une usure prématuée du pistolet. Cinquièmement, acheter de grandes quantités de nouveaux fluides ou procédés sans vérification préalable sur de petits lots entraîne des pertes de centaines de milliers d'euros dues à la mise au rebut de lots et aux arrêts de production en cas d'incompatibilité de la formulation ou du traitement de surface. La méthode optimale consiste à acquérir d'abord 3 à 5 buses pour une vérification accélérée de leur durée de vie (plus de 2 000 heures) afin de garantir une compatibilité parfaite en termes de température, de pression, de fluide, de débit, d'atomisation et d'installation avant d'augmenter la production, et d'utiliser le même lot de poudre et le même procédé. Cette méthode, bien que paraissant lente, est en réalité la plus rapide, la plus économique et la plus sûre.

7.2 Installation et réglage des buses en alliage de tungstène : points clés pour une garantie de précision

Une buse en alliage de tungstène, si elle présente un écart de coaxialité de 0,01 mm ou une erreur de couple de 5 N·m lors de son installation, voit ses performances réduites de moitié, voire rendue inutilisable sur-le-champ. Les utilisateurs les plus exigeants considèrent depuis longtemps l'installation et la mise au point comme une seconde étape de fabrication, soumise aux mêmes exigences rigoureuses que la fabrication des buses elles-mêmes ; toute erreur est perçue comme un grave défaut de qualité.

7.2.1 Préparation avant installation : inspection de la buse en alliage de tungstène et compatibilité des accessoires

À l'ouverture du colis, suivez immédiatement la règle des « cinq vérifications et trois points d'arrêt » : vérifiez que le sac sous vide est intact et que le dessicant a changé de couleur ; vérifiez l'absence de bosses, d'éclats ou de revêtements écaillés sur la surface de la buse ; vérifiez la netteté du marquage laser

COPYRIGHT AND LEGAL LIABILITY STATEMENT

Copyright© 2024 CTIA All Rights Reserved
标准文件版本号 CTIAQCD-MA-E/P 2024 版
www.ctia.com.cn

电话/TEL: 0086 592 512 9696
CTIAQCD-MA-E/P 2018-2024V
sales@chinatungsten.com

et du code QR ; vérifiez que le rapport sur les matériaux d'accompagnement, le rapport d'inspection dimensionnelle et la courbe de performance du jet sont complets ; et vérifiez la présence de tous les accessoires spéciaux, tels que les joints d'étanchéité, les manchons de guidage et les clés dynamométriques. Ensuite, en portant des gants en nitrile sans poudre, les buses et toutes les pièces en contact avec le fluide sont nettoyées une seconde fois à l'éthanol anhydre et par ultrasons. Après séchage à l'azote, elles sont immédiatement placées sous vide. Le matériau du joint d'étanchéité doit être reconfirmé en fonction du fluide (élastomère fluoré pour les conditions normales, perfluoroéther pour les hautes températures et Kalrez pour les environnements ultra-propres).

7.2.2 Spécifications d'installation principales : Technologie de positionnement et d'étanchéité des buses en alliage de tungstène

tungstène doivent impérativement respecter les principes suivants : « absence de contact direct, pré-serrage en deux étapes et serrage au couple en trois étapes ». La face d'extrémité, la surface conique et le cercle extérieur de la buse ne doivent en aucun cas entrer en contact direct avec le corps de l'arme. Des manchons de guidage en PEEK ou Invar de haute précision doivent être utilisés pour l'isolation afin d'éviter les impacts micrométriques et les concentrations de contraintes.

Le raccordement fileté est réalisé en trois étapes : premièrement, serrer à la main jusqu'à ce qu'il s'ajuste parfaitement sans jeu ; deuxièmement, utiliser une clé dynamométrique calibrée pour serrer à 80 % de la valeur cible, laisser reposer pendant cinq minutes pour relâcher les contraintes ; troisièmement, serrer à 100 % du couple cible, avec une erreur contrôlée à $\pm 5\%$.

Pour les systèmes de baïonnette à changement rapide, un double « clic » net doit être entendu et la profondeur de verrouillage doit être vérifiée à l'aide d'une jauge spéciale.

Les méthodes d'étanchéité sont classées selon la pression : pour une pression normale, utiliser des joints toriques et des bagues anti-extrusion ; pour une haute pression, utiliser des joints toriques métalliques ou des joints d'étanchéité pour lentilles ; pour une très haute pression, utiliser des joints toriques métalliques en forme de D et un double joint torique de sécurité. L'utilisation de ruban PTFE ou de mastic liquide est strictement interdite afin d'empêcher les fragments de pénétrer dans le conduit et de provoquer un blocage instantané.

7.2.3 Contrôle de la précision d'installation : étalonnage de la coaxialité et de la perpendicularité des buses en alliage de tungstène

La coaxialité et la perpendicularité sont cruciales pour la directionnalité du jet ; un écart de coupe ou un revêtement irrégulier amplifieront ces facteurs.

Pistolet de nettoyage et de projection d'eau : Utiliser un comparateur à levier de 0,001 mm avec un bloc de référence en V pour mesurer le faux-rond du cercle extérieur de la buse par rapport à l'axe du corps du pistolet et la perpendicularité de la face d'extrémité. Les normes requises sont un faux-rond $\leq 0,01$ mm et une perpendicularité $\leq 0,008$ mm. Pistolet d'alimentation en poudre coaxial pour projection thermique

COPYRIGHT AND LEGAL LIABILITY STATEMENT

Copyright© 2024 CTIA All Rights Reserved
标准文件版本号 CTIAQCD-MA-E/P 2024 版
www.ctia.com.cn

电话/TEL: 0086 592 512 9696
CTIAQCD-MA-E/P 2018-2024V
sales@chinatungsten.com

et rechargement laser : Utiliser un tracker laser ou un système d'analyse de points PSD de haute précision pour mesurer la coïncidence du foyer du faisceau de poudre/rideau d'air et du foyer laser $\leq 30 \mu\text{m}$. Buse à réseau multigorge : Utiliser un instrument de mesure d'images optiques ou un interféromètre à lumière blanche pour scanner chaque orifice afin de garantir que le parallélisme de tous les axes de gorge par rapport à la surface de référence de montage est $\leq 0,01^\circ$.

Tout écart par rapport aux tolérances doit être immédiatement corrigé ; le « suffisant » n'est jamais toléré. Après l'étalonnage, utilisez un marqueur anti-desserrage pour marquer clairement la jonction entre le filetage et le corps de l'arme afin d'éviter tout desserrage pendant le fonctionnement.

7.2.4 Processus de débogage principal : étalonnage du débit et de la pression de la buse en alliage de tungstène

La procédure de mise en service suit rigoureusement la méthode en trois étapes : « rodage à basse pression, étalonnage à moyenne pression et réglage à haute pression ». Lors de la première étape, le système fonctionne à 30 %–40 % de la pression nominale pendant au moins une demi-heure. L'attention est portée sur la détection de tout sifflement anormal, l'observation de toute micro-fuite et le contrôle de l'uniformité de l'élévation de température par imagerie thermique. Lors de la deuxième étape, la pression est augmentée à 70 % de la pression nominale et la courbe de débit réelle est mesurée à l'aide d'un débitmètre et d'un transmetteur de pression étalons et certifiés métrologiquement. Cette courbe est comparée au rapport d'usine de la buse ; si l'écart dépasse 3 %, le système doit être arrêté et réinstallé. Lors de la troisième étape, le système fonctionne de manière stable à 100 % de la pression nominale pendant au moins une heure. Simultanément, la photographie à grande vitesse ou l'imagerie laser sont utilisées pour capturer l'angle de divergence du jet, une caméra thermique est utilisée pour surveiller l'élévation de température de la paroi extérieure et un sonomètre est utilisé pour surveiller le spectre du bruit, garantissant ainsi que tous les paramètres se situent dans la plage optimale de la courbe d'usine.

7.2.5 Installation, mise en service et réception : normes de vérification des performances des buses en alliage de tungstène

Le processus d'acceptation finale respecte les six critères impératifs et les six critères de tolérance zéro : le système doit garantir un fonctionnement stable et continu à pleine charge pendant au moins deux heures ; le débit mesuré, la taille des particules atomisées (ou la largeur de la fente) et l'angle de divergence doivent tous être conformes aux normes ; l'imagerie thermique ne doit révéler aucun point chaud localisé, aucune fuite visible, aucune vibration anormale ni aucun sifflement ; des méthodes optiques doivent être utilisées pour reconfirmer que la coaxialité, la perpendicularité et le recouvrement focal restent dans les plages acceptables ; l'uniformité de la couverture du jet/de la poudre et la constance du lot doivent être vérifiées ; et le « Dossier d'installation, de mise en service et d'acceptation de la buse » doit être signé conjointement par l'opérateur, l'ingénieur de procédés et le responsable qualité.

Le processus méticuleux d'installation et de mise en service garantit que les buses en alliage de tungstène passent véritablement de la « perfection théorique » à la « perfection sur site ». Les performances finales d'une buse sont déterminées à 70 % par la fabrication et à 30 % par l'installation et la mise en service.

COPYRIGHT AND LEGAL LIABILITY STATEMENT

7.3 Entretien quotidien des buses en alliage de tungstène

Les buses en alliage de tungstène sont réputées pour leur robustesse, mais « quasi indestructible » ne signifie pas « totalement indestructible ». Dans les conditions d'utilisation les plus exigeantes, même une légère détérioration de la géométrie du col et de l'état de surface peut entraîner des dysfonctionnements. Leur longévité réelle ne dépend pas du matériau lui-même, mais d'une maintenance de routine systématique, rigoureuse et quasi obsessionnelle qui maintient le taux de dégradation en deçà des limites théoriques.

7.3.1 Points clés pour l'inspection régulière : Détection de l'usure et de la corrosion des buses en alliage de tungstène

Des inspections régulières sont essentielles pour optimiser la durée de vie des buses en alliage de tungstène. Elles doivent être effectuées quotidiennement (contrôle visuel, mesure hebdomadaire du diamètre de la gorge, inspection dimensionnelle complète mensuelle, analyse métallographique trimestrielle des fractures). Les inspections quotidiennes après la fin du poste de travail doivent inclure un examen visuel à la loupe (grossissement x10) afin de détecter tout écaillage au niveau de la gorge, tout dommage à la face d'extrémité et toute adhérence anormale à la paroi interne. Les mesures hebdomadaires du diamètre et de la circularité de la gorge doivent être réalisées à l'aide d'un instrument de mesure optique dédié ou d'un endoscope ; tout élargissement doit être consigné et comparé aux courbes historiques. Chaque mois après l'arrêt, un nouveau contrôle dimensionnel complet de l'angle du cône, du profil de la section d'expansion et de la coaxialité doit être effectué à l'aide d'une machine à mesurer tridimensionnelle ou d'un interféromètre à lumière blanche ; toute dérive doit être immédiatement signalée. Chaque trimestre, une section de buse sélectionnée aléatoirement doit être analysée par métallographie et microscopie électronique à balayage afin de détecter la présence de microfissures dans la structure en tungstène, de corrosion sélective de la phase liante et de décollement du revêtement de surface.

7.3.2 Normes de nettoyage et d'entretien : Nettoyage des buses en alliage de tungstène obstruées et entretien de surface

Les buses en alliage de tungstène sont particulièrement sensibles à l'encrassement, puis à l'abrasion. Le nettoyage et l'entretien doivent impérativement respecter la règle d'or : « prévention d'abord, traitement ensuite, et surtout, ne jamais gratter vigoureusement ». Immédiatement après l'arrêt quotidien, purgez la buse à l'azote sec sous haute pression dans les deux sens afin d'éliminer complètement les résidus de poudre, de liquide et de cristaux. Procédez une fois par semaine à un nettoyage par circulation en trois étapes : ultrasons, aspiration, eau pure et isopropanol, afin d'éliminer totalement les sels solubles et les matières organiques. En cas d'adhérence ou d'entartrage léger, essuyez délicatement avec une brosse en nylon souple dédiée et un détergent neutre, puis utilisez un nettoyage plasma ou un jet de CO₂ pour éliminer les résidus tenaces. N'utilisez jamais de laine d'acier, de grattoirs abrasifs, ni d'acides ou de bases forts directement sur la buse. Si le revêtement présente des rayures localisées ou un léger décollement, cessez immédiatement d'utiliser la buse et renvoyez-la au fabricant pour réparation ; ne l'utilisez jamais si elle est endommagée. Tous les outils de nettoyage, solvants et gaz de purge doivent être réservés à des

COPYRIGHT AND LEGAL LIABILITY STATEMENT

buses spécifiques afin d'éviter toute contamination croisée. Un nettoyage et un entretien appropriés peuvent réduire à presque zéro la probabilité d'obstruction et de dégradation de la surface.

7.3.3 Détermination du cycle de maintenance : Plan de maintenance des buses en alliage de tungstène basé sur les conditions de fonctionnement

Les cycles de maintenance ne sont pas déterminés arbitrairement, mais sont hiérarchisés en fonction de la sévérité des conditions d'exploitation. Les conditions modérées (nettoyage à l'eau pure, projection à basse température, absence de fluides corrosifs) requièrent une inspection visuelle quotidienne, une mesure hebdomadaire du diamètre de la gorge et une inspection dimensionnelle complète mensuelle. Les conditions modérées (notamment jet d'eau abrasif, projection thermique conventionnelle et boues neutres) requièrent une purge quotidienne, une inspection rapide quotidienne du diamètre de la gorge, un nettoyage par ultrasons hebdomadaire et un échantillonnage métallographique mensuel. Les conditions extrêmes (plasma haute température, fours de gazéification contenant des scories et tours d'absorption hautement corrosives) requièrent une purge deux fois par jour, une mesure du diamètre de la gorge par poste, un nettoyage par ultrasons quotidien, un examen métallographique hebdomadaire de la section transversale et une maintenance hors ligne obligatoire mensuelle. Les cycles peuvent varier d'un poste de travail à l'autre sur une même ligne de production, mais tous les cycles doivent être consignés dans les instructions de travail et appliqués. Les principaux utilisateurs ont pleinement intégré les cycles de maintenance aux calendriers d'inspection des équipements, aux plans de temps d'arrêt et à l'inventaire des pièces de rechange, créant ainsi un cercle vertueux où « plus les conditions d'exploitation sont sévères, plus la maintenance est fréquente et plus la durée de vie est longue ».

7.3.4 Gestion des pièces consommables : stratégie de remplacement et de stockage des pièces de buses en alliage de tungstène

Les buses en alliage de tungstène ont une durée de vie extrêmement longue, mais les consommables périphériques tels que les joints toriques, les manchons de guidage, les baïonnettes à changement rapide et les chemises de refroidissement intégrées atteignent souvent leur fin de vie avant. La gestion des consommables repose sur le principe des « trois fixes et trois non » : personnel dédié (responsable dédié), emplacement fixe (stockage en armoire propre dédiée) et quantité fixe (consommation mensuelle + stock de sécurité) ; aucun mélange, aucune rupture de stock et aucune date de péremption. Les joints toriques sont remplacés par rotation forcée en fonction de la durée d'utilisation réelle et du degré de corrosion du fluide ; les manchons de guidage sont remplacés immédiatement pour chaque 0,01 mm d'usure ; et les baïonnettes à changement rapide sont mises au rebut après mille insertions et retraits. Les chemises de refroidissement dont l'entartrage dépasse une certaine épaisseur doivent être nettoyées à l'acide ou remplacées. La stratégie de gestion des stocks adopte un modèle à deux niveaux : « stock à long terme des spécifications courantes et réactivité pour les spécifications inutilisées ». Les diamètres et structures de col standard sont conservés en stock pour une consommation supérieure à un mois. Les spécifications personnalisées sont expédiées sous 48 heures grâce à des accords avec les fournisseurs. Parallèlement, un système de rotation à quatre niveaux est mis en place : une buse hors service, une buse en service, une buse en cours de nettoyage et une buse de rechange, garantissant ainsi une disponibilité permanente des buses. Les utilisateurs les plus exigeants ont même intégré les buses en alliage de tungstène à leur système

COPYRIGHT AND LEGAL LIABILITY STATEMENT

de gestion des pièces de rechange critiques, déclenchant automatiquement l'approvisionnement et des alertes importantes lorsque le stock descend en dessous du seuil de sécurité.

de tungstène constitue l'étape finale essentielle pour garantir la stabilité du processus à long terme, en optimisant les performances du matériau. Seules une inspection rigoureuse, un nettoyage minutieux, une planification scientifique de la maintenance et la disponibilité immédiate des pièces de rechange permettent à une buse d'atteindre sa pleine capacité, sa stabilité et sa durée de vie maximale. Correctement entretenues, les buses en alliage de tungstène ne sont pas des consommables, mais bien les éléments fixes les plus fiables de la chaîne de production.

7.4 Dépannage des buses en alliage de tungstène

Le dépannage constitue le dernier rempart de la gestion du cycle de vie complet des buses en alliage de tungstène et représente une compétence essentielle qui témoigne du professionnalisme de l'utilisateur. Seule la maîtrise de l'ensemble du processus, du diagnostic à la réparation en passant par la prévention, permet de transformer une panne catastrophique en un incident maîtrisable, minimisant ainsi les temps d'arrêt et les risques pour la sécurité. Bien que les buses en alliage de tungstène aient une durée de vie extrêmement longue, elles fonctionnent dans des conditions difficiles et la moindre anomalie exige une intervention immédiate.

7.4.1 Diagnostic des pannes courantes : Analyse des causes d'un débit anormal dans les buses en alliage de tungstène

Un débit anormal est le signal de défaut le plus courant et le plus facile à détecter dans les buses en alliage de tungstène. Il ne s'agit souvent pas d'un problème unique, mais d'une manifestation complexe de causes et d'effets multiples, se manifestant généralement par une chute brutale du débit, une diminution progressive, des fluctuations instables ou des pics inattendus. Le diagnostic doit être effectué étape par étape, en remontant la chaîne du problème : « phénomène → mécanisme → cause première », afin de s'assurer qu'aucun danger caché ne soit négligé.

La cause la plus fréquente d'une chute brutale de débit est un blocage localisé au niveau du col ou du canal d'écoulement. Lors de la découpe au jet d'eau abrasif ou du rechargement laser par poudre, les particules dures ou la poudre s'agglomèrent à l'entrée du col ou dans la section d'expansion, formant un « effet iceberg » : invisible en surface, mais provoquant un blocage interne important. Le diagnostic commence par une endoscopie ou une purge à l'azote haute pression afin de rechercher la présence de corps étrangers dans le col. Si aucun n'est trouvé, un balayage laser permet de mesurer si le diamètre du col a légèrement augmenté (signe précoce de cavitation). Ensuite, le filtre en amont est contrôlé afin de détecter tout blocage ou fluctuation de la pression de la pompe. Une diminution progressive du débit est généralement due à une détérioration de la rugosité de la paroi interne ou à une expansion lente du col. La détérioration de la rugosité est souvent causée par l'oxydation de surface ou des micro-adhérences. Le diagnostic nécessite l'analyse des modifications de texture de la paroi interne à l'aide d'un interféromètre à lumière blanche. Pour l'expansion, un manomètre pneumatique de précision est utilisé pour mesurer à nouveau le diamètre et la circularité du col. Un débit instable est souvent dû à des

COPYRIGHT AND LEGAL LIABILITY STATEMENT

pulsations de pression en amont ou à une déformation thermique de la buse. Le diagnostic consiste à enregistrer la courbe de contre-pression à l'aide d'un transmetteur de pression haute fréquence et à vérifier l'uniformité de l'élévation de température de la paroi externe grâce à une caméra thermique. Une hausse soudaine et inattendue de la température est souvent due à une fissure au niveau du col ou à un décollement du revêtement. Le diagnostic requiert un arrêt immédiat et l'examen des fissures internes par tomographie industrielle ou par détection de défauts par ultrasons.

L'analyse multicausale est essentielle au diagnostic. Par exemple, une diminution du débit accompagnée d'une augmentation du bruit indique généralement l'effondrement de bulles de cavitation, entraînant la formation de piqûres au niveau du col ; des fluctuations de débit accompagnées d'une élévation anormale de la température suggèrent une obstruction du canal de refroidissement ou une défaillance du système de refroidissement par eau ; une atténuation du débit accompagnée d'une divergence du jet indique de légères variations de l'angle du cône de la section d'expansion. La chaîne d'outils de diagnostic doit inclure des endoscopes, des interféromètres à lumière blanche, des manomètres pneumatiques, des caméras thermiques, des enregistreurs de pression haute fréquence, des scanners CT industriels, la détection de défauts par ultrasons et l'analyse métallographique par microscopie électronique à balayage, formant ainsi une boucle fermée complète « de l'extérieur vers l'intérieur, du macro au micro ». Toute anomalie doit être photographiée, archivée, son lot doit être traçable et le fournisseur doit être informé pour une analyse conjointe. Ce n'est qu'en analysant en profondeur les anomalies de débit, en les transformant d'un « problème » en un « mécanisme évitable et contrôlable », que la durée de vie des buses peut être prolongée de « milliers d'heures » à « dizaines de milliers d'heures ». L'approche scientifique du diagnostic des anomalies de flux est devenue une compétence essentielle pour les utilisateurs passant de la « maintenance passive » à la « gestion proactive de la durée de vie ».

7.4.2 Dépannage : Solution de réparation pour l'usure et les fuites des buses en alliage de tungstène

L'usure et les fuites constituent les deux défaillances les plus fréquentes des buses en alliage de tungstène. La première entraîne un élargissement du col et une divergence du jet, tandis que la seconde provoque une perte de contrôle du débit et des risques pour la sécurité. La solution doit s'articuler autour de trois axes : « contrôle rapide des dommages + réparation complète + mise à niveau préventive » afin de garantir que les performances de la buse soient pleinement restaurées, voire supérieures, à celles d'origine après réparation.

Pour la réparation de l'usure, un balayage laser endoscopique est utilisé pour localiser et quantifier précisément la zone d'usure : une intervention est nécessaire si le diamètre du col est augmenté de plus de 0,01 mm. En cas d'usure mineure, un polissage par écoulement et une finition électrolytique sont utilisés : la buse est immergée dans une solution de polissage spéciale, et une petite quantité de matière est enlevée de la paroi interne à l'aide d'un courant haute fréquence. Le diamètre du col est ainsi rectifié avec précision à sa taille d'origine, et la rugosité de surface est restaurée à un niveau miroir. En cas d'usure modérée, une réparation par refusion laser spécifique à l'alliage de tungstène est nécessaire : la couche usée est fondu à l'aide d'un laser pulsé, puis solidifiée pour former une nouvelle surface dense et non poreuse ; la dureté et la résistance à l'usure après réparation sont même supérieures à celles d'origine. En cas d'usure sévère, la buse est remplacée directement, mais une section de l'ancienne buse est conservée

COPYRIGHT AND LEGAL LIABILITY STATEMENT

pour une analyse métallographique afin de déterminer la cause de l'usure accélérée (par exemple, un abrasif trop dur, un angle incorrect ou un refroidissement insuffisant). Toutes les buses réparées doivent être recalibrées à leurs dimensions d'origine et leur débit validé avant réutilisation.

La réparation des fuites se divise en deux grandes catégories : les fuites d'étanchéité et les fuites internes. Les fuites d'étanchéité sont souvent dues au vieillissement des joints toriques ou à un couple de serrage insuffisant. La solution consiste à remplacer les joints toriques par des modèles de qualité supérieure (comme le FFKM en perfluoroéther) et à les réinstaller à l'aide d'un dynamomètre, en veillant à une erreur de couple $\leq 5\%$. Les fuites internes proviennent généralement de microfissures ou de piqûres de cavitation interconnectées. La réparation implique un brasage à l'alliage de tungstène suivi d'une refusion de surface : on utilise d'abord un fil de tungstène de haute pureté ou un métal d'apport spécial pour combler les fissures, puis une refusion laser permet de fusionner parfaitement la zone réparée avec le substrat. Après réparation, une double vérification est requise : un détecteur de fuites par spectrométrie de masse à hélium et un test de maintien sous haute pression. La réparation ne peut être validée qu'après absence totale de fuite.

Le principe fondamental de la résolution des défauts critiques est « réparer une fois, éradiquer toute une catégorie » : chaque cas d'usure ou de fuite doit déclencher un rapport 8D et une démarche d'amélioration continue, en analysant la cause première (par exemple, une granulométrie irrégulière entraînant une érosion anormale, ou un débit de refroidissement insuffisant provoquant une cavitation localisée), en optimisant la prévention (par exemple, l'ajout de filtres en amont, l'amélioration du circuit de refroidissement par eau) et en modernisant les buses (par exemple, l'épaississement de la paroi du col, le passage à un revêtement DLC). Seule une transformation complète de la gestion des défauts, passant d'une approche passive de « lutte contre les incendies » à une approche proactive de « l'évolution », permettra de faire passer la durée de vie des buses en alliage de tungstène de « milliers d'heures » à la nouvelle norme industrielle de « dizaines de milliers d'heures ». La maturité du système de résolution des défauts critiques offre également aux utilisateurs une confiance absolue, leur permettant de passer de la « crainte des défauts » à la « démarche sereine, même lorsqu'ils surviennent ».

7.4.3 Gestion des défaillances extrêmes : Mesures de traitement des fissures et des déformations des buses en alliage de tungstène

La fissuration et la déformation constituent les modes de défaillance les plus extrêmes et les plus dangereux des buses en alliage de tungstène. La fissuration entraîne souvent une perte de contrôle soudaine du jet et des fuites à haute pression, tandis que la déformation provoque l'effondrement de la géométrie du col et rend les paramètres de procédé totalement inopérants. La réaction doit impérativement respecter le principe suivant : « la sécurité d'abord, la limitation des pertes ensuite, la réparation en troisième lieu et la résolution définitive en quatrième. » Tout retard pourrait engendrer des dommages matériels et des blessures.

En cas de fissuration, la première étape consiste à arrêter immédiatement la machine, à isoler la zone affectée, puis à dépressuriser et purger le fluide afin d'éliminer tout risque de haute pression sur le site. Ensuite, un endoscope et un scanner industriel permettent de localiser la fissure, d'en déterminer la

COPYRIGHT AND LEGAL LIABILITY STATEMENT

position, la profondeur et le trajet de propagation. Le type de fissure (fissure de fatigue thermique, fissure de cavitation, fissure de fragilisation par l'hydrogène) est rapidement identifié par analyse métallographique de la surface de rupture. Les fissures superficielles mineures peuvent être réparées sur site par refusion laser : un laser pulsé fond la zone fissurée puis la solidifie pour former une nouvelle surface non poreuse, restaurant ainsi la résistance initiale. Les fissures modérées nécessitent un retour en usine pour brasage et réparation par pressage isostatique à chaud (PIC). Dans un premier temps, un fil de tungstène spécial est utilisé pour remplir la fissure, puis une haute pression et une haute température sont appliquées afin d'éliminer les contraintes internes. Les fissures importantes sont mises au rebut, mais des sections sont conservées pour une analyse AMDEC détaillée. En cas de déformation, l'accent est mis sur la restauration dimensionnelle : les déformations mineures sont corrigées à l'aide de dispositifs de précision et d'un recuit à basse température ; les déformations modérées nécessitent un remodelage HIP ; et les déformations importantes sont également mises au rebut et ramenées à leur état d'origine.

La véritable valeur des défaillances extrêmes réside dans leur capacité à fournir une solution complète et efficace : chaque fissure ou déformation nécessite la mobilisation d'une équipe d'enquête conjointe et interdépartementale. Cette équipe doit examiner les rapports d'exploitation, les analyses de fluides, l'historique des buses et les registres d'installation afin d'identifier la cause première (par exemple, fragilisation par l'hydrogène due à une surpression instantanée, fatigue thermique due à une défaillance du refroidissement ou fissuration par impact due à un abrasif trop dur). Ensuite, les mesures préventives sont optimisées (par exemple, installation de tampons de pression en amont, amélioration des circuits de refroidissement ou utilisation d'une formulation à plus forte teneur en tungstène) et les buses sont modernisées (par exemple, épaisseur de la paroi du col ou utilisation d'un revêtement DLC renforcé au molybdène). La maturité de ce système de réponse aux défaillances extrêmes transforme les buses en alliage de tungstène, initialement « fragiles en cas de fissuration », en buses capables de « récupérer rapidement même fissurées », offrant ainsi aux utilisateurs une confiance absolue en une « tolérance zéro et une perte zéro » dans les conditions d'exploitation les plus extrêmes.

7.4.4 Système de prévention des défauts : Gestion des risques tout au long du cycle de vie des buses en alliage de tungstène

La gestion des risques tout au long du cycle de vie est un système stratégique qui privilégie la prévention des défaillances plutôt que leur traitement. Elle repose sur les principes de conception préventive, d'absence de défauts de production, d'absence de dangers cachés lors de l'utilisation et d'absence de pollution lors de la mise au rebut. Elle met en place un circuit fermé et continu, de la sélection à la mise au rebut, afin de garantir une probabilité de défaillance quasi nulle pour une buse en alliage de tungstène pendant des dizaines de milliers d'heures de service.

Atténuation des risques dès la conception : une analyse AMDEC combinée à une simulation couplée multifield CFD/éléments finis permet d'identifier en amont tous les modes de défaillance potentiels (cavitation au niveau du col, fissuration sous contrainte thermique, cavitation induite par l'usure, etc.). Des marges de sécurité importantes sont prévues pour les proportions de matériaux, la géométrie du canal d'écoulement et les revêtements de surface. Zéro défaut en production : un contrôle à 100 % est effectué après chaque étape (densité, dimensions, dureté, microstructure). Toute anomalie est immédiatement

COPYRIGHT AND LEGAL LIABILITY STATEMENT

isolée et une analyse des causes profondes (8D) est déclenchée. Zéro danger en utilisation : un « dossier de santé numérique » de la buse est établi chez l'utilisateur, permettant de surveiller en temps réel des paramètres tels que le débit, la pression, l'élévation de température et le bruit. Des modèles prédictifs d'IA alertent précocelement en cas d'usure ou de fissuration. Un nettoyage quotidien obligatoire, des inspections hebdomadaires et des tests complets mensuels sont mis en œuvre. Zéro pollution lors de la mise au rebut : toutes les buses usagées sont recyclées et les alliages de tungstène peuvent être fondu et remanufacturés à 100 %, sans générer de déchets dangereux. Le pilier fondamental de la gestion des risques est le système intégré « humain, machine, matériel et environnement » : humain (ingénieurs certifiés responsables de l'ensemble du processus) ; machine (équipements automatisés de détection et de prédiction) ; matériel (double réserve de buses et stock de pièces détachées) ; et environnement (surveillance des conditions de fonctionnement et retour d'information en temps réel sur les paramètres environnementaux). Ce système transforme radicalement la gestion des défaillances, passant d'une approche réactive à une approche préventive, et fait évoluer l'utilisation des buses en alliage de tungstène, d'une approche basée sur l'incertitude quant à leur durée de vie à une approche basée sur le calcul de cette durée.



Buses en alliage de tungstène CTIA GROUP LTD

Chapitre 8 Problèmes courants liés aux buses en alliage de tungstène

8.1 Problèmes courants liés à la fabrication des buses en alliage de tungstène

Les buses en alliage de tungstène sont extrêmement longues et leur tolérance à l'erreur est très faible. Le moindre défaut de fabrication, à n'importe quelle étape, peut engendrer des défauts irréversibles et rédhibitoires sur le produit final. La grande majorité des défaillances précoces dans le monde sont imputables à la phase de fabrication, où se situe la cause première.

8.1.1 Problèmes liés à la préparation des matières premières : Pureté insuffisante et impuretés excessives dans la poudre de tungstène

La pureté et la teneur en impuretés de la poudre de tungstène constituent le principal danger, souvent insoupçonné, pour les performances des buses en alliage de tungstène. Même des traces d'oxygène, de carbone, de soufre, de phosphore, de molybdène, de métaux alcalins, etc., forment des composés fragiles, des phases à bas point de fusion aux joints de grains ou des pores résiduels lors du frittage en phase liquide à haute température. Ces défauts peuvent entraîner la fissuration, le décollement ou la perforation prématuée par cavitation de la buse dans des conditions d'utilisation extrêmes. Parmi les causes fréquentes, on peut citer un contrôle insuffisant du point de rosée de l'atmosphère réductrice, des fluctuations de la pureté de l'hydrogène, une circulation excessive de la liqueur mère de paratungstate d'ammonium, la présence d'éléments résiduels provenant des lots précédents dans la cuve de mélange et une oxydation secondaire due à l'absorption d'humidité lors du stockage de la poudre de tungstène. Les conséquences sont extrêmement graves : un excès d'oxygène forme un réseau d'oxydes aux joints de grains, provoquant la fissuration de la buse le long de ces joints après seulement quelques centaines d'heures ; un excès de carbone forme du carbure de tungstène fragile, entraînant une chute brutale de la ténacité et un écaillage direct sous l'impact de particules dures. La ségrégation du phosphore et du soufre entraîne la formation d'un film liquide aux joints de grains, provoquant la perforation instantanée du canal d'alimentation à haute température. La prévention repose exclusivement sur une purification rigoureuse et continue : des prélèvements sont effectués à trois étapes (début, milieu et fin) pour chaque lot de poudre de tungstène, par spectrométrie de masse à décharge luminescente (analyse élémentaire complète) et spectroscopie infrarouge à fusion sous gaz inerte. Tout écart par rapport aux normes internes entraîne le recyclage du lot entier. La nacelle du four de réduction, la cuve de mélange et les sacs de stockage sont nettoyés au plasma et séchés sous vide. Le point de rosée de l'hydrogène est contrôlé en continu tout au long du processus, garantissant une sécheresse optimale. Seule une poudre de tungstène d'une pureté supérieure aux exigences théoriques permet un fonctionnement prolongé des buses, même dans les conditions les plus extrêmes.

8.1.2 Problèmes liés au procédé de moulage : fissuration et densité irrégulière de la billette

La fissuration et l'hétérogénéité de la densité de la pièce crue constituent les principaux dangers, souvent insoupçonnés, lors du moulage. La fissuration survient fréquemment au démoulage ou en début de précuision. Ses causes principales sont une concentration des contraintes de pressage, l'obstruction des canaux de volatilisation du granulateur, un gradient de densité de poudre excessif, un enrobage irrégulier

COPYRIGHT AND LEGAL LIABILITY STATEMENT

de l'agent de démoulage ou une défaillance du joint de pressage isostatique. L'hétérogénéité de la densité est due à des variations de la fluidité de la poudre, à l'usure du moule, à des défauts de conception du circuit de transmission de la pression ou à des fluctuations de la température de l'huile de pressage isostatique. Une fois formées, les fissures peuvent engendrer des rides de surface ou, dans les cas les plus graves, des fissures pénétrantes, provoquant inévitablement une explosion lors du frittage. Après frittage, l'hétérogénéité de la densité se manifeste par des zones localisées de faible densité, amorçant naturellement la cavitation à haute pression et l'érosion des particules, et engendrant ainsi une réaction en chaîne catastrophique : piqûres → piqûres → perforation. La prévention doit commencer à la source : la température de séchage par atomisation de la poudre granulée, la teneur en liant et la sphéricité des particules sont rigoureusement contrôlées ; le moulage utilise un moule flottant bidirectionnel associé à une courbe de pression de maintien multi-segments ; chaque lot de pressage isostatique à froid est contrôlé pour détecter les fuites et pesé, et les fluctuations de température de l'huile sont strictement maîtrisées ; après démoulage de chaque pièce crue, un contrôle de densité par ultrasons à 100 % et une pesée sont effectués et vérifiés, et toute anomalie de densité ou microfissure est immédiatement imputée au lot de poudre et aux paramètres de pressage.

8.1.3 Problèmes liés au processus de frittage : déformation et densité insuffisante du corps fritté

Le frittage est l'étape la plus critique pour les buses en alliage de tungstène, transformant la poudre en corps fonctionnels. La déformation et une densité insuffisante sont les deux principales causes de défaillance. La déformation provient principalement d'une phase liquide excessive entraînant l'effondrement de la structure en tungstène, d'une conception inadéquate du support, de vitesses de chauffage et de refroidissement non contrôlées, et d'une atmosphère ou d'un champ de température non uniforme dans le four. Une densité insuffisante résulte d'une température maximale trop basse, d'un temps de maintien insuffisant, d'un point de rosée d'hydrogène trop élevé, d'une élimination incomplète du carbone résiduel ou d'un dégazage incomplet. Après déformation, la coaxialité du col, l'angle du cône et le contour de la section d'expansion sont tous altérés, et même le post-traitement le plus précis ne peut y remédier. Une densité insuffisante laisse des micropores ou des pores interconnectés, amorçant une cavitation à haute pression et une érosion particulaire, et conduisant à une perforation en quelques centaines d'heures. La prévention doit être extrêmement rigoureuse : chaque chargement de four est simulé en 3D avec la gravité et l'écoulement de la phase liquide, et les points d'appui sont répartis de manière optimale. Les courbes de chauffage et de refroidissement sont contrôlées avec précision sur plus de dix segments, notamment la vitesse de refroidissement extrêmement lente dans la zone de solidification de la phase liante ; le point de rosée de l'hydrogène est utilisé pour un séchage en profondeur tout au long du processus ; la température maximale et le temps de maintien sont précisément gradués en fonction de la taille de la billette et du rapport longueur/diamètre.

8.1.4 Problèmes de post-traitement : Précision insuffisante des canaux d'écoulement et défauts de surface

Le post-traitement représente l'étape finale entre une « densité acceptable » et un « fonctionnement parfait » de la buse. Cependant, une précision insuffisante du canal d'écoulement et des défauts de surface peuvent compromettre l'ensemble du processus. Les problèmes de précision du canal d'écoulement sont

COPYRIGHT AND LEGAL LIABILITY STATEMENT

souvent dus à une usure prématuée des tiges de rodage, à la dilatation thermique des dispositifs de fixation, aux fluctuations de température et à un manque d'expérience de l'opérateur. Les défauts de surface proviennent de la contamination du fluide de polissage, de la dérive des paramètres de revêtement, de la surchauffe lors de la refusion laser et des ions ou particules résiduels après le nettoyage. Des écarts excessifs de diamètre et de circularité de la gorge entraînent immédiatement un défaut de coupe ; des écarts au niveau de l'angle du cône et du contour de la section d'expansion conduisent à une perte totale de contrôle sur la taille des particules atomisées et l'angle de divergence du jet ; les rayures, le décollement du revêtement ou les résidus favorisent l'adhérence des particules et la formation instantanée de points d'amorçage de cavitation. La prévention exige une attention méticuleuse aux détails : les tiges de rodage sont systématiquement mesurées et réaffûtées après quelques cycles ; tous les dispositifs de fixation sont fabriqués à partir de matériaux à faible dilatation thermique ; la zone de traitement est soumise à un contrôle extrêmement strict de la température et de l'humidité ; la suspension de polissage est renouvelée quotidiennement et filtrée à des niveaux submicroniques. L'adhérence du revêtement PVD/CVD est vérifiée sur des feuilles standard pour chaque lot ; l'eau de nettoyage finale présente une conductivité extrêmement faible ; et avant leur sortie d'usine, 100 % des buses font l'objet d'un triple contrôle final à l'aide d'un interféromètre à lumière blanche, d'un manomètre pneumatique et d'un endoscope haute définition. Toute déviation du canal d'écoulement ou défaut de surface entraîne une reprise immédiate. Ce n'est que lorsque le post-traitement atteint une précision de gorge supérieure aux spécifications et une propreté de surface supérieure à celle d'un miroir que la buse en alliage de tungstène peut offrir des performances optimales dès sa sortie d'usine, même dans les conditions d'utilisation les plus exigeantes.

8.2 Problèmes courants liés à la sélection et à l'adaptation des buses en alliage de tungstène

Le choix et l'incompatibilité des composants sont les causes de défaillance les plus fréquentes, les plus coûteuses et pourtant les plus faciles à éviter pour les utilisateurs. Une buse en alliage de tungstène parfaitement adaptée, si le rapport, la structure ou les spécifications sont incorrects, aboutit souvent à un résultat pire que l'achat d'un produit de qualité inférieure : elle se rompra complètement au moment le plus critique, malgré son état impeccable.

8.2.1 Problème d'adéquation des conditions de fonctionnement : inadéquation de la température et de la pression avec les performances de la buse

L'erreur de sélection la plus fréquente consiste à utiliser directement une buse standard en tungstène-nickel-fer dans des conditions de haute température et haute pression. Les utilisateurs sont souvent induits en erreur par l'idée reçue selon laquelle « tous les alliages de tungstène sont résistants à la chaleur », ignorant une différence fondamentale : la phase liante se ramollit rapidement au-dessus de 800 °C et les résidus en phase liquide entraînent un affaissement du col. De ce fait, la buse semble initialement normale, mais après plusieurs centaines d'heures, elle présente soudainement un élargissement rapide du col, une divergence du jet, voire un ramollissement et une déformation de l'ensemble de la buse. Une autre erreur courante est d'utiliser une formulation optimisée pour les basses températures dans des conditions de très haute température. Bien que le squelette en tungstène soit dur, la phase liante s'oxyde et s'ablate prématulement, provoquant le détachement des particules de tungstène et une augmentation

COPYRIGHT AND LEGAL LIABILITY STATEMENT

Copyright© 2024 CTIA All Rights Reserved
标准文件版本号 CTIAQCD-MA-E/P 2024 版
www.ctia.com.cn

电话/TEL: 0086 592 512 9696
CTIAQCD-MA-E/P 2018-2024V
sales@chinatungsten.com

soudaine de la rugosité de la paroi interne. Les conséquences sont souvent l'arrêt complet de la ligne de production pendant plusieurs jours, des dommages aux pompes, aux vannes et aux canalisations, ainsi que la mise au rebut de lots de produits finis. La méthode correcte consiste à répertorier dans un tableau la température continue la plus élevée, la température d'impact instantanée, la pression de service la plus élevée et la fréquence des impulsions de pression, puis à ajuster la formulation d'un niveau supérieur en fonction du scénario le plus défavorable, ne laissant aucune place à l'approche « juste suffisante ».

8.2.2 Problème de sélection structurelle : Le type de canal d'écoulement ne correspond pas aux exigences d'atomisation.

L'inadéquation structurelle est le deuxième écueil majeur lors du choix des buses. L'exemple le plus typique est l'utilisation de buses Laval courtes ou de buses à orifice droit pour des applications exigeant une atomisation ultra-fine et une vitesse de particules élevée. Bien que le débit puisse être suffisant, la taille des particules atomisées est importante et leur vitesse faible, ce qui entraîne une mauvaise adhérence du revêtement, une faible absorption du produit et une faible efficacité de dépôt par projection à froid. À l'inverse, l'utilisation de buses Laval ultra-longues pour le nettoyage ou la découpe à haut débit conduit à une contre-pression excessive, une augmentation de la charge de la pompe et une cavitation accrue au niveau de la gorge. Une autre erreur fréquente consiste à installer de manière rigide des buses à plusieurs gorges avec des corps de buse à gorge unique, ce qui provoque une obstruction partielle de la gorge et une couverture inégale ; ou encore à installer des buses à baïonnette à changement rapide dans des chambres de combustion nécessitant un soudage permanent, ce qui les rend inamovibles et provoque une concentration des contraintes thermiques. Ces problèmes résultent essentiellement de la substitution forcée de structures apparemment similaires, ignorant l'impact décisif de l'angle d'expansion de Laval, du rapport longueur/diamètre de la gorge et de la conception de la section à flux permanent sur la qualité du jet. Lors du choix d'une buse, il est impératif de définir clairement les exigences essentielles (priorité au débit, à l'atomisation, à la vitesse ou à l'uniformité), puis de sélectionner le type de canal d'écoulement correspondant. Une buse « à usage général » ne doit jamais être considérée comme une solution universelle.

8.2.3 Problèmes de compatibilité des matériaux : Incompatibilité entre la composition de l'alliage et les milieux corrosifs.

L'inadéquation des matériaux est l'erreur de sélection la plus insidieuse et la plus dévastatrice. Un exemple typique est l'utilisation d'un système tungstène-nickel-fer dans des environnements fortement acides, fortement alcalins ou contenant du chlore à haute température. Il en résulte une corrosion et une dissolution sélectives du nickel, entraînant le détachement rapide de la structure en tungstène exposée et laissant le canal d'alimentation criblé de trous en quelques jours. Un autre exemple est l'utilisation d'un système tungstène-nickel-cuivre dans des flammes d'oxydation à haute température, où la phase cuivre fond et s'oxyde en premier, provoquant des cloques en surface et une ablation rapide du canal. Une autre erreur courante est le maintien de l'utilisation de systèmes contenant du nickel dans les environnements pharmaceutiques et alimentaires, entraînant la libération lente d'ions nickel qui contaminent les produits, ce qui peut conduire au rappel de lots entiers de médicaments ou d'aliments. Ou encore, l'utilisation de traitements de surface industriels ordinaires dans des environnements nucléaires propres, provoquant des

COPYRIGHT AND LEGAL LIABILITY STATEMENT

niveaux excessifs de traces extractibles et déclenchant les limites réglementaires les plus strictes. Ces problèmes apparaissent souvent sans avertissement initial, pour ensuite éclater soudainement quelques mois plus tard, entraînant des pertes souvent de plusieurs millions. La méthode appropriée consiste à établir un tableau complet de la composition du milieu (incluant les ions traces, le pH, la température et le potentiel redox), puis à réaliser des tests d'immersion et de corrosion électrochimique sur chaque milieu, en proportions variables selon les qualités suivantes : tungstène-nickel-fer, tungstène-nickel-cuivre, milieu ultra-propre de qualité médicale et milieu non magnétique. Toute anomalie doit être immédiatement écartée du système correspondant.

8.2.4 Problèmes de sélection des spécifications : Inadéquation entre les paramètres du diamètre de l'orifice et les exigences de débit

Un mauvais réglage du diamètre de la gorge est une erreur courante et fondamentale, souvent commise par les utilisateurs et facilement relayée par les vendeurs. L'exemple le plus typique est la recherche aveugle du « plus petit diamètre de gorge est le meilleur », ce qui aboutit à une gorge étroite mais à une contre-pression excessive que la pompe ne peut gérer, entraînant un débit fortement insuffisant. À l'inverse, le choix d'un diamètre de gorge excessivement grand pour garantir le débit conduit à une vitesse de jet et une taille de particules atomisées totalement incontrôlables, provoquant une chute brutale de l'efficacité de coupe et une dégradation de la qualité du revêtement. Une autre erreur fréquente est d'ignorer l'influence du rapport longueur/diamètre et de l'angle d'expansion. Même avec un diamètre de gorge identique, différentes conceptions de la section d'expansion entraînent des angles de divergence du jet et des vitesses de particules complètement différents. De plus, l'application directe des paramètres de diamètre de gorge des buses de projection thermique à la découpe au jet d'eau conduit à une rugosité de surface dépassant les normes de plusieurs dizaines de fois. Une erreur souvent négligée est l'accumulation des tolérances de diamètre de gorge entre différents lots de buses, provoquant un débit irrégulier et une perte de constance lorsque plusieurs buses sont connectées en parallèle. En substance, ces problèmes considèrent tous le diamètre du col comme le seul paramètre déterminant, ignorant la relation complexe entre ce diamètre, la contre-pression, le débit, la granulométrie et l'angle de divergence du jet. La bonne approche consiste à déterminer d'abord le débit et la granulométrie cibles, puis à sélectionner précisément la buse à l'aide de la courbe tridimensionnelle diamètre du col-pression-débit fournie par le fournisseur, en prévoyant une marge de débit de 10 à 15 %, et enfin à s'assurer que la tolérance du diamètre du col pour un même lot est la plus faible possible. Ce n'est qu'en transformant le diamètre de l'orifice d'une valeur approximative en une valeur précise que la buse en alliage de tungstène peut atteindre ses performances théoriques. Toute erreur de sélection ou de compatibilité n'est pas un « détail », mais une « opération suicidaire » qui transforme une buse parfaite en ferraille. Les utilisateurs experts ont depuis longtemps intégré le processus de sélection dans un cycle rigoureux : « vérification préalable, achat, puis montée en gamme et fidélisation ».

8.3 Problèmes courants liés à l'installation et à l'utilisation des buses en alliage de tungstène

Même les buses en alliage de tungstène de la plus haute qualité, une fois en service, la grande majorité des défaillances précoces ne sont pas dues à des défauts de fabrication, mais plutôt aux étapes d'installation et d'utilisation. Le moindre écart d'utilisation ou la moindre négligence de la part des

[COPYRIGHT AND LEGAL LIABILITY STATEMENT](#)

opérateurs suffit à réduire de moitié leur durée de vie théorique, voire à entraîner des conséquences catastrophiques.

8.3.1 Problèmes d'installation et de fonctionnement : écart de positionnement et étanchéité insuffisante

Les défauts de positionnement et d'étanchéité sont les problèmes d'installation les plus fréquents et les plus critiques sur site. Les défauts de positionnement sont dus à une utilisation trop intuitive ou à l'emploi de clés ordinaires, ce qui entraîne un faux-rond du cercle extérieur de la buse, une inclinaison de la face d'extrémité et un décalage entre l'axe de la gorge et l'axe du corps du pistolet. Il en résulte une déviation du jet et une force de recul déséquilibrée, aggravant rapidement la fatigue du corps du pistolet et l'usure de la gorge. Les défauts d'étanchéité sont souvent liés à un mauvais choix de matériau pour la bague d'étanchéité, à une torsion ou une omission lors de l'installation, à l'absence de bagues anti-extrusion, à la présence de particules ou de rayures sur la surface d'étanchéité, ou encore à une force de pré-serrage inégale due à un couple insuffisant ou excessif. Sous haute pression, les fuites de fluide le long de la surface d'étanchéité peuvent provoquer un écoulement incontrôlé ou, dans les cas les plus graves, des jets de haute pression instantanés susceptibles de blesser le personnel ou d'endommager les équipements environnants.

8.3.2 Problèmes causés par un débogage incorrect : étalonnage inexact du débit et de la pression

La négligence lors de la mise en service peut rapidement compromettre le bon fonctionnement d'une buse. L'erreur la plus fréquente consiste à démarrer la machine directement à la pression nominale, en ignorant la période de rodage à basse pression. Il en résulte des contraintes résiduelles d'assemblage et des défauts microscopiques qui se propagent instantanément sous la première pression élevée. Une autre erreur courante est de se fier uniquement à la pression manométrique de la station de pompage, sans mesurer la contre-pression et le débit de la buse. Les paramètres obtenus peuvent alors paraître normaux, tandis que le débit réel s'en écarte significativement. Des incohérences entre la température du fluide et les conditions de fonctionnement réelles, des normes de mise en service et de production non uniformes, ainsi que l'absence de montées en pression progressives et d'enregistrement complet des courbes, peuvent également engendrer des problèmes cachés au niveau de la géométrie et de l'état de surface de la buse pendant la phase de mise en service. Une mise en service incorrecte revient à simplifier à l'extrême le processus d'étalonnage de précision, qui devrait être considéré comme une « seconde étape de fabrication », en se contentant de « la machine pulvérise quand elle est allumée ». Résultat : la buse s'écarte de sa plage de fonctionnement nominale dès la première minute.

8.3.3 Problème d'adaptation aux conditions de fonctionnement : les performances se dégradent trop rapidement dans des environnements extrêmes.

De nombreux utilisateurs constatent que la durée de vie des buses est bien plus courte que prévu dans des conditions d'utilisation extrêmes, ignorant que cela est dû au fait que la marge de sécurité initialement prévue est entièrement absorbée par une utilisation excessive sur site. Des chocs thermiques soudains dépassant les limites de tolérance du rapport de mélange, des pulsations de pression excédant les

COPYRIGHT AND LEGAL LIABILITY STATEMENT

tolérances de conception, l'introduction soudaine de composants hautement corrosifs non déclarés dans le fluide, ainsi qu'une dureté abrasive ou une granulométrie dépassant la plage de vérification initiale peuvent tous entraîner un ramollissement drastique, un écaillage par cavitation ou une corrosion sélective, en un laps de temps très court, pour des buses conçues à l'origine pour des dizaines de milliers d'heures de service. La cause profonde de cette dégradation rapide des performances réside dans le fait que les utilisateurs considèrent les buses en alliage de tungstène comme un matériau « inconditionnellement résistant aux conditions extrêmes », au lieu de les reconnaître comme des composants de précision qui ne présentent d'excellentes performances que dans des limites de température, de pression et de fluide clairement définies.

8.3.4 Problèmes liés au fonctionnement collaboratif : compatibilité insuffisante avec les équipements de support

Les buses en alliage de tungstène ne sont jamais des éléments isolés ; elles forment un ensemble étroitement couplé avec les pompes, les vannes, les canalisations, les corps de buse, les systèmes de filtration et les circuits de refroidissement. Une compatibilité insuffisante se manifeste généralement par : des pulsations de pression en amont excessives provoquant des coups de bâlier continus ; une précision de filtration insuffisante permettant à des corps étrangers durs d'atteindre le col ; un débit ou une température d'eau de refroidissement incontrôlés causant une surchauffe localisée ; une rigidité insuffisante de la buse provoquant une usure par frottement sur la surface d'étanchéité ; et une résistance inégale dans les canalisations parallèles, entraînant des différences significatives de débit réel entre les buses. Ces problèmes sont souvent attribués à tort à des « défauts de qualité des buses », mais en réalité, ils proviennent d'une négligence : la buse n'est pas considérée comme le composant le plus vulnérable et le plus exigeant de la conception du système, ce qui conduit à l'absence de contraintes inverses sur les équipements associés. Des défauts systémiques tels que l'absence d'un accumulateur de stabilisation de pression dans la pompe, une filtration non graduée, une rigidité insuffisante de la buse et l'absence de régulation indépendante de la température dans les systèmes de refroidissement réduisent progressivement et insidieusement la durée de vie de la buse. L'essence de l'incompatibilité insuffisante dans le fonctionnement collaboratif réside dans le fait de traiter les buses en alliage de tungstène comme des « consommables pouvant être librement appariés », plutôt que de privilégier leurs exigences comme principe fondamental de la configuration de l'ensemble du système. Tout problème lors de l'installation ou de l'utilisation peut instantanément transformer même les buses en alliage de tungstène les plus performantes en ferraille coûteuse. Les utilisateurs qui optimisent la durée de vie de leurs buses appliquent un processus rigoureux d'installation et de mise en service, aussi strict que celui de la fabrication. La plupart des défaillances précoces sont souvent dues à une simple remarque anodine sur le terrain : « On les installe toujours comme ça » ou « Ça ira tant que c'est suffisant ». La durée de vie réelle d'une buse en alliage de tungstène ne dépend jamais de l'usine, mais de la rigueur de l'installation sur site.

8.4 Problèmes courants liés à la maintenance et au dépannage des buses en alliage de tungstène

La maintenance et le dépannage constituent le dernier rempart du cycle de vie des buses en alliage de tungstène, mais aussi leurs maillons les plus faibles, les plus facilement négligés et les plus susceptibles

COPYRIGHT AND LEGAL LIABILITY STATEMENT

de transformer une dégradation maîtrisable en panne catastrophique. Nombre d'utilisateurs investissent des sommes considérables dans des buses haut de gamme pour la première moitié de leur durée de vie, mais durant la seconde moitié, un entretien négligent, un diagnostic hâtif et une hésitation à résoudre les problèmes transforment une buse qui aurait pu fonctionner pendant des dizaines de milliers d'heures en un objet bon pour la casse, ne durant que quelques centaines d'heures.

8.4.1 Problèmes causés par un entretien inadéquat : nettoyage incomplet et négligences lors des inspections

Un nettoyage incomplet et un manque de rigueur dans les inspections constituent les principaux écueils de la maintenance, s'avérant de véritables poisons à long terme. L'exemple le plus typique consiste à simplement souffler la machine à l'air comprimé après son arrêt. Les particules abrasives résiduelles, les sels cristallins et la poudre semi-fondue adhèrent progressivement à la paroi interne, formant une croûte dure qui finit par obstruer le passage ou amorcer la cavitation. Autre erreur fréquente : ne nettoyer que la partie visible du passage et la face d'extrémité, en négligeant les zones profondes de la section d'expansion et l'arrière de la surface d'étanchéité. Il en résulte une accumulation locale de tartre de plus en plus épaisse et une diminution lente et inexplicable du débit. Un manque de rigueur dans les inspections est encore plus fatal : se contenter de vérifier quotidiennement l'aspect sans mesurer le diamètre du passage, effectuer des mesures une seule fois par semaine sans enregistrer les courbes historiques, et omettre le contrôle mensuel complet sous prétexte d'une « production intensive ». Il en résulte un élargissement progressif du passage et l'apparition graduelle de microfissures superficielles. Lorsqu'elles sont enfin détectées, il est trop tard pour les réparer, et la machine entière doit être mise au rebut. Ces problèmes découlent essentiellement d'une conception de la maintenance comme un simple nettoyage de routine plutôt que comme un travail de précision déterminant la durée de vie du matériel. Une maintenance adéquate doit être réalisée selon un processus en boucle fermée, obligatoire, documenté et traçable. Toute mentalité du type « ça ira bien » ou « je le ferai la prochaine fois » sera inévitablement sanctionnée par les conditions de travail.

8.4.2 Problèmes d'usure et de corrosion : Usure anormale et corrosion localisée sévère.

L'usure anormale et la corrosion localisée ne sont souvent pas dues aux matériaux eux-mêmes, mais plutôt aux conséquences combinées d'une maintenance et d'une gestion des conditions d'exploitation inadéquates. L'usure anormale se manifeste généralement par une profonde piqûre en forme de croissant sur un côté du col ou par une rugosité anormale dans une section du segment d'expansion. Les causes principales sont généralement une défaillance du filtre en amont entraînant l'entrée directe de grosses particules, une déviation de l'angle du jet provoquant une usure irrégulière et un refroidissement inégal conduisant à une cavitation localisée. La corrosion localisée est plus insidieuse : des sillons de corrosion annulaires apparaissent près de la surface d'étanchéité, une corrosion par piqûres apparaît sur la face d'extrémité et une dissolution sélective se produit à l'entrée du col. Les causes sont souvent le vieillissement et les fuites de la bague d'étanchéité entraînant la rétention du média, les résidus de fluide de nettoyage provoquant une corrosion galvanique et un séchage insuffisant pendant les arrêts techniques entraînant une corrosion par humidité concentrée. Un autre type d'incident grave est le décollement localisé du revêtement de surface, qui accélère la corrosion du substrat. Une fois que la couche DLC ou

COPYRIGHT AND LEGAL LIABILITY STATEMENT

borurée se détache, la phase liante exposée se dissout sélectivement en quelques jours et la piqûre de corrosion s'étend rapidement jusqu'à la perforation. Ces problèmes apparaissent comme des « dysfonctionnements de buses », mais en réalité, ils témoignent d'une défaillance totale de la maintenance et du contrôle. Seule une approche systémique, considérant l'usure anormale et la corrosion localisée plutôt que de simples « problèmes de buses », permettra d'en prévenir véritablement la récurrence.

8.4.3 Problèmes de diagnostic des pannes : Erreur d'appréciation des causes de débit anormal et de fuite

Un mauvais diagnostic est souvent la cause de problèmes majeurs, même mineurs. Par exemple, après une chute de débit, on soupçonne l'usure et l'élargissement d'une buse alors que la cause réelle est un filtre amont obstrué ou une baisse de débit de la pompe. De même, remplacer immédiatement la buse après avoir constaté une fuite révèle que le véritable problème est un joint vieillissant, ce qui représente un gaspillage. Autre erreur fréquente : traiter les piqûres de cavitation comme une usure normale et se contenter d'un simple polissage de surface. Or, la cause profonde de la cavitation (pulsations de pression, excès de gaz) persiste et la couche réparée se décolle à nouveau au bout de quelques jours. Plus grave encore : diagnostiquer à tort une corrosion sélective de la phase liante comme de simples rayures superficielles, puis continuer à utiliser la buse défectueuse, ce qui finit par entraîner la corrosion et la perforation de toute la buse. En résumé, un mauvais diagnostic repose sur un manque de méthode et d'outils professionnels, et non sur l'expérience, l'intuition ou la simple supposition que « ça a toujours été comme ça ». Un diagnostic correct nécessite une procédure complète : « enregistrement du phénomène → mesure multi-instruments → élimination progressive → vérification métallographique ». Toute étape omise ou supposition erronée peut transformer un problème mineur réparable en un accident majeur rendant la buse inutilisable.

8.4.4 Problèmes de remplacement et de mise à niveau : Remplacement tardif de pièces vulnérables et modèles incompatibles

Le remplacement tardif de pièces vulnérables et l'utilisation de pièces incompatibles figurent parmi les erreurs de maintenance les plus fréquentes et les plus problématiques. Voici quelques exemples typiques : des joints d'étanchéité manifestement usés et fissurés, mais maintenus en service car jugés « encore utilisables », ce qui finit par provoquer des fuites haute pression et détruire la buse et le corps du pistolet ; des manchons de guidage usés, entraînant un défaut de coaxialité excessif, mais non remplacés, ce qui provoque la rupture brutale du col après plusieurs mois d'usure irrégulière. L'utilisation de pièces incompatibles est encore plus grave : l'installation de joints en fluoroélastomère à haute température provoque une carbonisation instantanée ; l'utilisation de buses industrielles ordinaires comme buses médicales entraîne une libération excessive d'ions ; l'installation forcée d'anciennes buses à changement rapide dans de nouveaux corps de pistolet provoque des blocages et les rend impossibles à démonter. Une autre erreur fréquente consiste à ne remplacer que la buse lors des mises à niveau, sans remplacer les joints et les manchons de guidage correspondants. Des buses neuves de haute précision sont alors associées à des pièces vulnérables, anciennes et de faible précision, ce qui réduit leur durée de vie. Ces problèmes proviennent essentiellement du fait que les buses en alliage de tungstène sont considérées comme des « composants indépendants » plutôt que comme des « composants du système », ce qui

COPYRIGHT AND LEGAL LIABILITY STATEMENT

néglige l'influence déterminante des pièces périphériques vulnérables telles que les bagues d'étanchéité, les manchons de guidage, les baïonnettes à changement rapide et les chemises de refroidissement sur la durée de vie des buses. Le remplacement et la mise à niveau corrects doivent respecter la règle impérative suivante : « tout remplacer lors d'un remplacement, tout mettre à niveau lors d'une mise à niveau ». Lors du remplacement des buses, toutes les pièces en contact, les joints et les pièces de guidage doivent être remplacés simultanément par la dernière version compatible. Il ne faut jamais mettre du vieux vin dans du neuf.

Tout problème de maintenance ou de dépannage n'est pas un « défaut mineur », mais plutôt une « destruction progressive » d'une buse en alliage de tungstène à la durée de vie théorique extrêmement longue, la transformant en un consommable à durée de vie très courte. Les utilisateurs soucieux de la longévité de leurs équipements considèrent depuis longtemps la maintenance comme un processus essentiel, au même titre que la production.



Buses en alliage de tungstène CTIA GROUP LTD

[COPYRIGHT AND LEGAL LIABILITY STATEMENT](#)

Copyright© 2024 CTIA All Rights Reserved

标准文件版本号 CTIAQCD-MA-E/P 2024 版

www.ctia.com.cn

电话/TEL: 0086 592 512 9696

CTIAQCD-MA-E/P 2018-2024V

sales@chinatungsten.com

CTIA GROUP LTD

High-Density Tungsten Alloy Customization Service

CTIA GROUP LTD, a customization expert in high-density tungsten alloy design and production with 30 years of experience.

Core advantages: 30 years of experience: deeply familiar with tungsten alloy production, mature technology.

Precision customization: support high density (17-19 g/cm³), special performance, complex structure, super large and very small parts design and production.

Quality cost: optimized design, optimal mold and processing mode, excellent cost performance.

Advanced capabilities: advanced production equipment, RMI, ISO 9001 certification.

100,000+ customers

Widely involved, covering aerospace, military industry, medical equipment, energy industry, sports and entertainment and other fields.

Service commitment

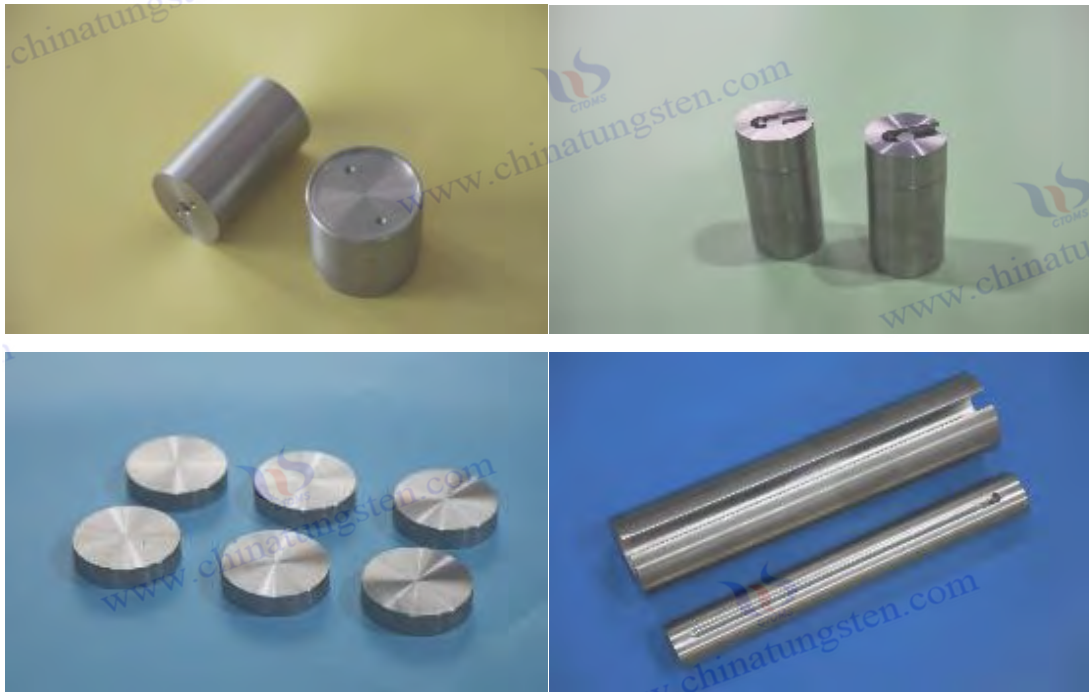
1 billion+ visits to the official website, 1 million+ web pages, 100,000+ customers, 0 complaints in 30 years!

Contact us

Email: sales@chinatungsten.com

Tel: +86 592 5129696

Official website: www.tungsten-alloy.com



COPYRIGHT AND LEGAL LIABILITY STATEMENT

Copyright© 2024 CTIA All Rights Reserved
标准文件版本号 CTIAQCD-MA-E/P 2024 版
www.ctia.com.cn

电话/TEL: 0086 592 512 9696
CTIAQCD-MA-E/P 2018-2024V
sales@chinatungsten.com

Annexe A : Norme chinoise relative aux buses en alliage de tungstène

Le système de normalisation chinois pour [les buses en alliage de tungstène](#) constitue un cadre complet, reposant principalement sur les normes nationales (série GB/T) et complété par des normes industrielles (séries HG/T, JB/T et YY/T). Il couvre l'ensemble de la chaîne, de la composition des matériaux aux procédés de fabrication, en passant par les exigences de performance, les méthodes d'essai, le contrôle qualité et la conformité environnementale. Ces normes ont été élaborées conjointement par l'Administration d'État pour la réglementation du marché (SAMR) et les associations industrielles concernées, afin de garantir une utilisation sûre et efficace des buses en alliage de tungstène dans des domaines tels que la projection thermique, la découpe au jet d'eau, le rechargement laser et le nettoyage industriel.

La norme GB/T 3458-2016, « Alliages haute densité à base de tungstène », est une norme fondamentale qui spécifie la composition chimique, l'uniformité de la densité, les propriétés mécaniques et les exigences de microstructure des alliages de tungstène utilisés dans les buses. Elle s'applique à la sélection des matériaux pour les buses utilisées en projection thermique et en nettoyage haute pression. La norme GB/T 4185-2017, « Poudre de tungstène pour alliages durs », étend les spécifications à la poudre de tungstène spécifiquement destinée aux buses, en insistant sur la pureté et le contrôle de la granulométrie lors du processus de réduction afin de garantir la densité du col de la buse. Bien que la norme HG/T 2077-2017, « Conditions techniques pour les plombs de pêche en alliage de tungstène », soit destinée à un usage civil, ses clauses relatives à la résistance à la corrosion et au traitement de surface ont été adoptées pour les normes industrielles relatives aux buses. Les normes sectorielles telles que la JB/T 12778-2017, « Conditions techniques des billes en alliage haute densité résistantes à l'usure », s'appliquent à la vérification de la résistance à l'usure des buses, tandis que la YY/T 1636-2019, « Exigences techniques relatives aux collimateurs en alliage de tungstène à usage médical », spécifie la biocompatibilité et les performances de radioprotection des buses de qualité médicale. En matière de protection de l'environnement, la GB/T 33357-2016, « Détermination de la migration des métaux lourds dans les produits en alliage de tungstène », garantit l'absence de risque de pollution pour les buses utilisées dans le nettoyage des industries agroalimentaires et pharmaceutiques.

Ces normes mettent l'accent sur la traçabilité complète et la certification par un organisme tiers. Les fabricants doivent réussir les audits du système qualité ISO 9001, et les buses doivent être accompagnées de rapports de lot et de courbes de performance à leur sortie d'usine. La rigueur et le caractère novateur du système de normes chinois confèrent aux buses en alliage de tungstène un avantage concurrentiel significatif à l'exportation vers les marchés européens et américains.

Annexe B Normes internationales pour les buses en alliage de tungstène

Les normes internationales relatives aux buses en alliage de tungstène sont définies par ASTM International et l'ISO, qui se concentrent sur les spécifications des matériaux, les méthodes d'essai et les lignes directrices d'application afin de constituer un cadre de référence unifié à l'échelle mondiale, garantissant l'interopérabilité et la fiabilité des buses dans les processus transfrontaliers tels que la projection thermique, le jet d'eau et le traitement laser.

[COPYRIGHT AND LEGAL LIABILITY STATEMENT](#)

Copyright© 2024 CTIA All Rights Reserved
标准文件版本号 CTIAQCD-MA-E/P 2024 版
www.ctia.com.cn

电话/TEL: 0086 592 512 9696
CTIAQCD-MA-E/P 2018-2024V
sales@chinatungsten.com

La norme ASTM B777-20, « Spécification standard pour les alliages de tungstène haute densité », est une norme fondamentale qui détaille la composition, la densité, la résistance à la traction, la dureté et les performances à haute température des alliages de tungstène utilisés dans les buses. Elle s'applique aux buses de pulvérisation et de découpe industrielles. La norme ASTM F3049-14, « Spécification pour les procédés de fabrication additive des alliages de tungstène », s'étend aux buses imprimées en 3D et met l'accent sur la pureté de la poudre et la densité de frittage. La norme ISO 9001:2015, « Systèmes de management de la qualité », sert de cadre général pour garantir la maîtrise de l'ensemble du processus de fabrication des buses. La norme ISO 13485:2016, « Systèmes de management de la qualité pour les dispositifs médicaux », s'applique aux buses de nettoyage médical et d'atomisation de médicaments et souligne les exigences de biocompatibilité et de propreté. La norme ISO 683-17, « Spécification pour les roulements et les composants d'outils en alliage haute densité », est adaptée à la vérification de la résistance à l'usure des buses.

Ces normes, élaborées par l'Organisation internationale de normalisation (ISO) et l'American Society for Testing and Materials (ASTM), privilégiennent la certification par un organisme tiers (comme UL et TÜV) et sont conformes aux réglementations environnementales RoHS et REACH afin de garantir la conformité des buses dans la chaîne d'approvisionnement mondiale. Le caractère novateur de ces normes internationales a favorisé l'utilisation standardisée des buses en alliage de tungstène dans des procédés émergents tels que le rechargement laser et la projection à froid.

Annexe C : Normes relatives aux buses en alliage de tungstène en Europe, en Amérique, au Japon, en Corée du Sud et dans d'autres pays

Les normes relatives aux buses en alliage de tungstène dans des pays comme l'Europe, les États-Unis, le Japon et la Corée du Sud mettent l'accent sur la sécurité, la protection de l'environnement et une fiabilité élevée, et intègrent des réglementations régionales pour former un système diversifié basé sur le marquage CE de l'UE, les spécifications ASME américaines, les normes JIS japonaises et les normes KS sud-coréennes.

En Europe, le CEN/CENELEC fait office de référence. La norme EN 10025-6, « Spécifications relatives aux aciers de construction en alliage de tungstène », a été étendue aux matériaux des buses, en mettant l'accent sur la résistance aux hautes températures et à la corrosion. La norme EN ISO 15614-1, « Spécifications relatives aux modes opératoires de soudage », couvre les exigences de brasage et d'assemblage des buses. La norme EN 13445, conformément à la directive sur les équipements sous pression (DESP) 2014/68/UE, spécifie les essais de pression des buses dans les appareils à haute pression. Le marquage CE garantit la sécurité et la conformité des buses utilisées dans les équipements de projection thermique et de découpe au jet d'eau.

Aux États-Unis, la norme ASME est la norme principale. La section IX du BPVC de l'ASME, « Spécifications de soudage des alliages de tungstène », traite de l'intégrité des buses ; la norme ASME B31.3, « Spécifications de tuyauterie de procédé », aborde les exigences de résistance à la corrosion des buses lors du nettoyage chimique ; et la norme SAE AMS 7816, « Matériaux aérospatiaux en alliages de tungstène », s'applique aux buses de qualité aérospatiale et met l'accent sur la stabilité à haute température.

COPYRIGHT AND LEGAL LIABILITY STATEMENT

La norme japonaise JIS Z 2241 « Méthodes d'essai des matériaux métalliques » a été étendue pour inclure la vérification de la dureté et de la fatigue des buses ; la norme JIS B 8363 « Spécification des systèmes pneumatiques » normalise la constance du débit des buses dans la pulvérisation industrielle ; et les directives de la Japan Welding Society (JWES) mettent l'accent sur la précision des buses dans le traitement laser.

La norme coréenne KS D 3562, « Spécifications d'outillage pour l'industrie des alliages de tungstène », définit les exigences de résistance à l'usure des buses et est conforme au code de sécurité gaz KGS afin de garantir leur fiabilité dans le cadre du nettoyage énergétique. L'Institut coréen d'essais et de certification (KTC) certifie la conformité des buses aux normes internationales telles que l'ISO.

Ces normes régionales sont largement reconnues mutuellement avec les normes mondiales, mettent l'accent sur la traçabilité et la protection de l'environnement, et promeuvent l'application normalisée des buses en alliage de tungstène dans le commerce international.

Annexe D Tableau de terminologie pour les buses en alliage de tungstène

Terminologie chinoise	Explication
buse en alliage de tungstène	Composants de jet d'encre de précision à très haute densité, résistants à l'usure et aux hautes températures, fabriqués avec du tungstène comme structure principale et du Ni, du Fe, du Cu, du Co et d'autres phases de liant.
Alliages à haute densité à base de tungstène	teneur en tungstène de $\geq 90\%$, les qualités typiques sont 93W, 95W et 97W.
Buse Laval	Il est doté d'une structure de canal à flux supersonique avec une section de contraction, un col et une section d'expansion, utilisée pour la projection thermique et le jet d'eau.
larynx/ larynx	Le point le plus étroit du canal d'écoulement de la buse détermine directement la vitesse et le débit du jet.
phase de liant	Des phases à bas point de fusion telles que Ni, Fe, Cu et Co sont utilisées pour lier les particules de tungstène et leur conférer de la ténacité.
Pressage isostatique à froid	Le procédé de moulage uniforme à haute pression garantit une densité apparente constante.
frittage en phase liquide	Lors du frittage, la phase liante fond et mouille les particules de tungstène, permettant d'atteindre une densification proche de la valeur théorique.
Densité théorique	Les alliages de tungstène, calculés en fonction de leur composition, sont généralement $\geq 17,0 \text{ g/cm}^3$.
Traitement de boruration	La boruration de surface forme une couche de borure de tungstène ultra-dure, améliorant considérablement la résistance à l'usure.
revêtement DLC	Le revêtement en carbone de type diamant améliore encore la dureté de la surface et réduit la friction.
cavitation	Lésions par desquamation de la gorge causées par l'effondrement d'une bulle dans un jet à haute pression

COPYRIGHT AND LEGAL LIABILITY STATEMENT

angle de divergence du jet	L'angle du cône qui s'élargit progressivement après la sortie du jet de la buse détermine la zone de couverture et la focalisation.
Buse d'alimentation coaxiale en poudre	Rechargement laser / impression 3D : la poudre passe coaxialement avec le laser à travers la buse.
baïonnette à changement rapide	Système de verrouillage permettant le remplacement de la buse en quelques secondes
contre-pression	La pression réelle à l'entrée de la buse influe directement sur la vitesse du jet.
Coefficient de débit	Le rapport entre le débit réel et le débit théorique caractérise l'efficacité du canal d'écoulement de la buse.
Mur intérieur de qualité miroir	La rugosité de la paroi interne $Ra \leq 0,05 \mu\text{m}$ réduit considérablement l'adhérence et la cavitation.



Buses en alliage de tungstène CTIA GROUP LTD

1

COPYRIGHT AND LEGAL LIABILITY STATEMENT

Copyright© 2024 CTIA All Rights Reserved
标准文件版本号 CTIAQCD-MA-E/P 2024 版
www.ctia.com.cn

电话/TEL: 0086 592 512 9696
CTIAQCD-MA-E/P 2018-2024V
sales@chinatungsten.com

Références

Références chinoises

- [1] Zhang Lide, Mu Jimei . Nanomatériaux et nanostructures [M]. Pékin : Science Press, 2001.
- [2] Pan Fusheng , Zhang Dingfei. Tungstène et alliages de tungstène [M]. Pékin : Metallurgical Industry Press, 2018.
- [3] Yong Deguo, Boyun Huang. Progrès de la recherche sur les alliages à haute densité à base de tungstène [J]. Rare Metals Materials and Engineering, 2008, 37(9): 1505-1511.
- [4] Fan Jinglian , Liu Tao, Cheng Huaichun. État de la recherche et perspectives des alliages de tungstène ultrafins/nano [J]. Rare Metals Materials and Engineering, 2015, 44(6): 1511-1517.
- [5] Qu Xuanhui , Qin Mingli. Technologie de préparation d'alliages de tungstène à haute densité [M]. Pékin : Metallurgical Industry Press, 2013.
- [6] GB/T 3458-2016 Alliages à base de tungstène à haute densité [S]. Pékin : China Standards Press, 2016.
- [7] GB/T 4185-2017 Poudre de tungstène pour carbure cémenté [S]. Pékin : China Standards Press, 2017.
- [8] Luo Xiyu, Yang Guang. Analyse des défaillances et prédition de la durée de vie des buses en alliage de tungstène pour la projection de flamme supersonique [J]. Surface Technology, 2020, 49(8) : 112-119.
- [9] Wang Fazhan, Wang Cailiang. Progrès de la recherche sur l'application des alliages de tungstène dans les buses à jet d'eau haute pression [J]. Industrie chinoise du tungstène, 2022, 37(4) : 56-62.
- [10] Li Yimin, Yin Fucheng. État actuel et tendance de développement de la technologie d'usinage de précision pour les buses en alliage de tungstène [J]. Technologie de la métallurgie des poudres, 2023, 41(2) : 98-105.

Références en anglais

- [1] German R M. Théorie et pratique du frittage[M]. New York : Wiley- Interscience , 1996.
- [2] Upadhyaya G S. Carbures de tungstène cémentés : production, propriétés et essais[M]. William Andrew Publishing, 1998.
- [3] Bose A, German R M. Traitement à haute densité des alliages lourds de tungstène[J]. Powder Metallurgy International, 1990, 22(4): 18-22.
- [4] ASTM B777-20 Spécification standard pour les métaux à base de tungstène à haute densité[S]. West Conshohocken : ASTM International, 2020.
- [5] Lassner E, Schubert W D. Tungstène : Propriétés, chimie, technologie de l'élément, alliages et composés chimiques[M]. New York : Springer, 1999.
- [6] Yih SWH, Wang C T. Tungstène : Sources, métallurgie, propriétés et applications[M]. Boston : Springer, 1979.
- [7] Srikanth V, Laik A, Dey G K. Alliages lourds de tungstène : un examen du traitement, des propriétés et des applications[J]. Transactions of the Indian Institute of Metals, 2021, 74(6): 1375-1395.
- [8] Chen W, Wang YM, Yu L. Microstructure et propriétés mécaniques des alliages lourds de tungstène ultra-fins[J]. Materials Science and Engineering A, 2020, 789: 139-148.
- [9] ISO 13485:2016 Dispositifs médicaux — Systèmes de management de la qualité — Exigences à des fins réglementaires[S]. Genève : Organisation internationale de normalisation, 2016.

COPYRIGHT AND LEGAL LIABILITY STATEMENT